NOVA TÉCNICA DE CONVERSÃO ANALÓGICA-

DIGITAL NÃO-LINEAR

OSÉAS VALENTE DE AVILEZ FILHO

Compileranos o texte como complete. e aprovado

alltofo

Oséas Valente de Avilez Filho Engenheiro Eletricista, Modalidade Eletrônica - UnB-Brasília 1974 Mestre em Engenharia Elétrica - FEC/UNICAMP - Campinas 1978

NOVA TÉCNICA DE CONVERSÃO ANALÓGICA-DIGITAL NÃO-LINEAR

Tese apresentada à Faculdade de Engenharia de Campinas como requisito parcial para a obtenção do título de Doutor em Engenharia Elétrica.

Orientador: Prof. Dr. Alberto Martins Jorge

UNIVERSIDADE ESTADUAL DE CAMPINAS
FACULDADE DE ENGENHARIA DE CAMPINAS
DEPARTAMENTO DE ENGENHARIA ELETRICA
SETOR DE ELETRÔNICA E MICROELETRÔNICA
LABORATÓRIO DE ELETRÔNICA E DISPOSITIVOS-LED
JULHO DE 1986

UNICAMP BIBLIOTECA CENTRAL Aos funcionários e pesquisadores do LED;

a outros que, com seu trabalho ou sua amizade, possibilitaram a realização desta tese;

aos amigos que participam da luta cotidiana por uma universida de melhor, mais produtiva, e democrática;

e em especial às pessoas:

Martins, Kretly, José Antonio, Horta, Corinna, Reis, Elnatan, Wilmar, Marilda, Peter, Braga, Mário, Mariano, Mammana, Irene, Paulina.

nossos mais sinceros votos de gratidão e reconhecimento.

.Este trabalho contou com apoio financeiro das seguintes institu<u>i</u> ções:

finep Telebrás

RESUMO

Neste trabalho apresentamos uma nova técnica de conversão A/D não linear, aplicável a conversores do tipo dupla ram pa. O trabalho envolve a generalização da técnica, um estudo particular para linearização de funções polinomiais e o projeto e construção de um conversor. Os resultados obtidos indicam grandes possibilidades de aplicação do conversor desenvolvido na confecção de equipamentos de medida e apontam para a viabilidade de se incorporar as técnicas utilizadas em circuitos integrados com tecnologia MOS.

ABSTRACT

A new technique for obtaining nonlinear A/D conversion with convencional dual-slope converter is presented. The work includes the generalization of the conversion method, a particular study for linearization of polinomyal functions, and the realization of a practical converter.

The results showed that the new converter can be largely used in measurement equipment, and the technique can be applied in the design of MOS monolithic A/D converters.

. INDICE

Introdução

- Capitulo I Conversor A/D Dupla Rampa
 - 1.1 Princípios de Funcionamento
 - 1.2 Características Principais e Limitações
- Capítulo II Nova Técnica de Conversão A/D Não-Linear
 - 2.1 Princípio de Funcionamento
 - 2.2 Extensão da Conversão Dupla-Rampa a Conversores Não-Lineares
 - 2.3 Requisitos de $V_{\mathrm{E}}(\mathrm{X})$ e Interpretação Gráfica
 - 2.4 Generalização Conversão $f(X) \rightarrow g(X)$
 - 2.5 Geração da Referência Variante
- Capítulo III Aplicação a Funções Polinomiais
 - 3.1 Linearização de Funções Polinomiais
 - 3.2 Geração de $V_R(t)$ com Integradores Chaveados
 - 3.3 Análise de Erros
- Capítulo IV Projeto e Construção de um Conversor Não-Linear
 - 4.1 Parâmetros Iniciais e Escolha da Função a Linearizar
 - 4.2 O Conversor Dupla-Rampa
 - 4.3 Circuitos do Conversor Não-Linear
 - 4.4 Medidas e Avaliação
- Capitulo V Conclusão
- Apêndice A Referência Bibliográfica
- Apêndice B Dados do Conversor ICL 7107

Introdução

Com a crescente utilização de equipamentos eletrôni cos para racionalizar ou ampliar as possibilidades de atividade humana, em quase todas as suas áreas, cresce também o interesse em desenvolver os mecanismos de "tradução", para a eletrônica, de informações a serem transmitidas ou processadas. Assim, dispomos hoje de um conjunto enorme de transdutores, que transformam a informação presente em sistemas físicos ou biológicos em sinais elétricos para processamento em sistemas eletrô nicos. Desta forma, informações da mais variada natureza, como temperatura, pressão, intensidade luminosa, nível, velocidade, som, concentração química, radiatividade, etc., podem ser utili zadas por sistemas eletrônicos que visam desde sua transmissão até sua utilização em sofisticados sistemas de controle. Convem ressaltar que, na maioria dos casos, a informação proveniente destes transdutores se apresenta na forma de sianis elétricos analógicos, ou seja, assumem valores em intervalos contínuos dos números reais.

Com o desenvolvimento recente da Eletrônica, através da Microeletrônica, vem se mostrando cada vez mais conveniente o processamento digital da informação, pelas facilidades que oferece do ponto de vista de armazenamento, confiabilidade e custo, como também das possibilidades de aplicação de novas téc nicas de tratamento de sinais. Nos processadores digitais mo dernos, embora a informação continue sendo de matureza elétrica, as grandezas são representadas através de um código numérico, em geral com dois símbolos (0 e 1), e passam a assumir valo res em intervalos dos números inteiros. É a informação digitalizada, que fez surgir um tipo novo (e amplamente pesquisado) de circuito eletrônico: o conversor analógico digital.

O nosso trabalho situa-se no campo dos conversores analógicos-digitais (A/D), e sua aplicação pode ser compreendida. Ocorre que boa parte dos sinais elétricos provenientes de transdutores elétricos guardam relações não-lineares com as grandezas que representam, ou seja, os gráficos que primem estas relações nem sempre são segmentos de retas. Assim, um sinal elétrico proveniente de um sensor (de temperatura, por exemplo) raramente se relaciona linearmente com a grandeza Daí surgirem métodos de linearização elétricos, que utilizam princípios os mais diversos. Uma técni ca clássica de linearizador é a que se utiliza de componentes não lineares (como diodos ou transistores) em circuitos que "com pensam" a não-linearidade do sinal, seguidos de conversores A/D quando se deseja digitalizar a informação. Outras técnicas baseiam na linearização de sinais já na forma digital, vão desde a simples consulta de tabelas armazenadas em memórias até a implementação de algorítmos numéricos, em processadores ligentes.

Uma forma um pouco menos explorada, talvez por falta de técnicas de uso geral, consiste em projetar conversores A/D cuja relação de conversão possui, intrinsecamente, as não-line aridades desejadas. Tal é o caso dos conversores utilizados para "compressão" de sinais em sistemas de comunicação.

O trabalho que descreveremos aqui constitui uma proposta de generalização da técnica de conversão analógica-digital dupla-rampa. Na técnica de conversão descrita, a relação entre o sinal analógico de entrada e o sinal digital de saída, podendo ser não-linear, permite que as operações de linearização e digitalização possam ser realizadas numa única etapa. Como ve femos também, o conversor desenvolvido permite outros tipos de aplicação, cuja exploração mais detalhada transcende os limites deste trabalho. Além da análise teórica da técnica desen volvida, construimos um equipamento nela baseado, e investiga mos aspectos da integrabilidade do circuito utilizado. Do pon to de vista de sua inserção no amplo espectro da Eletrônica por tanto, este trabalho poderia ser classificado como na interface

entre a Instrumentação Eletrônica e a Microeletrônica, que ten dem cada vez mais a se interpenetrar, pelo desenvolvimento ace lerado de novas tecnologias de integração de circuitos e sistemas.

CAPITULO I

CONVERSOR A/D DUPLA-RAMPA

Introdução

Inúmeras são as técnicas de conversão analógico-digital utilizadas atualmente, cada uma delas apresentando características que as tornam mais ou menos adequadas a um dado tipo de aplicação |1|.

De um modo geral, podemos dizer que um compromisso básico se estabelece entre a resolução (número de bits) e o tempo de conversão (velocidade). Assim, conversores destinados a medidas com alta resolução, são em geral mais lentos do que seus equivalentes com menor número de "bits". Este é o caso dos conversores baseados em carga e descarga de capacitores, como o conversor du pla-rampa e seus derivados (rampa tripla, quádrupla, etc) |1|. Amplamente utilizados em instrumentação eletrônica de precisão, estes conversores, apesar de realizarem um pequeno número de conversões por segundo, permitem, por outro lado, alta precisão e alta resolução na conversão de sinais de muito baixa frequência.

Utilizado como base do conversor analógico-digital não linear desenvolvido e, apesar de amplamente conhecido |1|, o conversor dupla-rampa será descrito sucintamente neste primeiro capítulo, tanto para melhor entendimento do trabalho, como para esta belecer a notação adequada.

1.1 Princípio de Funcionamento

O conversor dupla-rampa realiza a conversão analógico-f-digital de uma tensão (V_E) aplicada a sua entrada, através da comparação deste sinal com uma tensão de referência (V_R) que, co mo padrão interno, é responsável pelo grau de acuidade da medida. Neste tipo de conversor, como teremos oportunidade de ver com maio res detalhes, realiza-se uma medida indireta da tensão de entrada através da relação de intervalos de carga e descarga de um capacitor.

A figura 1.1 ilustra o funcionamento do conversor du pla-rampa a nível de blocos, e servirá para descrever um ciclo completo de conversão, que normalmente é repetido entre duas a cem vezes por segundo.

Para efeito da análise que se segue, os valores da tensão de entrada $V_{\rm E}$, bem como da tensão de referência $V_{\rm R}$, são admitidos invariáveis durante o intervalo de conversão.

A unidade lógica mostrada na figura 1.1 é composta ba sicamente de um contador lógico e de circuitos digitais para con trole da chave CHl, além de decodificadores para apresentarem, através do "display", o resultado da conversão. Com ajuda do dia grama de tempo, mostrado na figura 1.2, podemos entender com fa cilidade o funcionamento do conversor.

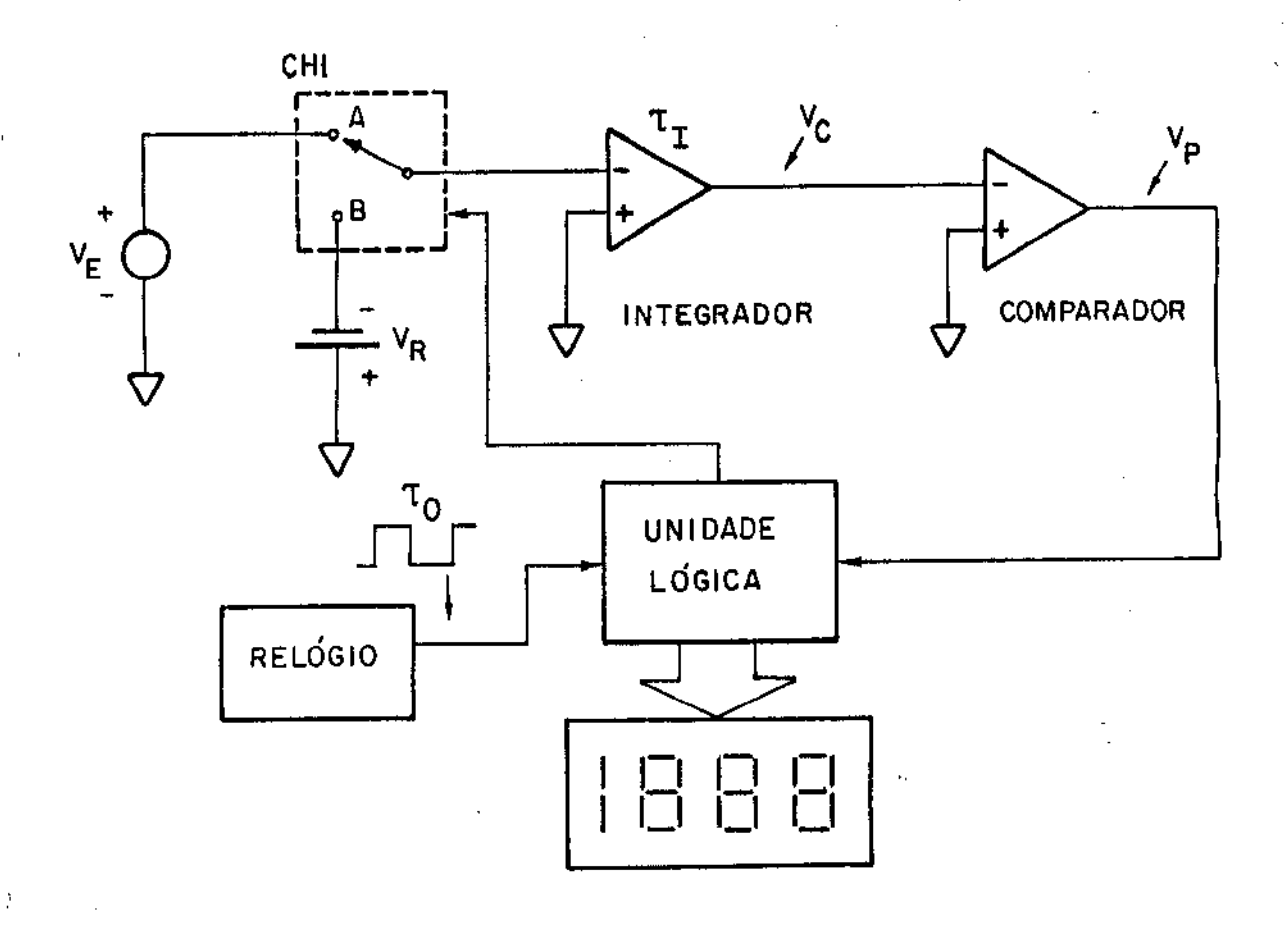
O ciclo de conversão mostrado na figura 1.2 repete-se periodicamente, e inicia-se com o conteúdo do contador igual a zero. Por conveniência, o instante t=0 foi escolhido no meio do ciclo, quando o sinal aplicado à entrada do integrador muda de $V_{\rm E}$ para $V_{\rm R}$, e quando o conteúdo do contador cíclico, depois de N períodos do relógio, volta a ser zero.

Tomemos uma tensão de entrada V_E positiva, ligada no instante $t=-t_E$ à entrada do integrador, cuja saída V_C $(-t_E)=0$. No intervalo de tempo $[-t_E,\ 0]$ teremos:

$$V_{C}(t) = -\frac{1}{\tau_{I}} \int_{-t_{E}}^{t} V_{E} d\tau = \frac{-V_{E} \cdot \tau}{\tau_{I}} \Big|_{-t_{E}}^{t}$$
 (1.1)

onde assumimos um integrador inversor com constante de tempo $\tau_{\rm I}$, normalmente obtida de um produto resistência x capacitância (RC). A equação 1.1 descreve portanto a rampa mostrada na figura 1.2 no intervalo entre t=-t_E e t = 0. Teremos, portanto, no instante t = 0, uma carga armazenada no integrador, de modo que sua tensão de saída $V_{\rm C}$ será igual a:

$$V_{C}(0) = \frac{-V_{E} \cdot t_{E}}{\tau_{T}}$$
 (1.2)



4

Figura 1.1 - Diagrama funcional do conversor dupla-rampa.

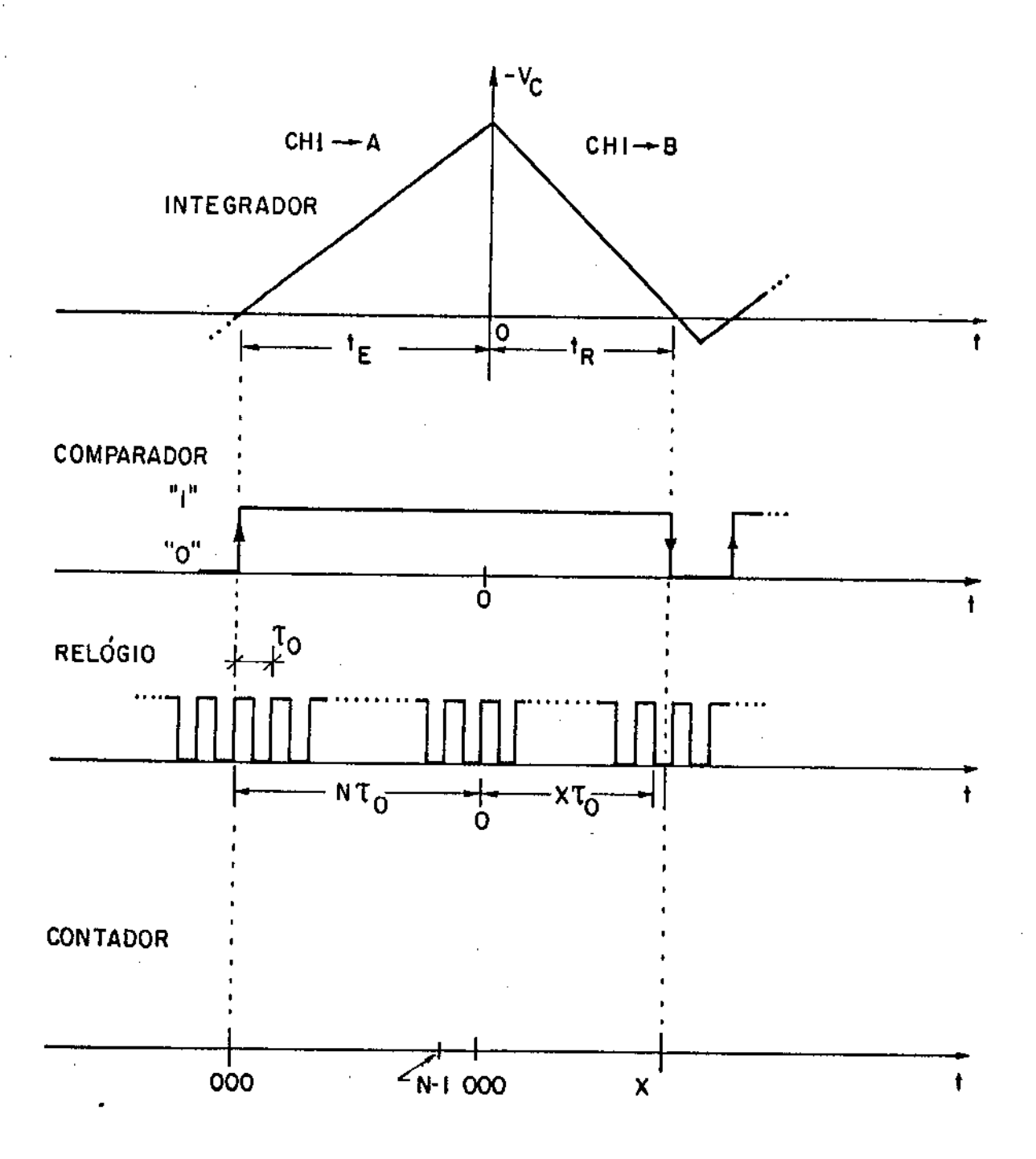


Figura 1.2 - Diagrama de tempos do conversor dupla-rampa.

Como podemos perceber o tempo t_E , durante o qual o sinal de entrada V_E faz com que a saída do integrador varie linear mente de V_C = 0 até o valor $V_C(0)$, dado por (1.2), é fixado previamente, e corresponde a um número inteiro (N) de períodos do relógio utilizado como base de tempo, de modo que t_E = N. τ_0 . Nor malmente, e como faremos neste exemplo, o número N corresponde ao valor máximo de contagens do contador cíclico, que será tam bém o maior resultado possível de uma conversão, ou ainda, o fun do de escala do conversor.

A partir do instante t = 0 (fig. 1.2), a chave CHl passa para a posição B (fig. 1.1), e a tensão de referência é ligada à entrada do integrador. Como esta tensão V_R possui polarida de oposta a do sinal V_E , a saída do integrador variará no sentido oposto, também linearmente, até cruzar o zero no instante t = t_R , como vemos no gráfico de V_C . No intervalo $\left[0, t_R\right]$, por tanto:

$$V_C(t) = V_C(0) - \frac{1}{\tau_I} \int_0^t V_R d\tau$$
 (1.3)

Logo, como $\mathbf{V}_{\mathbf{R}}$ é constante, teremos:

$$V_C(t) = V_C(0) - \frac{V_R \cdot t}{\tau_T} = -\frac{V_E \cdot t_E}{\tau_T} - \frac{V_R \cdot t}{\tau_T}$$
 (1.4)

No instante t = t_R , quando a saída do integrador estiver cruzando o zero, ou seja, $V_C(t_R) = 0$, teremos o conteúdo do contador igual a um valor X, onde $t_R = X.\tau_0$. Neste momento, a partir da equação (1.4),

$$-\frac{\mathbf{v_E \cdot t_E}}{\tau_{\mathbf{I}}} - \frac{\mathbf{v_R \cdot t_R}}{\tau_{\mathbf{I}}} = 0 ,$$

o que implica:

$$t_{R} = \left(-\frac{t_{E}}{v_{R}}\right) \cdot v_{E} \tag{1.5}$$

De (1.5), como t_E e V_R são constantes, podemos ver que o intervalo de tempo t_R , e portanto o conteúdo do contador (X), são proporcionais à tensão de entrada V_E . Substituíndo em (1.5) os tempos t_E e t_R por seus equivalentes $N\tau_0$ e $X\tau_0$, respectivamente, ficamos com a seguinte equação de projeto:

$$X = -\frac{N}{V_R} \cdot V_E \tag{1.6}$$

Na relação acima, o valor X que representa a medida de V_E mostrada através do "display", independe tanto da constante de tempo τ_I do integrador, como também do período τ_0 do relógio, desde que constantes durante o período de conversão |1|.

Como exemplo , suponhamos um conversor de 3 1/2 dígitos, ou seja, que utiliza um contador com ciclo de 2000 contagens, e cujo "display" indicará no máximo o valor 1999. Neste caso teremos N = 2000, e se utilizarmos uma tensão de referência $V_R = -2,000$ Volts, a partir de (1.6) o resultado da conversão será dado por:

$$X = \frac{2.000}{2.000}$$
 . $V_E = 1000 V_E$; V_E (Volts) (1.7)

Assim, para uma tensão de entrada de 1,257V, por exemplo, a leitura será X=1257. Se posicionarmos o ponto decimal do "display" entre os dois dígitos mais significativos, leremos diretamente o valor de $V_{\rm E}$ em Volts.

Escalamento

No exemplo acima, como expressamos V_R em Volts, obtive mos X = 1000 V_E como resultado da conversão. Se V_R fosse expresso em milivolts, teríamos uma leitura direta de V_E , ou seja, $X = V_E$ (mV), sem necessidade de utilizarmos o ponto decimal. Es

ta mudança de escala, pela simples mudança do ponto decimal, pode ser realizada não só tendo como fator uma potência de dez, mas qualquer outro valor. Isto pode ser visto através da equação (1.6), que mostra que pela escolha da relação $\rm N/V_R$ podemos mudaro ganho do conversor.

Reescrevendo a relação mostrada em (1.6) podemos dar uma outra interpretação à conversão analógica-digital:

$$V_{E} = -\frac{V_{R}}{N} \cdot X , \qquad (1.8)$$

onde X é o resultado da medida indicada no mostrador e V_E , o sinal de entrada, é expresso como uma função linear de X. Desta forma, o conversor dupla-rampa converte $V_E(X) = KX$ em X, onde K é a constante dada por - V_R/N . Esta abordagem mostra que, se um sinal elétrico se relaciona a algum parâmetro X, através de uma relação de proporcionalidade é possível ajustar o ganho do conversor de modo a obter uma leitura direta de X. No segundo capítulo deste trabalho mostraremos como realizar esta mesma tarefa em casos onde a relação entre V_E e X não é linear, daí a interpretação, desde logo, do sinal de entrada V_E como função de X.

1.2 Características Principais e Limitações

Para efeito introdutório, como mencionamos anteriormente, analisaremos alguns aspectos do conversor dupla-rampa, uma vez que seu funcionamento, características e limitações são de amplo conhecimento |1| - |3|. Assim, ressaltaremos principalmente os pontos importantes para entendimento e avaliação do conversor não-linear desenvolvido.

Imunidade a Variações do Relógio

Conforme ressaltamos no item anterior, e como fica evidente na equação (1.6) $\left[X=-\left(N/V_R\right).V_E\right]$ o valor X, resultado da conversão, independe da freqüência do relógio utilizado, uma vez que o período τ_0 não aparece na expressão obtida. Embora is

to seja, em geral, verdadeiro do ponto de vista prático, cabe ressaltar que variações ocorridas em τ_0 , durante um perído de conversão, podem causar erros na relação entre os tempos t_E e t_R (fig. 1.2) e, portanto, na conversão realizada. Em geral as variações em τ_0 são muito lentas, como as resultantes de mudanças na temperatura ambiente, que não acarretam erros perceptíveis na conversão dupla-rampa |1|.

Constante de Tempo do Integrador

Da mesma forma que o perido 70, a constante de tempo do integrador τ_T não influi diretamente no resultado da são. Dois efeitos, porém, são importantes em relação ao dor utilizado, que envolve em geral um circuito convencional, on de τ_T se origina de um produto R.C. O primeiro efeito, que pode afetar tanto R quanto C, diz respeito a variações com a tensão estes componentes, que alteram a taxa de integração e distorcem o sinal de saída do integrador, levando a contagens erradas. segundo efeito, que envolve apenas o capacitor, é a histerese que pode aparecer no processo de carga e descarga, onde a ção ideal Q = C.V se altera, à semelhança da curva de ção de um indutor. A escolha adequada destes componentes permite reduzir a importância destes efeitos, permanecendo porém causas possíveis de não-linearidade, principalmente em converso res com faixa dinâmica larga, ou alta resolução.

Resolução e Sensibilidade

A resolução de um conversor A/D depende da capacidade de discernir entre níveis próximos do sinal de entrada, sendo limitada por fatores como ruído interno |1| e deriva nos valores dos componentes. Como vimos, o conversor dupla-rampa possui grande imunidade a variações de componentes, além de ser intrinsecamente pouco ruidoso, por envolver um processo de conversão lento, sem chaveamentos de corrente ou outras fontes internas de ruído. Além disso, o processo de carga e descarga implica em medida dos valores médios, quer do sinal de entrada, quer da referência, eliminando com isso grande parte das interferências causadas por sinais em freqüências elevadas, ou mesmo na freqüência da rede |3|.

J.

A capacidade de detetar e medir sinais muito pequenos, que pode ser chamada de sensibilidade do conversor, depende basicamente dos erros no processo integração do sinal de entrada. Destes o principal é a tensão residual (off-set) do amplificador que normalmente realiza o integrador. O desenvolvimento de amplificadores operacionais de alto desempenho, bem como a utilização da poderosa técnica de auto-zero, tem permitido a conversão direta de sinais da ordem de microvolts, em conversores com resolução de uma parte em cem mil ou mais. Estas técnicas de correção de zero e, portanto, de redução da deriva de zero, têm dado origem a variações do conversor dupla-rampa, envolvendo, quase sem pre, modificações no ciclo de conversão |4| - |10|.

· Velocidade de Conversão

Talvez a única desvantagem dos conversores dupla-rampa seja a sua baixa velocidade de conversão, o que circunscreve sua utilização à medida de sinais em corrente contínua, ou que vari em muito lentamente, como sensores térmicos e outros. Esta limitação tem sua causa principal no fato de que cada período de conversão envolve um número mínimo de contagens do relógio. O aumento da frequência do relógio, para obter um maior número de conversões por segundo, impõe requisitos severos também ao comparador ("slew-rate"), que determina o início e o fim do intervalo de medida. Para um grande número de aplicações, como voltímetros e medidores em geral, a baixa velocidade não acarreta maiores problemas, o que faz do conversor dupla-rampa um dos tipos mais difundidos comercialmente.

Outras Caracteristicas

Um dos fatores decisivos para a ampla utilização de conversores do tipo dupla-rampa foi a possibilidade de integração, em um único circuito, de um conversor completo. Isto vem sendo facilitado pelo desenvolvimento de novas tecnologias de fabricação de circuitos integrados, particularmente com transistores MOS, pois facilitam o uso de amplificadores operacionais e chaves analógicas, o que é fundamental para a correção automática de zero, por exemplo 8.

Uma outra possibilidade importante dos conversores du pla-rampa é a de, através de algumas mudanças no ciclo de conver são, realizar o produto de dois sinais de entrada, simultaneamen te à conversão A/D, o que significa uma ampliação de suas áreas de aplicação no processamento de sinais |11|, |12|.

CAPÍTULO II

NOVA TÉCNICA DE CONVERSÃO A/D NÃO-LINEAR

Introdução

Os circuitos não-lineares encontram grande aplicação no processamento de sinais |13|. Utilizando frequentemente características não-lineares entre tensões e correntes em dispositivos eletrônicos, circuitos não-lineares permitem ampliar muito a possibilidade de realizar operações com sinais analógicos. Assim, se através de circuitos lineares podemos somar e subtrair sinais, amplificar, integrar e diferenciar, com o uso de circuitos não-lineares podemos acrescentar operadores como muitiplicadores, divisores, amplificadores logarítmicos, etc. |13|. Apenas para ilustrar, uma técnica muito conhecida é a que utiliza a característica exponencial de uma junção pn para calcular o logarítmo de um sinal. Somando logarítmos obtém-se o logarítmo do produto, e utilizando-se um circuito antilog podemos extrair o produto de dois ou mais sinais elétricos.

A conversão analógico-digital (A/D), como sabemos, se torna cada vez mais importante no processamento de informações, sendo desnecessário citar exemplos. Em várias aplicações, como medidores e controladores, além da conversão A/D, é também ne cessário processar não-linearmente os sinais. As formas mais i mediatas para resolver tais problemas são divididas entre as que realizam o processamento não-linear com o sinal analógico, através de circuitos não-lineares, e as que compreendem uma digitalização prévia, seguida de processamento digital.

Uma terceira forma, que exploramos neste trabalho, con siste em desenvolver conversores A/D não-lineares. Estes tipos de conversores muitas vezes realizam um tipo particular de conversão não-linear, como é o caso do conversor logarítmico des crito por S. Ben-Yaakov e J. Chen em 1978, |14|, que utiliza a curva de descarga de um circuito paralelo RC em um conversor do

J.

tipo tensão x largura de pulso.

.. 1.

Utilizando conversores dupla-rampa como sistema bás \underline{i} co, devido a sua adequação a medidores de precisão, algumas téc nicas têm sido desenvolvidas, duas das quais mencionamos a seguir.

No termômetro digital modelo 2100A (Fluke) |15|, a li nearização de sinais provenientes de termopares utiliza um con versor dupla-rampa de 4 1/2 dígitos, modificado pela introdução de multiplicadores de frequência (rate-multipliers) e de memõ Este medidor realiza uma linearização por partes do si nal do termopar da seguinte forma: o relogio (clock) que ali menta o contador de pulsos do conversor dupla rampa é obtido através de um circuito multiplicador de frequência, que por vez tem seu fator de multiplicação definido por uma palavra gital armazenada em uma memória apenas de leitura (ROM). te a integração do sinal de entrada, a frequência do relógio mu da de valor, definindo os segmentos da interpolação. alimenta também um contador de segmentos que determina o endere ço da memória cujo conteúdo define a frequência do relógio. Des ta forma, a integração do sinal é realizada de forma não-line ar, programada previamente para os tipos de termopares utiliza Embora de preço elevado, este tipo de conversor bom desempenho quando o sinal a ser convertido possui não-linea ridades "suaves", podendo ser linearizado através de de reta, como é o caso da maioria dos termopares.

Um outro exemplo de utilização do princípio de duplarampa para conversão não-linear aparece em um trabalho de C.H.
Burton e outros divulgado em 1975 |11|. Os autores desenvolve
ram métodos em que, utilizando mais de um integrador no conver
sor, modificando ou criando novos estágios de carga e descarga,
ou ainda utilizando várias referências, pode-se multiplicar
dois sinais de entrada e realizar a conversão A/D do produto
ou, o que é de nosso interesse neste trabalho, realizar conver
sores A/D exponenciais, logarítmicos e ainda a extração de raí
zes de uma equação polinomial, o que equivale à conversão não-

linear de funções polinomiais. Temos neste exemplo um caso em que o processamento do sinal é essencialmente analógico, não em volvendo outras partes digitais além do contador do conversor dupla-rampa. As limitações mais importantes do método proposto por Burton estão em que, além de envolver configurações específicas para cada tipo de conversor não-linear, envolvem uma lógica de controle complexa, para chaveamento de integradores e geração das tensões de referência.

Neste capítulo descrevemos um método de conversão nãolinear que, partindo também de um conversor dupla rampa, se
constitui num método geral. Em adição a um conversor qualquer,
o método desenvolvido envolve a geração de sinais elétricos va
riante no tempo, que substituem a referência constante nos con
versores lineares. São analisadas as restrições à utilização
da técnica bem como situadas as principais características do
conversor, principalmente quando comparado aos conversores du
pla-rampa lineares.

2.1. Principio de Funcionamento

No capítulo I vimos que o conversor dupla-rampa realiza a conversão analógico-digital de um sinal de entrada V_E , for necendo como saída um valor X que se relaciona com V_E através da equação (1.6), que repetimos aqui para maior clareza:

$$X = \frac{-N}{V_R} \cdot V_E \tag{2.1}$$

onde:

X = Resultado de conversão;

 $N = \frac{t_E}{\tau_0} = Fundo de escala do contador;$

 τ_0 = Período do relógio utilizado no conversor;

V_D = Tensão de referência;

 $V_{\rm E}$ = Tensão de entrada.

ļ

Rearrumando a equação (2.1) para isolar V_E temos:

$$v_{\rm E} = \frac{-v_{\rm R}}{v_{\rm R}} \cdot x$$

ou ainda:

$$V_{E}(X) = \frac{-V_{R}}{N} \cdot X \tag{2.2}$$

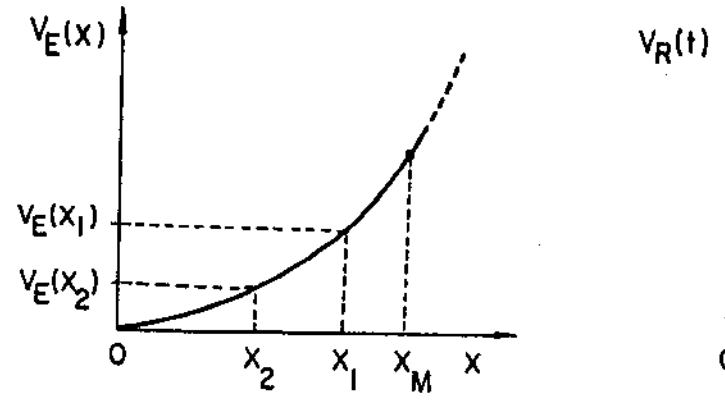
Da expressão acima vemos que o conversor dupla-rampa (linear) realiza a conversão analógico-digital de $V_E^{}(X)$ para X quando $V_E^{}(X)$ é da forma:

$$V_{E}(X) = K.X$$

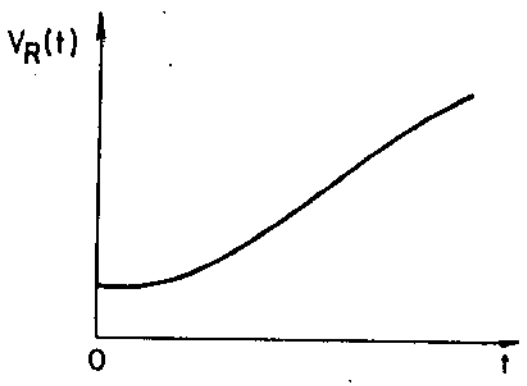
onde K é constante. Temos portanto uma conversão linear.

Suponhamos agora que V_E , a tensão de entrada, se relaciona com o parâmetro X através de uma função $V_E(X)$, e que X toma valores no intervalo $|0,X_M|$. Suporemos ainda que a função $V_E(X)$ é derivâvel no intervalo de interesse, o que mais tarde veremos ser condição necessária para que $V_E(X)$ seja convertida em X através do conversor A/D.

A idéia básica do conversor não-linear desenvolvido é a de que, para $V_E(X)$ derivável no intervalo $[0,X_M]$, é possível converter $V_E(X)$ em X através do uso de uma tensão de referência V_R adequada. Neste caso V_R não será mais constante, mas varia rã no tempo, durante o intervalo de conversão. Assim, a descar ga do integrador mostrada no diagrama de tempo da figura (1.2) deixará de ser uma rampa. A figura (2.1) ilustra qualitativa - mente o funcionamento do novo conversor mostrando, para uma fun ção hipotética $V_E(X)$ não linear, a curva de carga e descarga do integrador para dois valores da tensão de entrada, $V_E(X_1)$ e $V_E(X_2)$, que são convertidos respectivamente em X_1 e X_2 . Aqui também se supõe que a tensão de entrada se mantém inalterada du rante o período de conversão.



Л



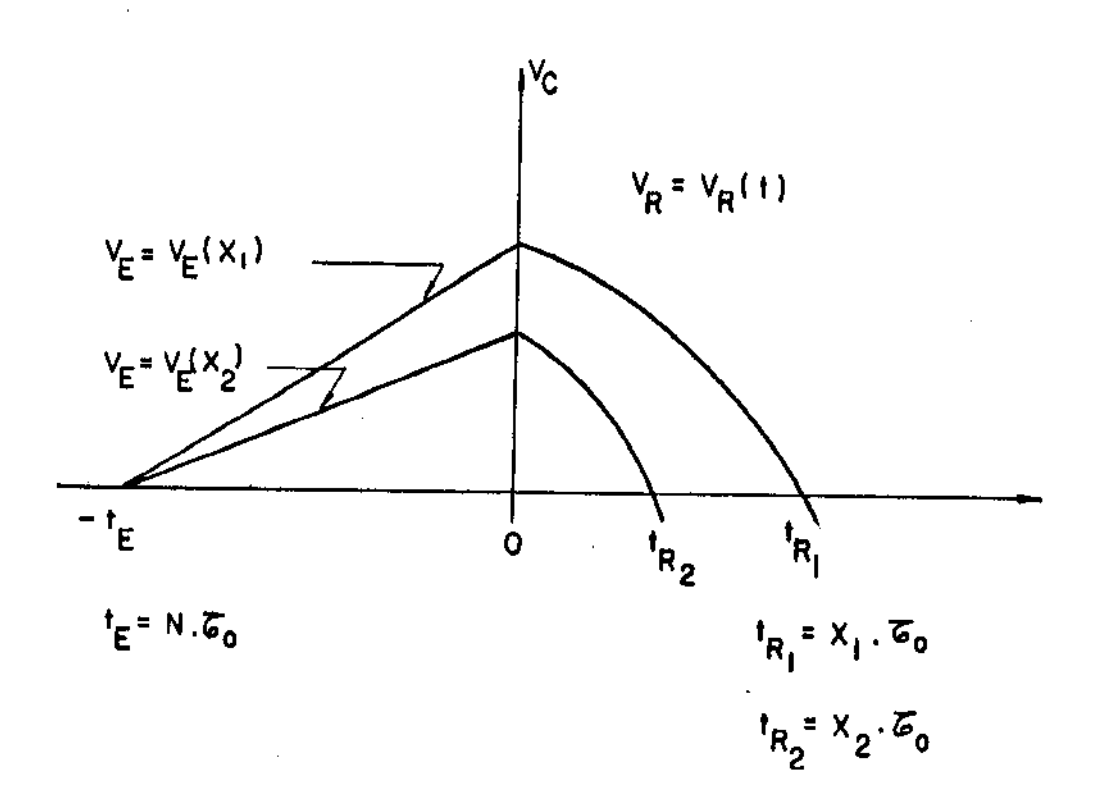


Figura 2.1 - Conversão não-linear de $V_{\mathsf{E}}(\mathsf{X})$ em $\mathsf{X}.$

2.2. Extensão da Conversão Dupla-Rampa a Conversores Não-Lineares

Partindo da idéia geral descrita no îtem anterior $v_{\underline{a}}$ mos agora examinar a possibilidade de gerar uma função $V_{\underline{R}}(t)$ que, utilizada como referência variante no tempo, garanta a exata conversão de $V_{\underline{E}}(X)$ em X para qualquer valor de X no intervalo $[0,X_{\underline{M}}]$. Para simplicidade de notação denominaremos $V_{\underline{RI}}(t)$ a função integral de $V_{\underline{R}}(t)$.

Se repetirmos as duas fases da conversão "dupla-ram pa", utilizando $V_E(X)$ como sinal de entrada e $V_R(t)$ como referência, teremos (ver figuras 1.1 e 2.1).

1. Intervalo - $t_E \leqslant t \leqslant 0$; CHl \rightarrow A, $V_E(X)$ constante.

$$V_{C}(0) = \frac{-1}{RC} \int_{-t_{E}}^{0} V_{E}(x) dt = \frac{-t_{E}}{RC} \cdot V_{E}(x)$$
 (2.3)

$$V_{C}(t) = V_{C}(0) - \frac{1}{RC} \int_{0}^{t} V_{R}(\tau) . d\tau$$

:
$$v_C(t) = v_C(0) - \frac{1}{RC} [v_{RI}(t) - v_{RI}(0)]$$
 (2.4)

Para o instante $t = t_R$, em que $V_C(t) = 0$, teremos:

$$v_{C}(0) - \frac{1}{RC} [v_{RI}(t) - v_{RI}(0)] = 0$$
 (2.5)

Substituindo (2.3) em (2.5) temos a seguinte equação:

$$-t_{E} \cdot v_{E}(x) - v_{RI}(t) + v_{RI}(0) = 0$$
 (2.6)

Observemos que a equação (2.6), embora assumindo valores diferentes, vale para qualquer valor de $V_E(X)$ no intervalo $\begin{bmatrix} 0, X_M \end{bmatrix}$, desde que $V_E(X)$ seja constante durante o período de conversão. Derivando agora a equação (2.6) com relação a t, obteremos:

$$-t_{E} \frac{d}{dt} \cdot V_{E}(X) - \frac{d}{dt} V_{RI}(t) = 0 \qquad (2.7)$$

Usando a definição de $V_{\mbox{RI}}(t)$, como integral de $V_{\mbox{R}}(t)$, ficamos com:

$$v_{R}(t) = -t_{E} \cdot \frac{d}{dt} v_{E}(x)$$
 (2.8)

Lembramos aqui que, embora $V_E(X)$ tenha sido assumida constante no tempo, o instante t na equação (2.8) é o instante em que $V_C(t) = 0$, e portanto assumirá um valor diferente para cada valor de $V_E(X)$. Se neste momento, quando $V_C(t) = 0$, ou se ja $t = t_R$ na figura (2.1), desejarmos que a relação ente t e t_E seja proporcional a X, ou seja $\frac{t}{t_E} = \alpha.X$, podemos escrever que:

$$v_{E}(x) = v_{E}\left(\frac{t}{\alpha.t_{E}}\right)$$
 (2.9)

Logo, para o segundo membro de (2.8) podemos usar:

$$\frac{d}{dt} V_E(X) = \frac{d}{dt} V_E \left(\frac{t}{\alpha.t_E}\right)$$
 (2.10)

Substituindo (2.10) em (2.8) podemos encontrar a função $V_R(t)$ que satisfaz as condições impostas ou seja, que $\frac{t}{t_E} = \alpha X \text{ quando } V_C(t) = 0:$

$$V_{R}(t) = -t_{E} \cdot \frac{d}{dt} V_{E} \left(\frac{t}{\alpha \cdot t_{E}} \right)$$
 (2.11)

Lembrando que t_E ê medido em termos do período τ_0 do relótio ($t_E = N.\tau_0$), escolhendo a constante $\alpha = \frac{1}{N}$, chegamos a uma expressão mais útil para projeto de um conversor no qual $\frac{t_R}{\tau_0} = X$:

$$V_{R}(t) = -N.\tau_{0} \cdot \frac{d}{dt} V_{E}(\frac{t}{\tau_{0}})$$
 (2.12)

Resumindo, se a tensão de entrada do conversor está relacionada com um parâmetro X através de uma função derivável $V_E(X)$, podemos obter uma <u>leitura direta de X</u> se utilizarmos a tensão de referência variante no tempo dada pela equação (2.12). Nesta expressão, a função V_E é aplicada ao argumento $(\frac{t}{\tau_0})$ e derivada no tempo, para obtenção de $V_R(t)$.

Exmplo 2.1 - Caso linear
$$V_E(X) = -\frac{V_R}{N} \cdot X$$

$$\begin{split} \mathbf{V}_{\mathrm{R}}(\mathrm{t}) &= -\,\mathbf{N} \cdot \boldsymbol{\tau}_{0} \cdot \, \frac{\mathrm{d}}{\mathrm{d} \mathrm{t}} \,\, \mathbf{V}_{\mathrm{E}} \,\, (\frac{\mathrm{t}}{\boldsymbol{\tau}_{0}}) &= -\,\mathbf{N} \cdot \boldsymbol{\tau}_{0} \,\, \frac{\mathrm{d}}{\mathrm{d} \mathrm{t}} \,\, \left(\frac{-\mathbf{V}_{\mathrm{R}}}{\mathbf{N}} \cdot \frac{\mathrm{t}}{\boldsymbol{\tau}_{0}} \right) = \\ &= -\,\mathbf{N} \cdot \boldsymbol{\tau}_{0} \,\, \left(\frac{-\mathbf{V}_{\mathrm{R}}}{\mathbf{N}} \,\, \cdot \, \frac{1}{\boldsymbol{\tau}_{0}} \right) \,\, = \,\, \mathbf{V}_{\mathrm{R}} \qquad , \quad \text{como seria de} \end{split}$$

se esperar.

Exemplo 2.2 - $V_E(x) = x^3 + x$

$$V_{R}(t) = -N.\tau_{0} \frac{d}{dt} \left[\left(\frac{t}{\tau_{0}} \right)^{3} + \left(\frac{t}{\tau_{0}} \right) \right] = -N. \left[\frac{3t^{2}}{\tau_{0}^{2}} + 1 \right].$$

No exemplo acima vemos que, para linearização de uma função polinomial de grau 3, necessitamos gerar no tempo um polinomio de grau 2.

Cabe observar que $V_{\rm R}(t)$, no desenvolvimento realizado, deve ser ligada à entrada do integrador no instante t=0 ,

a cada ciclo de conversão, tendo portanto que estar sincronizada com a chave CHl (fig. 1.1), que desliga o sinal e liga a referência.

2.3. Requisitos de V_F(X) e Interpretação Gráfica

Analisaremos agora as características necessárias à função $V_E(X)$ para que se possa utilizar o conversor não-linear desenvolvido. No Item 2.2 trabalhamos com $V_E(X)$ definida num intervalo $\left[0,X_{\rm M}\right]$ onde $X_{\rm M}$, como resultado de uma contagem de pulsos, é um número <u>inteiro</u> positivo. Analisaremos também os casos em que o gráfico de $V_E(X)$ se situa fora do primeiro qua drante, e faremos uma interpretação gráfica da conversão não-li near que permitirá seu melhor entendimento.

$V_{E}(X)$ para X = 0

Seja $V_E(X)$ derivâvel no intervalo $[0,X_M]$, tal que $V_E(0) = V_{E0}$. Lembramos novamente que o intervalo de integração do sinal é dado por $t_E = N\tau_0$, onde τ_0 , o período do relógio, é a unidade de tempo utilizada.

Utilizando a referência variante no tempo:

$$V_R(t) = -N.\tau_0.\frac{d}{dt} \cdot V_E(\frac{t}{\tau_0})$$
, teremos:

$$V_{RI}(t) \stackrel{\Delta}{=} \int V_{R}(t) dt = -N.\tau_{0} \int \frac{d}{dt} V_{E} \left(\frac{t}{\tau_{0}}\right) dt$$
 (2.13)

Como $V_R(t)$ será aplicada a entrada do integrador no instante t=0, a integral definida de $V_R(t)$ terá como limite inferior t=0. Logo, (2.13) pode ser reescrita em termos dos valores 0 e t como limites de integração, de modo que:

$$V_{RT}(t) = -N.\tau_0 \left[V_E \left(\frac{t}{\tau_0} \right) - V_E(0) \right]$$
 (2.14)

onde $V_E(0) = V_{E0}$.

Da equação (2.6), no instante $t = t_R$ em que $V_C(t) = 0$, temos:

$$V_{RI}(t_R) - V_{RI}(0) = -t_E \cdot V_E(X)$$
 (2.15)

Substituindo t = t_R em (2.14) e substituindo em (2.15) temos:

$$-N.\tau_{0}\left[V_{E}(\frac{t_{R}}{\tau_{0}})-V_{E0}\right]=-t_{E}V_{E}(X)=-N.\tau_{0}.V_{E}(X) \quad (2.16)$$

o que implica que:

$$v_{E} \left(\frac{t_{R}}{\tau_{0}}\right) - v_{E0} = v_{E}(x)$$
 (2.17)

Da equação (2.17) vemos que, para que $\frac{t_R}{\tau_0} = X$, devemos $\underline{\text{ter }} V_{E0} = 0$. Esta imposição não oferece problemas para efetuar a conversão quando $V_{E0} \neq 0$, pois podemos subtrair previamente o valor V_{E0} de $V_{E}(X)$, gerando uma nova função $V_{EC}(X) = V_{E}(X) - V_{E0}$, de modo que $V_{CE}(0) = 0$. Utilizando a mesma referência $V_{R}(t)$, teremos como resultado da conversão $t_{R} = X\tau_{0}$, ou $\frac{t_{R}}{\tau_{0}} = X$.

Comportamento de V_E(X)

Considerando ainda uma função $V_E(X)$ definida no intervalo $[0,X_M]$, com X_M positivo, além da restrição vista acima de que $V_E(0)=0$, uma outra restrição pade ser percebida com facilidade. É a de que, para cada valor de $V_E(X)$ corresponda um único valor no intervalo de definição $[0,X_M]$, ou ainda, que $V_E(X)$ seja biunívoca. Esta é uma decorrência do tipo de conversor (dupla-rampa) utilizado, e se estende à maioria dos conversores analógico - digitais. Neste caso, é fácil perceber que se a única informação fornecida ao conversor é um valor de $V_E(X)$, por exemplo V_{E1} , só existe possibilidade de obter como saída um único valor X_1 tal que $V_E(X_1)=V_{E1}$, como ilustrado na figura

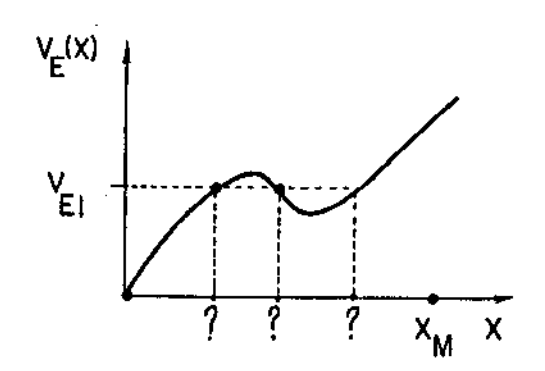
2.2(a) adiante.

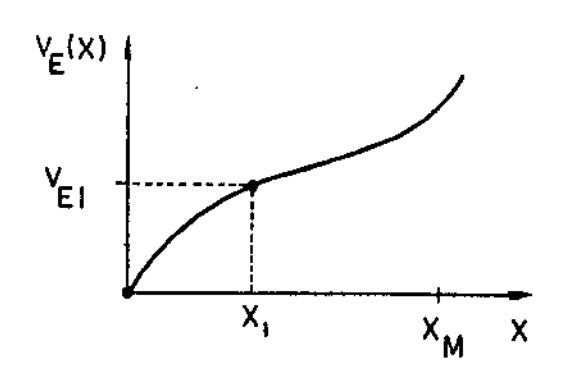
Um outro aspecto que cabe ressaltar, diz respeito fato de $V_{\rm E}({\rm X})$ ter sido assumida inicialmente como uma função ${\rm de}$ rivavel. De fato, como utilizamos uma referência variante tempo que é proporcional à primeira derivada de $V_{\rm E}(X)$, se, à primeira vista, que $V_{\mathrm{E}}(\mathrm{X})$ deva possuir tal derivada. outro lado, se tivermos uma função $V_{E}(X)$ e com $V_{E}(0) = 0$, nida apenas para valores inteiros entre 0 e X_M, através de tabela por exemplo, não teria sentido deixar de realizar a versão não-linear, uma vez que apenas valores inteiros entre 0 e X_M podem resultar de uma conversão A/D. Em princípio portanto, não há necessidade que $V_{\mathrm{E}}(\mathrm{X})$ seja contínua, menos ainda deriv $\underline{ ilde{a}}$ vel, sendo suficiente encontrar uma função $v_R^{}(t)$, que, utiliza da como referência variante no tempo, permita a conversão $V_{\rm E}({\rm X})$ em X para os valores em que $V_{\rm E}({\rm X})$ é definida. Como $V_{\rm R}({\rm t})$ será integrada no processo de conversão, será necessário apenas que sua função integral V_{RI} (t) satisfaça a equação (2.6), ou se ja, para qualquer $X \in [0, X_M]$:

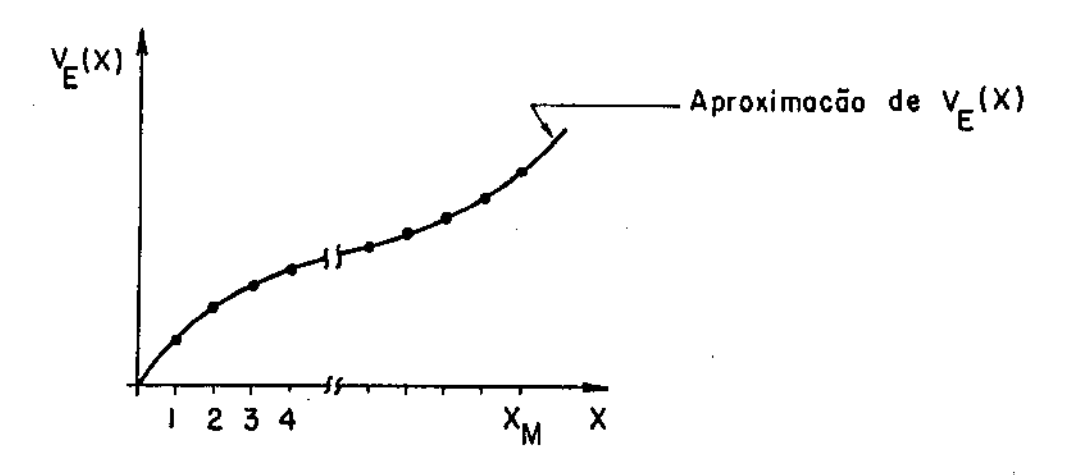
$$-t_E V_E(X) - V_{RI}(t) + V_{RI}(0) = 0$$
,

com t no intervalo $[0,t_M]$ onde $t_M=\tau_0.X_M$. Isto pode ocorrer para um conjunto não unitário de funções $V_R(t)$. As equações (2.7) e (2.8) e finalmente a equação (2.10), que expressam $V_R(t)$ como função da derivada no tempo de $V_E(\frac{t}{\tau_0})$, foram obtidas através da derivação da equação (2.6), o que representa um artificio matemático, mais do que uma imposição de que $V_E(X)$ seja de fato derivável.

Na realidade, se existir uma função derivâvel que coincida com $V_E(X)$ nos pontos onde esta é definida, e cuja derivada seja fácil de calcular e sintetizar, sem dúvida esta função poderâ ser utilizada como aproximação de $V_E(X)$ para gerar a referência (fig. 2.2(b)). Em termos de sintese do conversor, e da simplicidade da análise, é bem mais simples trabalhar com $V_E(X)$ derivâvel. Convêm ainda ressaltar que $V_E(X)$ biunívoca e derivã







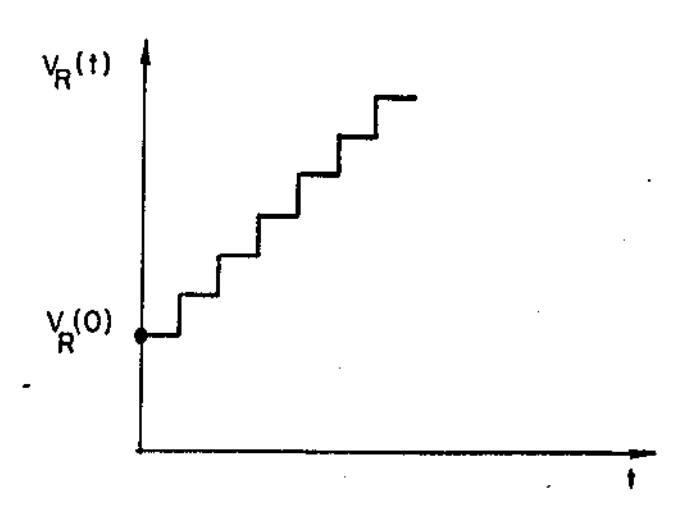


Figura 2.2 - Requisitos de $V_E(X)$ e $V_R(t)$.

vel em $[0,X_{\rm M}]$, com $V_{\rm E}(0)=0$, implica que a derivada é finita em $[0,X_{\rm M}]$, e que não muda de sinal neste intervalo. Suporemos ainda que $V_{\rm E}(X)$ possui derivadas à esquerda e à direita nos pontos extremos 0 e $X_{\rm M}$. Como pode ocorrer que $V_{\rm E}(X)$ seja infinita em 0 ou $X_{\rm M}$, como para $V_{\rm E}(X)=+$ $X^{1/2}$, nestes casos a referência $V_{\rm R}(t)$ a ser gerada deve ser uma aproximação da função calculada.

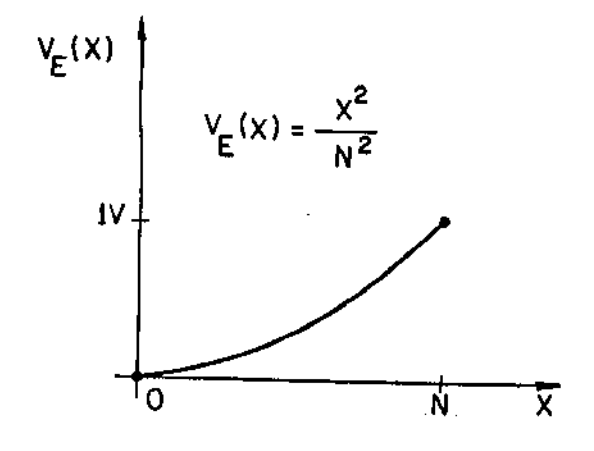
Uma observação semelhante vale também para a referência variante no tempo $V_R(t)$. Como a referência $V_R(t)$ será ligada à entrada do integrador, o único requisito que se impõe é que seja integrável. Como veremos mais adiante, uma forma conveniente de gerar $V_R(t)$ é através de circuitos chaveados, que forne cem valores discretos como saída, como ilustrado na figura 2.2(c).

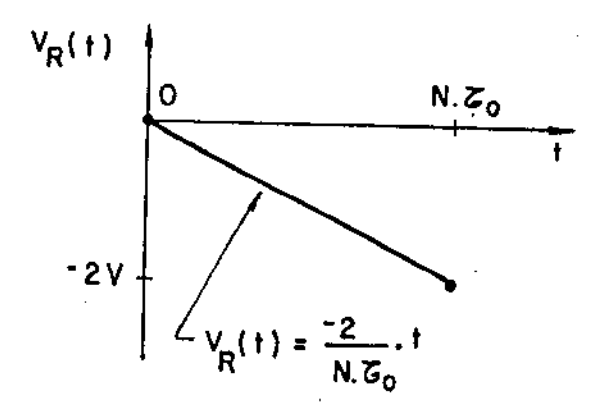
$V_{\rm E}$ (X) Fora do 19 Quadrante

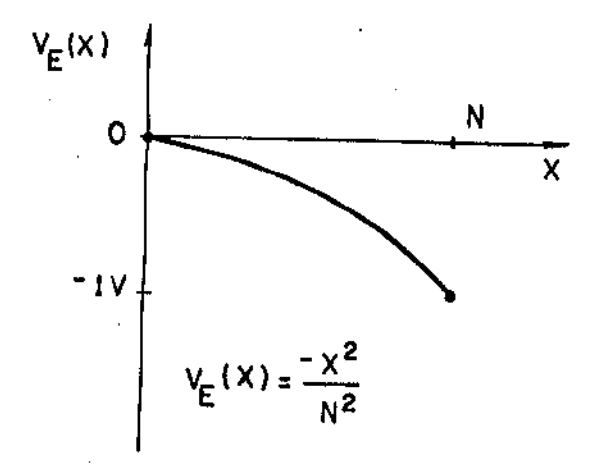
Até o momento trabalhamos com uma função $V_E^{}(X)$ biunívoca definida no intervalo $\left[0,X_M^{}\right]$ tal que $V_E^{}(0)=0$. Isto significa que, se $V_E^{}(X)$ for crescente, como na figura 2.2(a), seu gráfico se situará no primeiro quadrante. Do que foi deduzido, a referência de tensão variante no tempo utilizada para converter $V_E^{}(X)$ em X será dada por (eq. 2.12).

$$V_{R}(t) = -N.\tau_{0} \cdot \frac{d}{dt} V_{E} (\frac{t}{\tau_{0}})$$
 (2.18)

Da expressão de $V_R(t)$ vemos que, caso $V_E(x)$ seja crescente, a derivada em (2.18) será positiva e a tensão de referência será sempre negativa. Como nenhuma restrição além de $V_E(0) = 0$ e da biunivocidade foi imposta a $V_E(x)$, temos também a possibilidade de ter seu gráfico situado no 4º quadrante, ou seja, de $V_E(x)$ ser decrescente. Neste caso sua derivada será sempre negativa. Estes dois casos podem ser ilustrados pelos exemplos a seguir, cujos gráficos de $V_E(x)$ e $V_R(t)$ são mostra dos na figura 2.3.







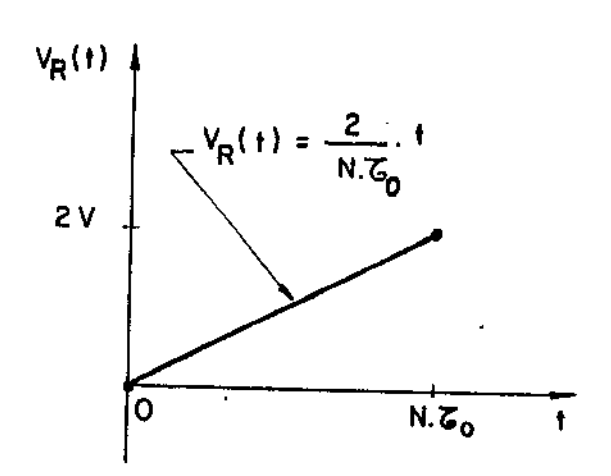


Figura 2.3 - Exemplos de $V_{E}(X)$ no 19 e 49 quadrantes.

Exemplo 2.3 -
$$V_E(X) = \frac{X^2}{N^2}$$
; $X_M = N$; $V_E(Volts)$.

De (2.18) teremos:

$$V_{R}(t) = -N.\tau_{0} \frac{d}{dt} \left(\frac{t^{2}}{N^{2}\tau_{0}^{2}}\right) = \frac{-2}{N.\tau_{0}} \cdot t \leq 0$$
 (2.19)

O maior valor absoluto de $V_R(t)$ ocorrerá para $X = X_M$, ou ainda para $t_M = X_M \cdot \tau_0 = N \cdot \tau_0$, e será:

$$v_R(t_M) = v_R(N.\tau_0) = \frac{-2}{N.\tau_0} \cdot N.\tau_0 = -2 \text{ Volts.}$$

Exemplo 2.4 -
$$V_E(X) = \frac{-X^2}{N^2}$$
; $X_M = N$; V_E (Volts)

:
$$V_R(t) = -N.\tau_0 \cdot \frac{d}{dt} \left(\frac{-t^2}{N^2.\tau_0^2} \right) = \frac{2}{N.\tau_0} \cdot t \ge 0 \quad (2.20)$$

E ainda:

$$V_R(t_M) = \frac{2}{N \cdot \tau_0}$$
 $\cdot N \cdot \tau_0 = 2 \text{ Volts.}$

Os outros casos a analisar são aqueles em que $V_E(X)$ é definida para valores negativos de X, ou no intervalo $\begin{bmatrix} 0, -X_M \end{bmatrix}$, sempre com $V_E(0) = 0$. Estes casos são também simples, e atra vés de (2.18) podemos ver que, para $V_E(X) \geqslant 0$:

- a) Se $V_{E1}(-X) = V_{E}(X)$, para $X \ge 0$ (V_{E1} no 29 quadrante), teremos $V_{R1}(t) = V_{R}(t)$;
- b) Se $V_{E1}(-X) = -V_{E}(X)$, para $X \ge 0$ (V_{E1} no 30 quadrante), teremos $V_{R1}(t) = -V_{R}(t)$.

No segundo caso acima, bem como para o caso de $V_E^{(X)}$ no 4º quadrante, deve-se utilizar o sinal de menos (-) ao apresentar o resultado da conversão em um "display", ou ainda acresentar ao conversor um "bit" de polaridade.

$\underline{\mathbf{v}}_{E}(\mathbf{X})$ definida no intervalo $[-\mathbf{X}_{M}, \mathbf{X}_{M}]$

Como acabamos de verificar, $V_E(X)$ pode ser definida para valores positivos ou negativos de X, sendo possível em quaisquer dos casos realizar a conversão não-linear, desde que $V_E(0) = 0$ e que a função seja monotônica.

Os casos que estudaremos agora são aqueles em que o gráfico $V_E(X)$ passa pela origem, do 3º parao 1º quadrante ou do 2º para o 4º quadrante. Como a referência $V_R(t)$, pelo próprio mecanismo de conversão, é ligada à entrada do integrador em t=0, nos casos em que $V_E(X)$ assume valores positivos e negativos temos que dotar o conversor de um mecanismo de decisão. Se em t=0 a tensão de saída do integrador indicar que $V_E>0$, liga-se uma referência negativa. No outro caso, se $V_E<0$, uma referência positiva será utilizada para realizar a conversão. Se além de biunívoca, $V_E(X)$ for simétrica com relação a origem, as referências positiva e negativa que mencionamos acima serão $V_R(t)$ e $V_R(t)$, calculadas da forma deduzida anteriormente (eq. 2.8).

Interpretação Gráfica

Utilizando $V_E(X)$ biunívoca, com $V_E(0) = 0$, ilustrare mos um caso de conversão não-linear com $V_E(X)$ no primeiro qua drante. Lembrando o processo de conversão, do instante $t = -t_E = -N \cdot \tau_0$ até t = 0 temos o sinal $V_E(X)$ ligado à entrada do integrador, de modo que:

$$V_{C}(0) = \frac{-N \cdot \tau_{0}}{RC} \cdot V_{E}(X)$$
 (2.21)

Para t > 0 teremos a referência $V_R(t)$ conectada ao integrador, que terá como saída:

$$V_C(t) = V_C(0) - \frac{1}{RC} \int_0^t V_R(\tau) d\tau, \quad t > 0$$
 (2.22)

Como conhecemos $V_R(t)$, podemos utilizar:

$$\int V_{R}(t) dt = \int -N.\tau_{0} \frac{d}{dt} \cdot V_{E}(\frac{t}{\tau_{0}}) dt = -N.\tau_{0}.V_{E}(\frac{t}{\tau_{0}})$$
(2.23)

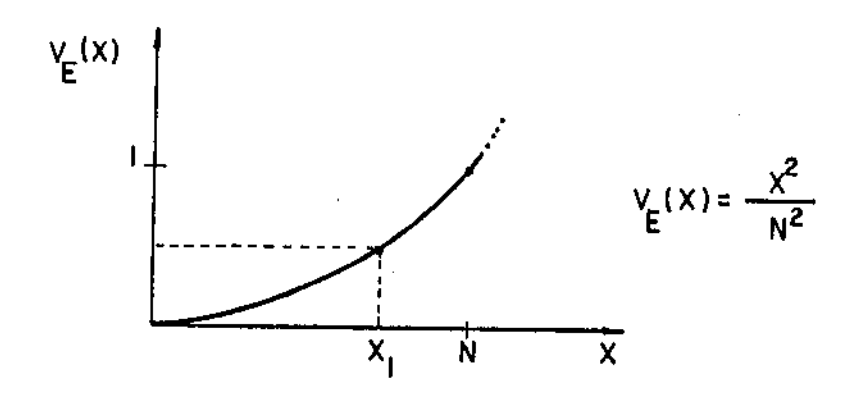
Como $V_E(0) = 0$, das equações (2.21) e (2.22) temos:

$$V_{C}(t) = \frac{-N.\tau_{0}}{RC} \cdot V_{E}(X) + \frac{N.\tau_{0}}{RC} \cdot V_{E}(\frac{t}{\tau_{0}})$$
 (2.24)

ou ainda, reescrevendo:

$$\frac{RC}{N \cdot \tau_0} \cdot V_C(t) = V_E(\frac{t}{\tau_0}) - V_E(X)$$
 (2.25)

Da expressão acima vemos que, como $V_E(X)$ é constante durante o período de conversão, o segundo termo de (2.25) exprime uma função no tempo cujo grâfico reproduz o gráfico de V_E deslocado do valor $V_E(X)$, para cada valor de X. Esta interpretação gráfica está mostrada na figura 2.4, onde a função utilizada é a mesma do exemplo (2.3), qual seja, $V_E(X) = \frac{X^2}{N^2}$.



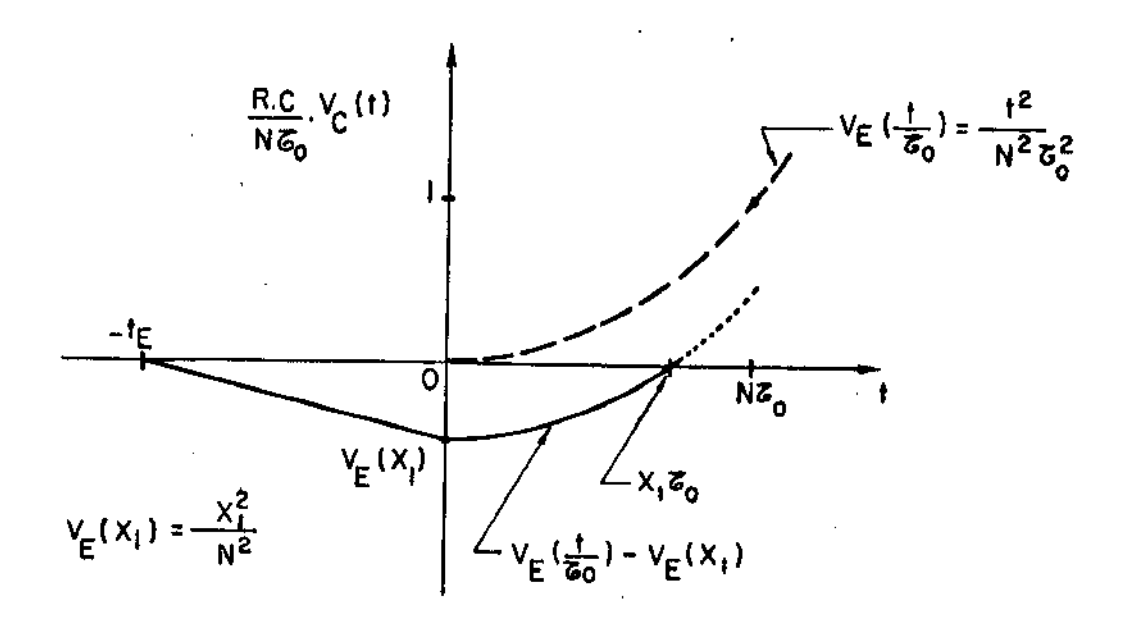


Figura 2.4 - Interpretação gráfica: $V_E(X) = \frac{X^2}{N^2}$; $0 \le X \le N$.

2.4 - Generalização-Conversão f(X) → g(X)

A conversão não-linear estudada até aqui se aplica basicamente ao caso em que o sinal de entrada do conversor A/D precisa ser linearizado com relação a um parâmetro X. Assim, vimos como modificar um conversor dupla-rampa de modo a converter uma função biunívoca $V_E(X)$ em X, o que equivale dizer que tal conversor opera a aplicação inversa de $V_E(X)$. Lembramos aqui que a condição necessária para existência da função inversa é que a função em questão seja biunívoca.

Utilizando o mesmo princípio de conversão, trataremos agora do caso geral onde uma função "aplicada" à entrada do conversor será transformada em uma outra função na saída. Para este caso, denominaremos f(X) o sinal de entrada, g(X) o sinal de saída, sendo f(X) e g(X) funções biunívocas definidas no intervalo $[0,X_M]$ de modo que f(0) = g(0) = 0.

Repetindo os ciclos de conversão, com f(X) como sinal de entrada e $V_R(t)$ como referência teremos (ver fig. 1.1):

1. Intervalo - $t_E \le t \le 0$; CH1 \rightarrow A; $V_E = f(X)$.

$$v_C(0) = -\frac{t_E}{RC} \cdot f(X)$$
 (2.26)

2. Intervalo 0 \leq t \leq t_R; CH1 + B; V_R = V_R(t)

$$V_C(t) = V_C(0) - \frac{1}{RC} [V_{RI}(t) - V_{RI}(0)],$$
 (2.27)

onde $V_{RI}(t)$ é a função integral de $V_{R}(t)$.

Em t = t_R , quando $V_C(t)$ = 0, queremos que o conteúdo do contador, que exprime o resultado da conversão, seja igual ag(X), ou ainda $\frac{t_R}{\tau_0}$ = g(X). Utilizando ainda t_E = N. τ_0 , a partir de (2.27) teremos:

$$-N.\tau_0.f(X) - V_{RI}(t) + V_{RI}(0) = 0$$
 (2.28)

Como g(X) é biunívoca podemos definir $g^{-1}(X)$ como a função inversa de g(X), de modo que:

$$g^{-1}[g(X)] = g^{-1}(\frac{t}{\tau_0}) = X$$
 (2.29)

Utilizando (2.29) para reescrever f(X) ficamos com:

$$f(X) = f\left[g^{-1}\left(\frac{t}{\tau_0}\right)\right] \tag{2.30}$$

Substituindo f(X) acima em (2.28) e derivando com relação a t podemos obter $V_R(t)$ como:

$$V_{R}(t) = -N.\tau_{0} \cdot \frac{d}{dt} f. \left[g^{-1}(\frac{t}{\tau_{0}})\right], \qquad (2.31)$$

que é uma expressão geral, à semelhança da equação (2.12) que vínhamos utilizando até agora.

Exemplo 2.5:
$$f(X) = \frac{X^2}{N^2}$$
; $g(X) = X$

Temos aqui o mesmo caso do exemplo (2.3), onde queremos transformar f(X) em X, ou seja, linearizar f(X). A inversa de g(X) serā:

$$g^{-1}(X) = X : g^{-1}(\frac{t}{\tau_0}) = \frac{t}{\tau_0}$$
, e (2.32)

$$f\left[g^{-1}(\frac{t}{\tau_0})\right] = \frac{t^2}{N^2 \cdot \tau_0^2}$$

Logo:

$$v_{R}(t) = -N.\tau_{0}. \frac{d}{dt} \left(\frac{t^{2}}{N^{2}.\tau_{0}^{2}}\right) = \frac{-2t}{N.\tau_{0}}$$

que é a mesma referência do exemplo (2.3).

Exemplo 2.6:
$$f(x) = \frac{x}{N}$$
; $g(x) = \frac{x^2}{N^2}$

$$g^{-1}(X) = N X^{1/2} : g^{-1}(\frac{t}{\tau_0}) = N \cdot (\frac{t}{\tau_0})^{1/2}$$

$$\therefore f\left[g^{-1}(\frac{t}{\tau_0})\right] = (\frac{t}{\tau_0})^{1/2}, \text{ de onde podemos calcular:}$$

$$V_R(t) = -N.\tau_0 \frac{d}{dt} \left(\frac{t}{\tau_0}\right)^{1/2} = -\frac{N}{2} \cdot \left(\frac{t}{\tau_0}\right)^{1/2}$$
 (2.33)

$$V_{RI}(t) = -N.\tau_0^{1/2}.t^{1/2}$$
 (2.34)

Utilizando (2.28) para $t = t_R$ teremos:

$$-N.\tau_0.\frac{X}{N}+N.\tau_0^{1/2}.t_R^{1/2}=0$$

$$\frac{t_R}{\tau_0} = \frac{x^2}{N^2} = g(X), \text{ como esperado.}$$

Escolhemos as funções do exemplo acima para mostrar, além do caso geral de conversão de f(X) em g(X), um caso em que $V_R(t)$ tende para infinito para t=0, como pode ser observado em (2.33). Neste caso, como já mencionamos deve-se escolher uma função $V_R(t)$ que seja uma boa aproximação da função calculada, tende do-se em conta que sua integral entre 0 e té que determinarão o instante t_R onde termina o ciclo de conversão. Assim, vemos que em (2.34), para $\frac{t}{\tau_0}=1$ temos $V_{RI}(\tau_0)=-N.\tau_0$, o que implica que podemos usar uma função $V_R(t)$ cuja integral entre 0 e τ_0 seja dada por (2.34), sem necessariamente tender a infinito para t=0.

O caso $X \rightarrow g(X)$

Além da linearização de funções, uma aplicação que merece

destaque \tilde{e} a geração de uma função não-linear, que aparece aqui como caso particular da conversão $f(X) \rightarrow g(X)$, em que f(X) = X. De (2.30) temos:

$$f\left[g^{-1}(\frac{t}{\tau_0})\right] = g^{-1}(\frac{t}{\tau_0}).$$

Logo, para f(X) = X utilizamos a referência:

$$V_{R}(t) = -N.\tau_{0} \frac{d}{dt}.g^{-1}(\frac{t}{\tau_{0}})$$
 (2.35)

Escalamento

Em muitos casos as limitações de tensão de entrada de um conversor A/D nos obrigam a atenuar o sinal a ser convertido. Para os conversores lineares este escalamento é realizado através da tensão de referência V_R , que estabelece o ganho do conversor (lembrar da eq. (1.6) que $X=\frac{-N}{V_R}$, V_E). Em um conversor não-linear, não só o sinal de entrada deve ser mantido dentro de limites, como também a referência variante no tempo V_R (t) deve ser tal que possa ser sintetizada com facilidade. Este não é o caso quando a função f(X) possui derivada muito elevada, necessitando portanto de V_R (t) com valores também elevados. Analisaremos aquio caso em que uma função f_1 (X) se relaciona porporcionalmente com f(X), de modo que:

$$f_1(x) = \frac{f(x)}{\kappa}$$
, onde K é constante.

A conversão $f_1(X) \rightarrow g(X)$ utilizará a referência obtida a partir da equação (2.31), ou seja:

$$\nabla_{R_1}(t) = -N \cdot \tau_0 \cdot \frac{d}{dt} f_1 \left[g^{-1} \left(\frac{t}{\tau_0} \right) \right] = \frac{-N \cdot \tau_0}{K} \cdot \frac{d}{dt} \cdot f \left[g^{-1} \left(\frac{t}{\tau_0} \right) \right],$$

o que mostra que, para $f_1(x) = \frac{f(x)}{K}$, temos:

$$V_{R_1}(t) = \frac{V_R(t)}{K}$$
 (2.36)

Vemos a partir de (2.36) que o mesmo fator de escala aplicado a f(X) deve ser aplicado à referência $V_R(t)$. O mesmo não acontece quando aplicamos um fator de escala à função de saida g(X), como veremos a seguir. Suponhamos $g_1(X)$ uma função tal que $g_1(X) = \frac{g(X)}{K}$, onde g(X) é biunívoca com g(0) = 0. Sendo $g_1^{-1}(X)$ a inversa de $g_1(X)$, podemos escrever:

$$g_1[g_1^{-1}(X)] = X.$$
 (2.37)

Da definição de $g_1 (= \frac{g}{K})$ vem:

$$\frac{g\left[g_1^{-1}(X)\right]}{K} = X \Longrightarrow g\left[g_1^{-1}(X)\right] = KX \tag{2.38}$$

Aplicando g^{-1} de ambos os lados de (2.38) chegamos a:

$$g_1^{-1}(X) = g^{-1}(KX)$$
. (2.39)

Como na conversão de f(X) em $g_1(X)$ utilizaremos a inversa de g_1 (ver 2.35), o escalamento de g(X) por um fator $\frac{1}{K}$ levarã à referência:

$$V_{R_1}(t) = -N.\tau_0.\frac{d}{dt} f[g^{-1}(KX)].$$
 (2.40)

2.5 Geração da Referência Variante

Como foi visto no capítulo I (ítem 1.2), uma das principais vantagens da técnica de conversão dupla-rampa é realizar a comparação entre duas tensões pela medida da razão entre dois intervalos de tempo (t_E e t_R), sem contudo utilizar um padrão pre

ciso de unidade de tempo. Esta característica, denominada imunidade ao relógio, não é tão simples de ser obtida em um conversor não-linear, uma vez que a referência variante no tempo deve ter um comportamento bem definido e sua variação no tempo depende de τ_0 . No caso da conversão de f(X) em X, como vimos, teremos $V_R(t)$ dada por (da eq. 2.31):

$$V_{R}(t) = -N.\tau_{0} \cdot \frac{d}{dt} f(\frac{t}{\tau_{0}}),$$
 (2.41)

onde τ_0 é o período do relógio utilizado para contagem de tempo. Podemos ver claramente que, dada uma função f(X), e escolhido um valor para τ_0 , $V_R(t)$ deve ser gerada exatamente como em (2.41), in dicando a dependência da conversão com o período do relógio. Vere mos isto com mais nitidez através do exemplo a seguir:

Exemplo 2.7:
$$f(X) = (1 - e^{\frac{-X}{N}})$$
 (Volts)

De (2.41) podemos obter:

$$V_{R}(t) = -N.\tau_{0} \frac{d}{dt} (1 - e^{-t}) = (1 - e^{-t}) - 1 \text{ (Volts)}$$
(2.42)

A exponencial obtida em (2.42) deve ser gerada periodicamente, em cada ciclo de conversão, a partir do instante t=0 (ver fig. 2.1). Esta função pode ser facilmente obtida pela carga de um capacitor C através de um resistor R de modo que o produto RC seja igual à constante de tempo $\tau=N.\tau_0$ da exponencial. Subtraindo uma tensão constante da tensão sobre o capacitor obtemos a função calculada em (2.42). Como vemos, utilizando o produto RC fixo e igual a $N.\tau_0$, se houver alguma variação na frequência do relógio a conversão se alterarã, ocasionando erros no resultado.

A solução mais aparente para este problema consistiria em utilizar um relógio estável, obtido por exemplo de um oscila dor a cristal. Além do evidente aumento de custo e complexidade do circuito, para modificar a taxa de conversão necessitaríamos

recalcular a referência variante e modificar valores de componentes. Optamos por uma técnica diferente, que utiliza funções no tempo geradas a partir de circuitos a capacitores chaveados, cujo princípio de funcionamento está descrito sucintamente no capítulo 3. Desta forma, como veremos no decorrer do trabalho, é possível gerar uma referência variante $V_R(t)$ que se adapta automaticamente no caso de ocorrerem variações na frequência do relógio. No capítulo VI mostraremos também que esta técnica torna o conversor não -linear passível de integração, o que o torna muito conveniente em algumas aplicações.

Para concluir este capítulo, veremos no item a seguir a aplicação desta técnica à conversão da função utilizada no exemplo anterior (exemplo 2.7).

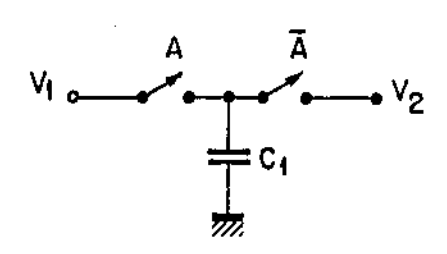
Utilização de Circuitos a Capacitores Chaveados

Vimos no exemplo 2.7 que, para realizar a conversão de f(X) em X será necessário gerar a exponencial mostrada em (2.42), cuja constante de tempo $\tau = N.\tau_0$ depende claramente a frequência f_0 (= 1/ τ_0) do relógio principal do conversor. Para ilustrar a geração de V_R (t) utilizando capacitores chaveados utilizaremos o circuito mostrado na figura 2.5(a), cujo princípio de funcionamento resumiremos a seguir.

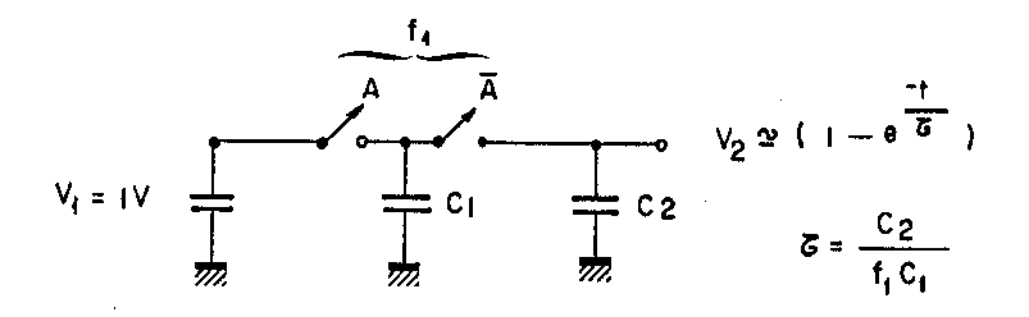
As chaves analógicas mostradas na figura fecham e abrem alternadamente, comandadas pelos sinais A e \overline{A} numa frequência que chamaremos f_1 . Quando a chave da esquerda está fechada, o capacitor C_1 é carregado com V_1 . A seguir o estado das chaves é invertido e C_1 se descarrega por V_2 . A quantidade de carga que flui para (ou de) V_2 será então |16|:

$$Q = C_1 (V_2 - V_1)$$
 (2.43)

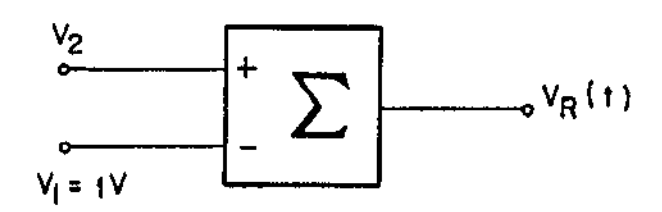
Se as chaves são ligadas e desligadas a cada T_1 segundos, onde $T_1 = 1/(f_1)$, a corrente (carga por unidade de tempo) que flui de V_1 para V_2 serã dada por:



(a) "Resistor" a capacitor chaveado.



(b) Geração de exponencial.



(c) Geração de $V_R(t)$.

Figura 2.5 - Referência com Capacitores Chaveados.

$$i = \frac{C_1 (V_2 - V_1)}{T_1}$$
 (2.44)

A função desempenhada pelo capacitor e pelas chaves an<u>a</u> logicas \ddot{e} a de um "resistor" ligado entre v_1 e v_2 , com valor equ<u>i</u> valente a:

$$R = \frac{T_1}{C_1} = \frac{1}{f_1 C_1}$$
 (2.45)

Esta aproximação é válida para f_1 bem maior que as frequências de interesse presentes em V_1 e V_2 . Utilizando o "resistor" da figura 2.5(a) podemos gerar uma exponencial utilizando o circuito da figura 2.5(b), onde teremos:

$$v_2(t) = (1 - e)$$
 (2.46)

Substituindo R pelo valor mostrado em (2.45) obtemos a constante de tempo $\tau = RC_2$ que, como vimos, deve ser iguala N. τ_0 , ou seja:

$$\tau = R.C_2 = \frac{C_2}{f_1.C_1} = N.\tau_0 = \frac{N}{f_0}$$
 (2.47)

De 2.47 podemos ver que, se o sinal de controle das chaves for derivado do relógio principal, de forma que $f_1 = f_0 \cdot \alpha$, on de α é constante, a equação de projeto passará a ser:

$$\frac{C_2}{C_1} = \alpha.N, \qquad (2.48)$$

que independe de f_0 (e de τ_0). Assim, se f_0 variar, a frequência f_1 de comando das chaves variará proporcionalmente, mantendo sem pre válida a igualdade expressa em (2.48), e portanto gerando a exponencial adequada à conversão de f(X) em X.

A partir do sinal V_2 , e utilizando um circuito simples para subtrair l volt de V_2 , chegamos a referência variante da equação (2.42), o que aparece ilustrado na figura 2.5(c). Convém observar que, no circuito da figura 2.5(b), será necessário mais uma chave analógica para descarregar C_2 antes do início da conver são, uma vez que o sinal de referência V_R (t) deverá ser gerado a cada ciclo de medida.

Como resultado importante do que vimos até aqui, além da técnica de conversão em si, aparece portanto a possibilidade de, utilizando circuitos a capacitores chaveados, manter a <u>imunidade ao relógio</u> para conversores não-lineares, mantendo assim uma das principais características do conversor dupla-rampa. No próximo capítulo mostraremos uma aplicação da técnica desenvolvida à conversão de funções polinomiais, de grande interesse no processa mento de sinais elétricos.

CAPÍTULO III

APLICAÇÃO A FUNÇÕES POLINOMIAIS

Introdução

A conversão A/D de sinais elétricos provenientes de sensores ou transdutores é talvez a área de maior aplicação de conversores não-lineares. Neste caso, temos em geral uma relação não-linear entre o sinal elétrico medido e a grandeza que representa, e o conversor não-linear pode, ao mesmo tempo, realizar as tarefas de linearização e digitalização do sinal. Para que se possa projetar um conversor não-linear para este fim é necessário conhecer uma função que aproxime satisfatoriamente a curva do sensor. A partir desta função f(X) é possível, como vimos no capítulo anterior, obter X como resultado da conversão, desde que f(X) obedeça a determinadas condições, como f(X) = 0 para X = 0 e ainda f(X) biunívoca.

Dentre as funções utilizadas para aproximar relações não-lineares, as funções polinomiais tem sido as mais utiliza das, quer pela facilidade com que podem ser sintetizadas, quer pela simplicidade de métodos de aproximação como mínimos quadra dos. Para alguns sensores, como é o caso de termopares, existem aproximações polinomiais já bastante conhecidas |17|.

Dedicamos este capítulo ao estudo da linearização através do conversor desenvolvido, de funções polinomiais de qual
quer ordem, apresentando um circuito para geração da referência
variante no tempo que poderá ser utilizado para funções deste
tipo. Apresentamos também equações de projeto que facilitam a
síntese de conversores para funções polinomiais; analisan
do as principais fontes de erro para o circuito proposto.

3.1. Linearização de Funções Polinomiais

Como caso particular da conversão não-linear estudada no capítulo 2, estudaremos a conversão de f(X) em X onde f(X)

é dada por:

$$f(x) = A_1 x + A_2 x^2 + ... + A_m x^m,$$
 (3.1)

Convēm notar que o termo constante do polinômio acima é nulo, o que garante f(0)=0. Assumiremos ainda que os coeficientes $A_1,\ A_2,\ \ldots,\ A_n$ são tais que f(X) é biunívoca no intervalo $\left[0,X_{\underline{M}}\right]$ de interesse. Para efeito deste capítulo, trabalha remos com f(X) no primeiro quadrante, sem com isso limitar os resultados, como foi visto no ítem 2.3. Utilizaremos um conversor com fundo de escala de N contagens, comandado por um relógio na frequência f_0 (= $1/\tau_0$).

De acordo com a equação (2.41) a referência variante a ser utilizada para converter f(X) em X serã:

$$V_{R}(t) = -N \cdot \tau_{0} \cdot \frac{d}{dt} f(\frac{t}{\tau_{0}}) =$$

$$= -N \cdot \tau_{0} \frac{d}{dt} \left[A_{1} \left(\frac{t}{\tau_{0}} \right) + A_{2} \left(\frac{t}{\tau_{0}} \right)^{2} + \dots + A_{m} \cdot \left(\frac{t}{\tau_{0}} \right)^{m} \right]$$

$$= -N \cdot \tau_{0} \left[\frac{A_{1}}{\tau_{0}} + \frac{2A_{2}t}{\tau_{2}} + \dots + \frac{m \cdot A_{m}}{\tau_{m}} \cdot t^{m-1} \right]$$

$$= -\left[N \cdot A_{1} + \frac{2NA_{2}}{\tau_{0}} + \dots + \frac{m \cdot N \cdot A_{m}}{\tau_{0}^{m-1}} \cdot t^{m-1} \right]$$
(3.2)

Podemos reescrever $V_R(t)$ como:

$$V_{R}(t) = a_{0} + a_{1} \cdot t + \dots + a_{m-1} \cdot t^{m-1},$$
 (3.3)

onde:

$$a_{0} = -N.A_{1}$$

$$a_{1} = \frac{-2.N.A_{2}}{\tau_{0}}$$

$$a_{m-1} = \frac{-m.N.A_{m}}{\tau_{0}^{m-1}}$$
(3.4)

Vemos portanto que, para linearizar um polinômio de grau m devemos gerar uma referência polinomial (no tempo) de grau m-l. A expressão para $V_{\rm R}(t)$ vista em (3.3) pode ainda ser expressa como somatória dos termos de um polinômio:

$$V_R(t) = a_0 + \sum_{j=1}^{m-1} a_j \cdot t^j, \quad 0 \le t \le N \cdot \tau_0$$
 (3.5)

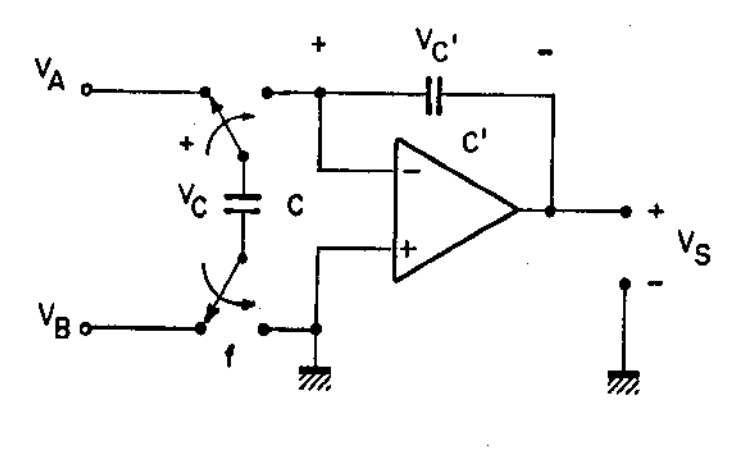
onde:

$$a_{j} = \frac{-(j+1).N.A_{j+1}}{\tau_{0}^{j}}$$
 (3.6)

Para gerar a referência $V_R(t)$ podemos utilizar integra dores em cascata para obter termos em t^1 que, ponderados ade quadamente, fornecerão o sinal de referência. Como cada coeficiente a_1 em (3.6) depende de τ_0 , utilizaremos integradores cha veados para preservar a imunidade ao relógio.

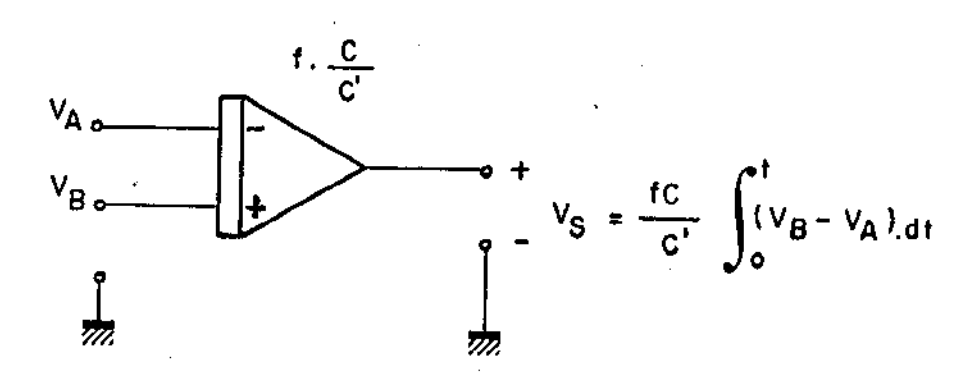
3.2. Geração de V_R(t) com Integradores Chaveados

Utilizaremos como bloco integrador o circuito mostra do na figura 3.1(a), que será analisado assumindo que a frequên cia de comutação das chaves é muito maior que a do sinal a ser integrado. As chaves mostradas na figura são ligadas alternada mente aos sinais de entrada e à entrada: do amplificador, numa frequência f(=1/T), de modo que o capacitor C se carrega com a diferença $(V_A - V_B)$ e transfere sua carga para o capacitor C' a



$$V_{S} = \frac{fC}{C'} \int_{0}^{t} (V_{B} - V_{A}) dt + V_{S}(0)$$

(a) Circuito básico do integrador chaveado.



(b) Bloco funcional simbolizando o integrador de (a).

Figura 3.1 - Integrador Diferencial a Capacitores Chaveados.

cada T segundos. Quando ambas as chaves estão voltadas para o lado esquerdo, a carga em C serã:

$$Q_C = C.(V_A - V_B)$$
 (3.7)

Esta carga, transferida a cada T segundos, implicará numa corrente média fluindo para (ou de C') dada por:

$$i = \frac{C(V_A - V_B)}{T} = f.C(V_A - V_B)$$
 (3.8)

A taxa de variação da tensão em C' serã então igual a (1/C'), ou seja:

$$\frac{d.v_{C'}}{dt} = \frac{i}{c'} = \frac{f.C}{c'} \cdot (v_{A} - v_{B})$$
 (3.9)

Como a tensão de saída é igual a - V_C, integrando (3.9) chegamos a seguinte relação entre entradas e saída para o integrador chaveado:

$$v_{S} = \frac{f.C}{C'} \cdot \int_{0}^{t} (v_{B} - v_{A}) \cdot dt + v_{S}(0),$$
 (3.10)

o que mostra que o circuito realiza a integral no tempo da diferença entre os sinais V_B e V_A . Utilizamos como bloco básico um <u>integrador diferencial</u> para possibilitar seu funcionamento como inversor ou não inversor, dependendo da escolha do terminal para entrada do sinal a ser integrado.

Para facilitar o entendimento dos circuitos da referência variante no tempo, simbolizaremos o integrador diferencial como mostrado na figura (3.1(b), indicando sempre a frequência de comutação das chaves e os valores dos capacitores un tilizados atravês do coeficiente que multiplica a integral em

(3.10). Assumiremos também, exceto quando assinalado em contr<u>a</u>rio, que uma terceira chave analógica garante condição inicial nula ($V_S(0) = 0$) para todos os integradores chaveados.

Circuito Completo da Referência Variante

O circuito completo para gerar um sinal de referência capaz de linearizar o polinômio em (3.1) é mostrado na figura 3.2. A partir do cálculo de $V_R(t)$ da figura, poderemos extrair as relações entre os componentes utilizados e os coeficientes deduzidos anteriormente, indicados em (3.4) e (3.6).

O circuito é composto de uma cascata de integradores não inversores, num total de (m-1) seções, alimentado por uma tensão V_0 de referência. As saídas $V_1, \, V_2 \dots \, V_{m-1}$, como mos tramos a seguir, fornecerão os termos dependentes do tempo que, somados atravês do amplificador A_m , constituirão os termos do polinômio $V_R(t)$. Por simplicidade chamaremos α_j a relação en tre os capacitores do j-ésimo integrador. Assim, utilizando a relação expressa em (3.10) teremos:

$$v_1 = \alpha_1 f_1 \cdot \int_0^t v_0 \cdot dt = \alpha_1 \cdot f_1 \cdot v_0 \cdot t$$
 (3.11)

$$v_2 = \alpha_2 f_2 \int_0^t v_1 dt = \alpha_1 \cdot \alpha_2 \cdot f_1 \cdot f_2 \cdot v_0 \cdot \frac{t^2}{2}$$

$$v_3 = \alpha_3.f_3 \int_0^t v_2.dt = \alpha_1.\alpha_2.\alpha_3.f_1.f_2.f_3.v_0.\frac{t^3}{3!}$$

$$v_{m-1} = \alpha_{m-1} f_{m-1} \int_0^t v_{m-2} dt =$$

$$= \alpha_{1} \cdot \alpha_{2} \cdot ... m-1 \cdot f_{1} \cdot f_{2} \cdot ... f_{m-1} \cdot v_{0} \cdot \frac{t^{m-1}}{(m-1)}$$
 (3.12)

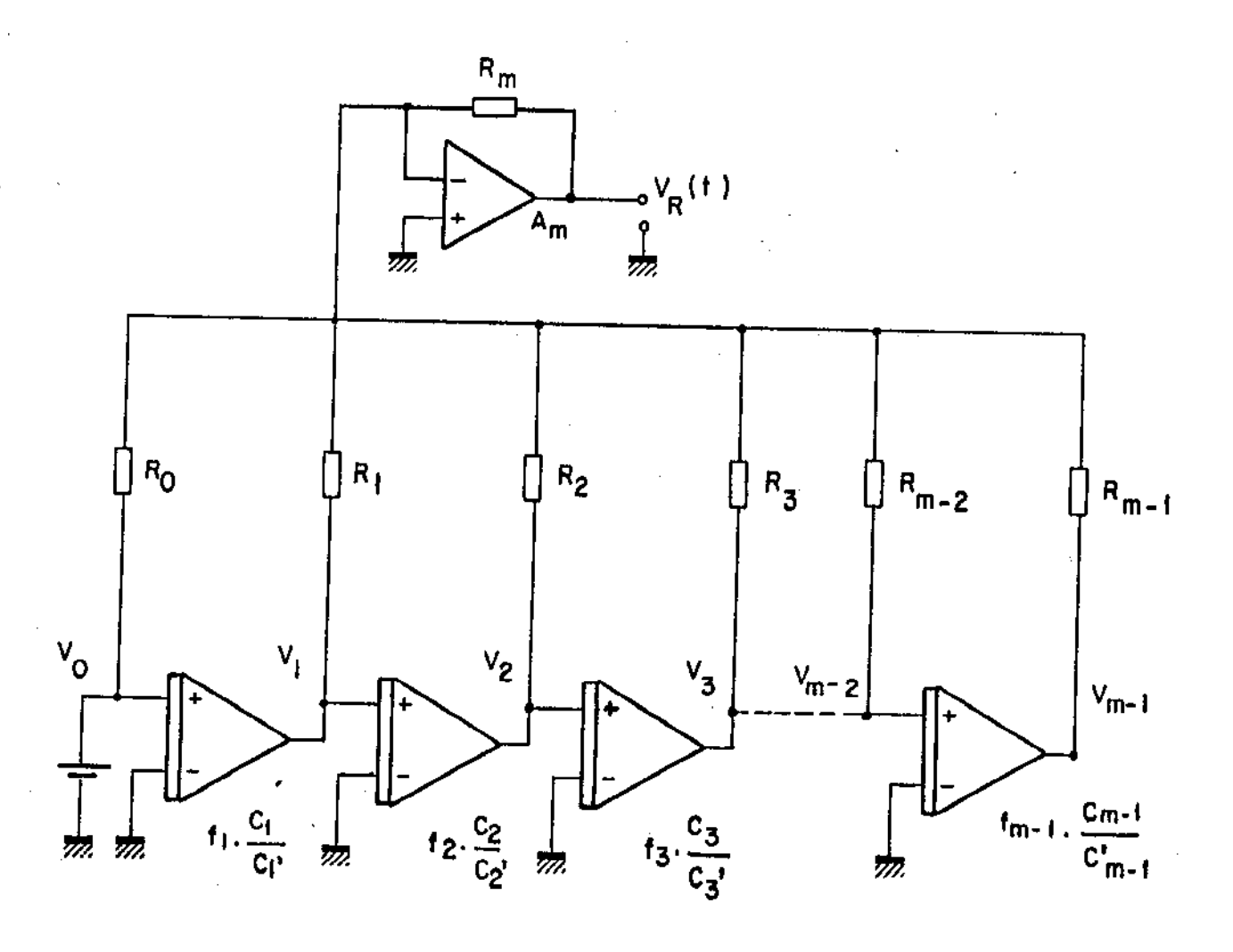


Figura 3.2 - Geração de $V_{R}(t)$ para função polinomial.

Como forma reduzida para a saída do j-ésimo integra dor podemos escrever:

$$v_{j} = v_{0} \cdot \left(\prod_{i=1}^{j} \alpha_{i} \right) \cdot \left(\prod_{i=1}^{j} f_{i} \right) \cdot \frac{t^{j}}{j!} ; j = 1, 2, \dots, m-1$$
(3.13)

A salda do somador inversor da figura (3.2) fornecerã, portanto, a soma das tensões V_0 a V_{m-1} ponderada pelos respectivos ganhos, ou seja:

$$v_{R}(t) = -\left[\frac{R_{m}}{R_{0}} \cdot V_{0} + \frac{R_{m}}{R_{1}} \cdot V_{1} + \dots + \frac{R_{m}}{R_{m-1}} \cdot V_{m-1}\right], (3.14)$$

que, utilizando (3.14) ficará:

$$V_{R}(t) = f_{0} + \sum_{j=1}^{m-1} \frac{R_{m}}{R_{j}} ... V_{j}$$

$$v_{R}(t) = b_{0} + \sum_{j=1}^{m-1} b_{j} \cdot t^{j} ; \quad 0 \leq t \leq N \cdot \tau_{0}$$
 (3.15)

onde:

$$\begin{cases} b_{j} = \frac{-v_{0}}{j!} \cdot \frac{R_{m}}{R_{j}} \cdot \left(\prod_{i=1}^{j} \alpha_{i} \right) \cdot \left(\prod_{i=1}^{j} f_{i} \right) \\ b_{0} = -\frac{R_{m}}{R_{0}} \cdot v_{0} \quad ; \quad j = 1, 2, \dots, m-1 \end{cases}$$

Podemos observar que a expressão para $V_R(t)$ em (3.15) possui a forma desejada, como calculada a partir da expressão de f(X) (eq. 3.5). Portanto as equações de projeto do conversor podem ser obtidas igualando-se os coeficientes dos termos correspondentes nos dois polinômios. Em outras palavras, para que o conversor realize a conversão de f(X) em X temos que ter:

$$a_{j} = b_{j}$$
, $j = 1, 2, ..., m-1$ (3.16)
 $a_{0} = b_{0}$

Utilizando então as expressões para a e b teremos:

$$\begin{cases} a_{j} = \frac{-(j+1) \cdot N \cdot A_{j+1}}{\tau^{j}} = \frac{-v_{0} \cdot R_{m}}{j! R_{j}} \cdot \left(\prod_{i=1}^{j} \alpha_{i} \right) \left(\prod_{i=1}^{j} f_{i} \right) = b_{j} \\ a_{0} = -N \cdot A_{1} = \frac{-R_{m}}{R_{0}} \cdot V_{0} = b_{0} \end{cases}$$

$$(3.17)$$

Dados portanto os coeficientes $A_1,\ A_2,\dots,A_m$ da função a linearizar, conhecidos o fundo de escala N de conversor e o período τ_0 do relógio principal, podemos calcular os resisto res R_1 a R_m , os capacitores C_1 a C_{m-1} e C_1 a C_{m-1} , e escolher a tensão de referência V_0 de modo a satisfazer (3.17). Na prātica o que faremos será utilizar as componentes V_j (saídas dos integradores) com as maiores amplitudes possíveis, para minimizar efeitos residuais dos amplificadores operacionais, deixando a ponderação final por conta dos resistores R_1 a R_{m-1} .

Imunidade ao Relógio

A imunidade do conversor a variações no relógio serã obtida se as relações expressas em (3.17) se mantiverem válidas, para qualquer valor de j, mesmo com flutuações no valor de τ_0 . Como temos na expressão dos coeficientes $\mathbf{b}_{\mathbf{j}}$ um fator igual ao produto das frequências de comutação das chaves, $\mathbf{f}_1.\mathbf{f}_2.\mathbf{f}_3,\ldots$, $\mathbf{f}_{\mathbf{j}}$, a imunidade pode ser alcançada se cada uma destas frequências depender diretamente da frequência $\mathbf{f}_0 = 1/(\tau_0)$ do relógio, ou seja, se cada frequência $\mathbf{f}_{\mathbf{i}}$ puder ser descrita por:

$$f_{i} = k_{i} \cdot f_{0} = \frac{k_{i}}{\tau_{0}}$$
, (3.18)

onde k_i é constante. A forma de obter esta dependência é simples, bastando gerar cada sinal de comutação de chaves bem como o relógio principal a partir de um único sinal, utilizando divisores digitais de frequência (flip-flops). Assim, em (3.17) teremos, considerando apenas os termos relacionados com frequências:

$$\frac{1}{\tau^{j}} \sim \left(\prod_{i=1}^{j} f_{i} \right) \tag{3.19}$$

Utilizando (3.18) ficaremos com:

$$\frac{1}{\tau_0^{j}} \sim \frac{k_1}{\tau_0} \cdot \frac{k_2}{\tau_0} \cdot \cdot \cdot \frac{k_j}{\tau_0} = \frac{k_1 \cdot k_2 \cdot \cdot \cdot k_j}{\tau_0^{j}} , \qquad (3.20)$$

o que nos permitirá concelar de ambos os lados o denominador τ^j , chegando assim a uma nova relação que independe de τ_0 , e portan to do relógio, a saber:

$$-(j+1) \cdot N \cdot A_{j+1} = \frac{-v_0}{j!} \frac{R_m}{R_j} \cdot \left(\frac{j}{j!} \alpha_i \right) \left(\frac{j}{j!} k_i \right) , \quad (3.21)$$

que deve ser respeitada para qualquer j entre 1 e m-1.

A relação mostrada em (3.21) é geral, evidenciando que podemos utilizar relações entre capacitores $(\alpha_{\bf i})$ bem como as frequências de comutação das chaves dos integradores $({\bf k_i})$ para ajustar os coeficientes da referência polinomial ${\bf V_R}({\bf t})$ do conversor não-linear. Como caso particular, que facilitarã tanto a análise de erros que faremos adiante, quanto simplificarã a etapa de projeto e reduzirã o custo do conversor, utilizare mos todas as frequências de comutação iguais a ${\bf f_0}$, ou seja, o sistema possuirã um único relógio, o que implica dizer que os coeficientes ${\bf k_i}$ são todos iguais a 1. Assim podemos substituir

(3.21) por uma equação de projeto ainda mais simples:

$$(j+1) \cdot N \cdot A_{j+1} = \frac{v_0}{j!} \cdot \frac{R_m}{R_j} \cdot \left(\frac{j}{j!} \alpha_i \right)$$
(3.22)

Escolhendo previamente o valor da tensão de referência V_0 , e rearrumando (3.22) para isolar os parâmetros de projeto de um único lado, chegamos a uma nova equação de projeto, a saber:

$$\frac{R_{m}}{R_{j}} \cdot \left(\prod_{i=1}^{j} \alpha_{i} \right) = \frac{(j+1)! N. A_{j+1}}{V_{0}} , \qquad (3.23)$$

que deverá ser respeitada para j entre l e m-l, e que, como que ríamos, independente de τ_0 .

Garantida a imunidade ao relógio, podemos encerrar es te îtem resumindo os resultados obtidos. Para obter a linearização com conversão A/D da função polinomial

$$f(X) = A_1 X + A_2 X^2 + ... + A_m . X^m,$$
 (3.24)

tendo X como resultado da conversão, necessitamos utilizar um sinal de referência $V_{\rm R}(t)$ dada por:

$$v_R(t) = a_0 + \sum_{j=1}^{m-1} a_j \cdot t^j$$
, (3.25)

onde:

$$a_{j} = \frac{-N.A_{1}}{a_{j}}$$

$$a_{j} = \frac{(j+1).N.A_{j+1}}{\tau^{j}}$$
(3.26)

O sinal de referência gerado através do circuito mos trado na figura (3.2), assumindo todas as frequências de comutação iguais a frequência do relógio principal, nos fornece como saída:

$$v_{R}(t) = b_{0} + \sum_{j=1}^{m-1} b_{j} t^{j}$$
 (3.27)

onde:

$$\begin{cases} b_0 = \frac{-R_m}{R_0} \cdot V_0 \\ b_j = \frac{-V_0}{j!} \frac{R_m}{R_j} \cdot \frac{\alpha_1 \cdot \alpha_2 \cdot \dots \cdot \alpha_j}{\tau_0^j} \end{cases}$$
(3.28)

Portanto, para realizar corretamente a conversão, temos que obedecer as seguintes relações:

$$\frac{R_{m}}{R_{0}} = \frac{N \cdot A_{1}}{V_{0}} , (a_{0} = b_{0}) , \qquad (3.29)$$

е

$$\frac{R_{m}}{R_{j}} \cdot (\alpha_{1}, \alpha_{2}, \dots, \alpha_{j}) = \frac{(j+1)! N \cdot A_{j+1}}{V_{0}}$$
 (3.30)

3.3. Análise de Erros

Neste item consideraremos apenas as principais fontes de erros causados pela introdução de uma referência variante no tempo a capacitores-chaveados, uma vez que os erros do conversor dupla-rampa propriamente ditos dependem do conversor utilizado. Neste sentido identificamos duas principais fontes de erros. A primeira relacionada com as tensões residuais (offset) dos amplificadores operacionais, a segunda decorrente das aproximações utilizadas para analisar os integradores a capacitores chaveados. Analisaremos estas fontes de erros de modo a avaliar

sua contribuição e indicaremos formas de reduzir seus efeitos.

3.3.1. Tensões Residuais

Os integradores representados na figura 3.2 são construidos com amplificadores operacionais, utilizando o circuito da figura 3.1(a). Chamaremos \mathbf{A}_1 o amplificador utilizado para gerar \mathbf{V}_1 , \mathbf{A}_2 para \mathbf{V}_2 , e assim sucessivamente, sendo \mathbf{A}_{m-1} o amplificador utilizado para gerar \mathbf{V}_{m-1} . Denominaremos \mathbf{V}_{0Sj} a tensão residual (offset) do amplificador \mathbf{A}_j , e avaliaremos a influência de cada tensão residual sobre os sinais \mathbf{V}_1 a \mathbf{V}_{m-1} . Para efeito desta análise, suporemos todos os coeficientes α_j iguais entre si e assumindo o valor típico $\alpha=\mathbf{N}^{-1}$, além de utilizar frequências de comutação iguais a $\tau_0^{-1}=\mathbf{f}_0$. Desta forma, a saída \mathbf{V}_j do jesimo integrador será dada por:

$$v_{j} = f_{0} \cdot \alpha \int_{0}^{t} v_{j-1} \cdot dt = \frac{1}{N \cdot \tau_{0}} \int_{0}^{t} v_{j-1} \cdot dt$$
 (3.31)

Partindo então do 1º integrador, para condições ini ciais nulas, teremos as saídas:

$$V_{1} = f_{0} \cdot \alpha \int (V_{0} + V_{0S1}) \cdot dt = f_{0} \cdot \alpha (V_{0} + V_{0S1}) t (3.32)$$

$$V_{2} = f_{0} \cdot \alpha \int (V_{1} + V_{0S2}) \cdot dt =$$

$$= (f_{0} \cdot \alpha)^{2} (V_{0} + V_{0S1}) \cdot \frac{t^{2}}{2!} + f_{0} \cdot \alpha \cdot V_{0S2} \cdot t;$$

$$\vdots$$

$$V_{j} = (f_{0} \cdot \alpha)^{j} (V_{0} + V_{0S1}) \cdot \frac{t^{j}}{j!} + (f_{0} \cdot \alpha)^{j-1} \cdot V_{0S2} \cdot \frac{t^{j-1}}{(j-1)!} +$$

$$+ \cdots + f_{0} \cdot \alpha \cdot V_{0Sj} \cdot t;$$

UNICAMP BIBLIOTECA CENTRAL

$$v_{m-1} = (f_0.\alpha)^{m-1} (v_0 + v_{0S1}) \cdot \frac{t^{m-1}}{(m-1)!} + \dots + f_0.\alpha \cdot v_{0S(m-1)} \cdot t.$$

A seguir podemos encontrar V_1 a V_{m-1} para a maior du ração do intervalo de integração da referência, que ocorre para $t = N.\tau_0$. Substituindo $\alpha = N^{-1}$ e $f_0 = \tau_0^{-1}$, as expressões em (3.32) ficam, para $t = N.\tau_0$:

Rearrumando a expressão da saída V_{m-1} do último integrador, de modo a comparar as parcelas dependentes de tensões residuais com a parcela de sinal, temos:

$$V_{m-1} = \frac{1}{(m-1)!} \left[V_0 + V_{0S1} + (m-1) V_{0S2} + (m-1) - (m-2) V_{0S3} + \dots + (m-1)! V_{0S(m-1)} \right]$$
(3.34)

Em (3.34) percebemos que a tensão residual do último amplificador, A_{m-1}, aparece multiplicada por (m-1)!, indicando uma forte dependência dos erros residuais com a ordem do polinômio. Podemos ver também de (3.33) que, para manter os mesmos níveis relativos de erro em cada integrador, os requisitos impostos a cada amplificador são tanto maiores quanto maior a ordem do integrador. Apenas como indicação para projeto, para que os erros aumentem de forma aproximadamente linear podemos impor as seguintes restrições:

$$V_{0S1} = V_{0S}; \qquad (3.35)$$

$$V_{0S2} = \frac{V_{0S1}}{(m-1)} = \frac{(m-2)!}{(m-1)!} \cdot V_{0S};$$

$$V_{0S3} = \frac{V_{0S2}}{(m-2)} = \frac{(m-3)!}{(m-1)!} V_{0S};$$

$$V_{0S4} = \frac{V_{0S3}}{(m-3)} = \frac{(m-4)!}{(m-1)!} V_{0S};$$

$$\vdots$$

$$V_{0S(m-1)} = \frac{V_{0S(m-2)}}{2} = \frac{1}{(m-1)!} V_{0S}.$$

Desta forma, a expressão de V_{m-1} , a partir de (3.34), fica:

$$V_{m-1} = \frac{1}{(m-1)!} \left[V_0 + V_{0S} + V_{0S} + \dots + V_{0S} + V_{0S} \right] = \frac{1}{(m-1)!} \left[V_0 + (m-1) V_{0S} \right], \qquad (3.36)$$

o que mostra que as tensões rediduais pesarão (m-1) vezes mais no último integrador com relação ao primeiro. A título de exem plo, suponhamos m=6, ou (m-1) = 5. Usando (3.35) teremos:

$$v_{0s1} = v_{0s}$$
 ; (3.37)

$$v_{0S2} = \frac{v_{0S1}}{5} = \frac{v_{0S}}{5}$$
;

$$v_{0S3} = \frac{v_{0S2}}{4} = \frac{v_{0S}}{20}$$
;

$$v_{0S4} = \frac{v_{0S3}}{3} = \frac{v_{0S}}{60}$$
 ,

$$v_{0S5} = \frac{v_{0S4}}{2} = \frac{v_{0S}}{120} = \frac{v_{0S}}{5!}$$

Utilizando (3.33), os erros relativos podem ser obtidos comparando a parcela dependente de V_{0S} com V_0 , substituindo os valores obtidos em (3.37), que darão:

$$V_{1} = V_{0} + V_{0S} ; \qquad (3.38)$$

$$V_{2} = \frac{1}{2} (V_{0} + \frac{7}{5} \cdot V_{0S}) ;$$

$$V_{3} = \frac{1}{6} (V_{0} + \frac{19}{10} \cdot V_{0S}) ;$$

$$V_{4} = \frac{1}{24} (V_{0} + \frac{42}{15} \cdot V_{0S}) ;$$

$$V_{5} = \frac{1}{120} (V_{0} + 5 \cdot V_{0S}) ;$$

Do exemplo acima, vemos que utilizando $\rm V_{0S5}$ 120 vezes menor que $\rm V_{0S1}$ ainda teremos o erro em $\rm V_5$ cinco vezes maior que

em V₁. Disto concluimos que as tensões rediduais podem ofere cer sérias limitações, dependendo da resolução desejada no conversor. Um fator atenuante para conversores polinomiais é que os termos de ordem elevada do polinômio possuem coeficientes em geral pequenos, portanto com baixo peso na precisão geral do conversor.

3.3.2. Erros de Discretização

O câlculo de $V_R(t)$ necessâria para realizar a conversão de f(X) em X, com f(X) na forma de (3.1) nos forneceu a referência variante da equação (3.3), que repetimos aqui:

$$V_R(t) = a_0 + a_1 t + a_2 t^2 + \dots + a_{m-1} t^{m-1}$$
 (3.39)

Para conservar a <u>imunidade ao relógio</u> utilizamos integrador a capacitores chaveados para gerar as componentes do polinó mio acima, utilizando como bloco básico o integrador mostrado na figura 3.1(a), onde as chaves analógicas são comutadas a cada T segundos. Supondo que a frequência de comutação das chaves fosse suficientemente elevada, calculamos as expressões para as componentes V₁ a V_{m-1} (figura 3.2) como funções continuas no tempo. Assim, obtivemos os termos em t, t², ..., t^{m-1} que, ponderados adequadamente e somados através do amplificador A_m, compõe a tensão de referência polinomial, como em (3.39).

Na verdade, cada componente V_i , com excessão de V_0 , é uma função discreta, assumindo valores constantes em intervalos kT < t < (k+1)T, onde $k = 0,1,2,\ldots$ é o número de comutações o corridas a partir de t = 0. Deste modo, por exemplo, a rampa em V_1 serã na realidade uma função escada.

É fácil mostrar (|16|,|20|,|21|) que as componentes final mente obtidas em $V_R(t)$ são funções discretas no tempo do seguin te tipo:

```
a_{1}.kT;

a_{2}.k(k-1).T^{2};

a_{3}.k.(k-1).(k-2).T^{3};

a_{1}.k(k-1)(k-2)...(k-i+1).T^{i};

a_{m-1}.k(k-1)(k-2)...(k-m+2).T^{m-1};
```

que devem ser comparadas com as parcelas correspondentes de (3.39), que para t = kT valerão:

Vemos que para k elevado os valores mostrados em (3.40) se aproximam dos valores ideais de (3.41), o que justifica a afirmação de que para frequências altas de comutação (3.39) constitui uma boa aproximação.

Para avaliar a diferença entre a referência desejada

 $V_R(t)$ (contínua) e a referência discreta que obtemos pelo uso de circuitos chaveados, temos que considerar ainda que o sinal de referência será integrado, no processo de conversão "dupla rampa", atravês de um integrador convencional. Compararemos portanto os resultados da integração de $V_R(t)$, nos dois casos, examinando isoladamente os erros em cada componente a saber, t, t^2 , t^3 , etc. Por simplicidade, suporemos o período T=1, de modo que tanto t quanto k assumirão os valores $0,1,2,\ldots$ 0 câl culo das integrais das parcelas da referência contínua é imedia to, e de (3.39) podemos obter:

$$a_{0} \longrightarrow a_{0}t$$

$$a_{1}t \longrightarrow a_{1} \frac{t^{2}}{2}$$

$$a_{2}t^{2} \longrightarrow a_{2} \frac{t^{3}}{3}$$

$$\vdots$$

$$a_{i}t^{i} \longrightarrow a_{i} \frac{t^{i+1}}{i+1}$$

$$a_{m-1}t^{m-1} \longrightarrow a_{m-1} \frac{t^{m}}{m}$$

$$(3.42)$$

Por outro lado, a integração, através de um integrador convencional, das parcelas mostradas em (3.40), fornece um sinal contínuo que não pode ser descrito através de expressões simples. O artifício utilizado neste caso é apresentar os valores que assumem as integrais em instantes múltiplos de T, ou se ja, obter as funções discretas equivalentes. Fazendo estes cálçulos obteremos:

$$a_0 \xrightarrow{a_0 k} a_0 k ; k \ge 0$$

$$a_1 k \xrightarrow{a_1} \frac{k(k-1)}{2} ; k \ge 1$$
(3.43)

$$a_{2}^{k(k-1)} \xrightarrow{a_{2} \frac{k(k-1)(k-2)}{3}}; \quad k \geq 2$$

$$\vdots$$

$$a_{i}^{k(k-1)} \cdot \cdot \cdot \cdot (k-i+1) \xrightarrow{a_{i}} \frac{k(k-1) \cdot \cdot \cdot \cdot (k-i)}{i+1}; \quad K \geq i$$

$$\vdots$$

$$a_{m-1}^{k(k-1)} \cdot \cdot \cdot \cdot (k-m+2) \xrightarrow{a_{m-1}} \frac{k(k-1) \cdot \cdot \cdot \cdot (k-m+1)}{k-m+1}$$

Temos agora que comparar cada termo obtido em (3.43) com seu correspondente em (3.42), calculado fazendo t = k. Faremos isto explicitando a razão entre o caso real e o caso ideal para cada componente, ou seja, i=0,1,2, etc.

$$i = 0:$$
 $\frac{a_0^k}{a_0^k} = 1 ; k \ge 0$ (3.44)

$$\frac{a_1^{k(k-1)}}{a_1^{k^2}} = 1 - \frac{1}{k}; \quad k \ge 1$$
 (3.45)

$$\frac{a_2^{k(k-1)(k-2)}}{a_2^{k^3}} = 1 - \frac{3}{k} + \frac{2}{k^2} ; \quad k \ge 2$$
(3.46)

$$i = j$$
: $\frac{k(k-1)...(k-j)}{k^{j+1}} = \frac{(k-1)...(k-j)}{k^{j}}$; $k \ge j$ (3.47)

$$i = m-1:$$

$$\frac{k(k-1)...(k-m+1)}{k^m} = \frac{(k-1)(k-2)...(k-m+1)}{k^{m-1}};$$

$$k \geqslant m-1$$
 (3.48)

A partir das expressões (3.44) a (3.48) podemos computar os erros causados pela discretização da referência varian te no tempo. Lembrando que utilizamos a frequência de comutação das chaves igual a frequência $f_0 (=1/\tau_0)$ do relógio princi

pal do conversor, cada comutação equivale a uma contagem do contador principal, e portanto do resultado X da conversão. Pode mos portanto expressar os erros em função da variável X, fazen do k = X nas expressões (3.44) a (3.48). Como exemplo, avaliaremos os erros na geração da referência para um conversor com m = 5, 1 = 0,1,2,3,4.

$$i = 0$$
: erro nulo (3.49)

$$i = 1:$$
 erro = $-\frac{1}{x}$; $x \ge 1$ (3.50)

$$i = 2$$
; erro = $-\frac{3}{x} + \frac{2}{x^2}$; $x \ge 2$ (3.51)

i = 3:
$$erro = -\frac{6}{x} + \frac{11}{x^2} - \frac{6}{x^3}$$
; $x \ge 3$ (3.52)

1 = 4: erro =
$$-\frac{10}{x} + \frac{35}{x^2} - \frac{50}{x^3} + \frac{24}{x^4}$$
;

$$X \ge 4$$
 (3.53)

Vemos que os erros na geração da referência decaem com X. Se o conversor do exemplo possuir fundo de escala de 2000 contagens (3 1/2 dígitos), podemos por exemplo avaliar os erros nas componentes da referência para 5% do fundo de escala (FE), o que equivale a X = 100. De (3.49) a (3.53) teremos en tão, em termos porcentuais, os seguintes erros:

$$i = 1$$
: erro = -1%

$$i = 2$$
: erro = -2,98% (3.54)

$$i = 3$$
: erro = -6,11%

$$i = 4$$
: erro = -10,35%

Para maiores valores de X estes erros decaem rapida

mente, de acordo com as expressões (3.48) a (3.53). Cabe tam bém lembrar que os erros calculados são para as componentes da referência variante no tempo, cujo peso na conversão depende da função específica que se vai converter. O que podemos desde lo go concluir dos cálculos realizados e do exemplo acima é que as componentes de ordem mais elevada apresentam maiores desvios com relação ao caso ideal, onde o polinômio referência é continuo.

No próximo capítulo, relataremos a verificação exper<u>i</u> mental da técnica de conversão não-linear para um conversor-linearizador para funções polinomiais de terceiro grau.

CAPÍTULO IV

PROJETO E CONSTRUÇÃO DE CONVERSOR NÃO LINEAR

Introdução

A partir da técnica de conversão não linear desenvolvida foi projetado e construído um conversor linearizador para funções polinomiais de terceiro grau. O conversor construído possui resolução de uma parte em duas mil (3 1/2 dígitos) e sen sibilidade de um milivolt, e foi projetado de modo a permitir a conversão com linearização simultânea de uma grande quantidade de funções polinomiais de terceira ordem, a partir do ajuste das componentes da referência variante. Conhecida a função a converter, um método simples de calibração utilizando o próprio conversor, permite ajustar os parâmetros da referências varian te no tempo, utilizando apenas uma fonte de referência DC, como se faz para conversores lineares. São apresentadas medidas rea lizadas para algumas funções, escolhidas de modo a avaliar o de sempenho do conversor para várias aplicações.

4.1. Parâmetros Iniciais e Escolha da Função a Linearizar

As funções a serem linearizadas pelo conversor serão do tipo:

$$V_E(x) = A_1 x + A_2 x^2 + A_3 x^3$$
 (4.1)

que, para fornecer X como resultado da conversão, deverão utilizar, a partir das equações (3,25) e (3,26), a seguinte referência variante no tempo:

$$V_R(t) = a_0 + a_1 t + a_2 t^2,$$
 (4.2)

onde:

$$a_0 = -N.A_1$$
;

$$a_1 = \frac{-2.N.A_2}{\tau_0} , \qquad (4.3)$$

$$a_2 = \frac{-3.N.A_3}{T_0^2}$$

N = 2000 (fundo de escala do conversor),

 τ_0 = período do relógio principal.

Utilizando para geração da referência um circuito se melhante ao da figura (3.2), com dois integradores chaveados em cascata, teremos componentes V_0 (constante), V_1 (proporcional a t) e V_2 (proporcional a t²) que, através de um somador inversor comporão V_R (t). A referência gerada serã então, como nas equações (3.27) e (3.28):

$$V_R(t) = b_0 + b_1 t + b_2 t^2$$
, (4.4)

onde:

$$b_0 = \frac{-R_3}{R_0}, V_0$$

$$b_1 = \frac{-R_3}{R_1} \cdot V_0 \cdot \frac{\alpha_1}{\tau_0} , \qquad (4.5)$$

$$b_2 = \frac{-R_3}{R_2} \cdot \frac{V_0}{2} \cdot \frac{\alpha_1 \cdot \alpha_2}{\tau_0^2}$$

Das equações de projeto (3.29) e (3.30) teremos que escolher os parâmetros do conversor de modo que:

$$\frac{R_3}{R_0} = \frac{N \cdot A_1}{V_0} \quad ;$$

$$\frac{R_3}{R_1} = \frac{2.N.A_2}{\alpha_1.V_0} , \qquad (4.6)$$

$$\frac{R_3}{R_2} = \frac{6.N.A_3}{\alpha_1.\alpha_2.V_0} .$$

Antes de tratar das funções que servirão para testar o conversor, convém definir alguns parâmetros que facilitem o projeto e minimizem os erros. Observando que a referência $V_R(t)$ mostrada em (4.4) pode ser expressa como a soma ponderada de V_0 , V_1 e V_2 , onde:

$$V_{1} = \alpha_{1} \cdot V_{0} \cdot \frac{t}{\tau_{0}},$$

$$V_{2} = \alpha_{1} \cdot \alpha_{2} \cdot \frac{V_{0}}{2}, \left(\frac{t}{\tau_{0}}\right)^{2}$$

$$(4.7)$$

podemos maximizar as amplitudes destas componentes para reduzir a influência das tensões residuais discutidas no capítulo anterior. Assim, para $t_{Max} = N.\tau_0$ temos, de (4.7):

$$V_0 = constante$$

$$V_{1_{Max}} = \alpha_1 \cdot V_0 \cdot N \qquad (4.8)$$

$$v_{2_{\text{Māx}}} = \alpha_{1}, \alpha_{2}, \frac{v_{0}}{2}, N^{2}$$

Como N = 2.000, escolhendo v_0 = 1,000 Volts e as relações entre capacitores α_1 = α_2 = 10^{-3} , teremos:

$$V_0 = 1,000 \text{ Volts,}$$
 (4.9)
 $V_{1_{Max}} = 2,000 \text{ Volts,}$
 $V_{2_{Max}} = 2,000 \text{ Volts,}$

que são valores suficientemente grandes.

Substituindo os valores α_1,α_2 , N e V_0 nas relações de projeto em (4.6) teremos finalmente:

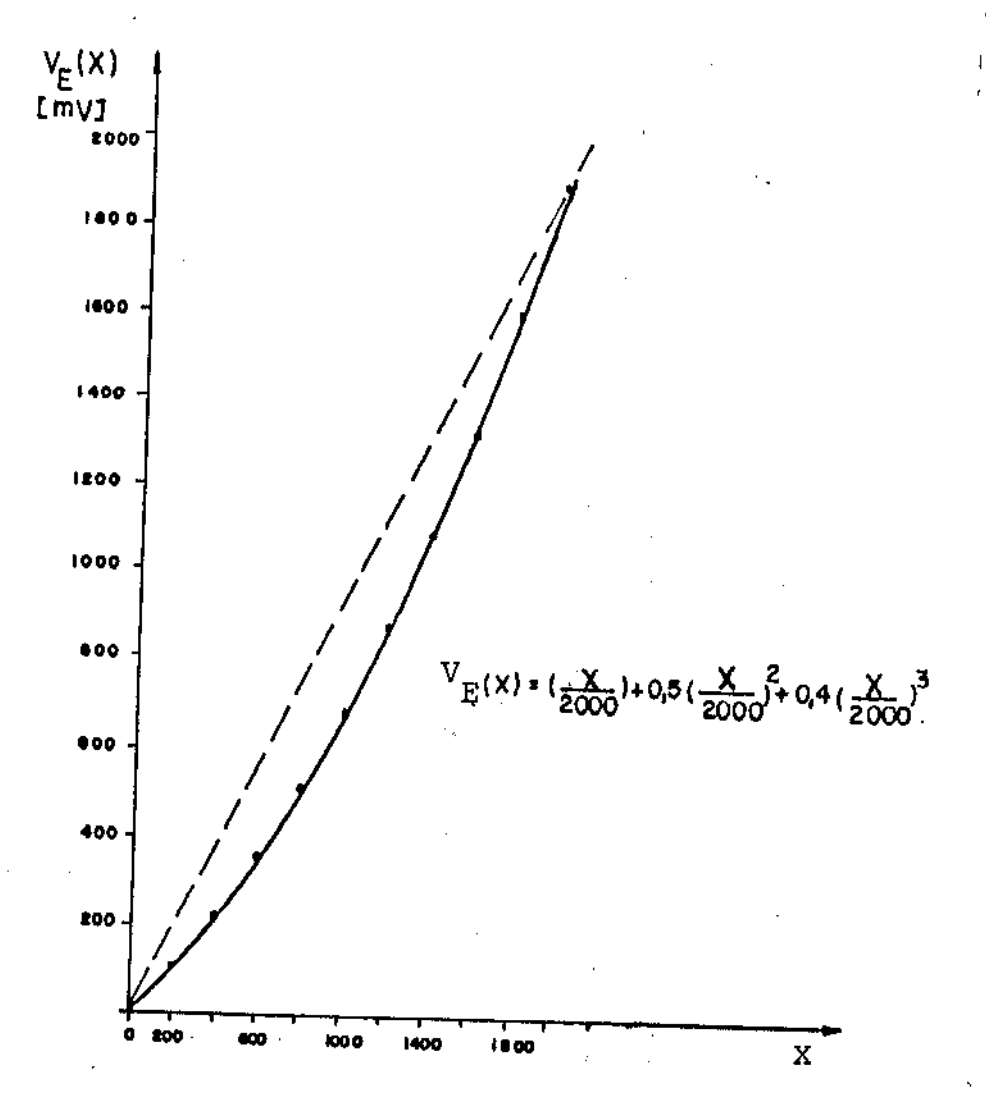
$$\frac{R_3}{R_0} = 2.10^3.A_1 ,$$

$$\frac{R_3}{R_1} = 4.10^6 . A_2 , \qquad (4.10)$$

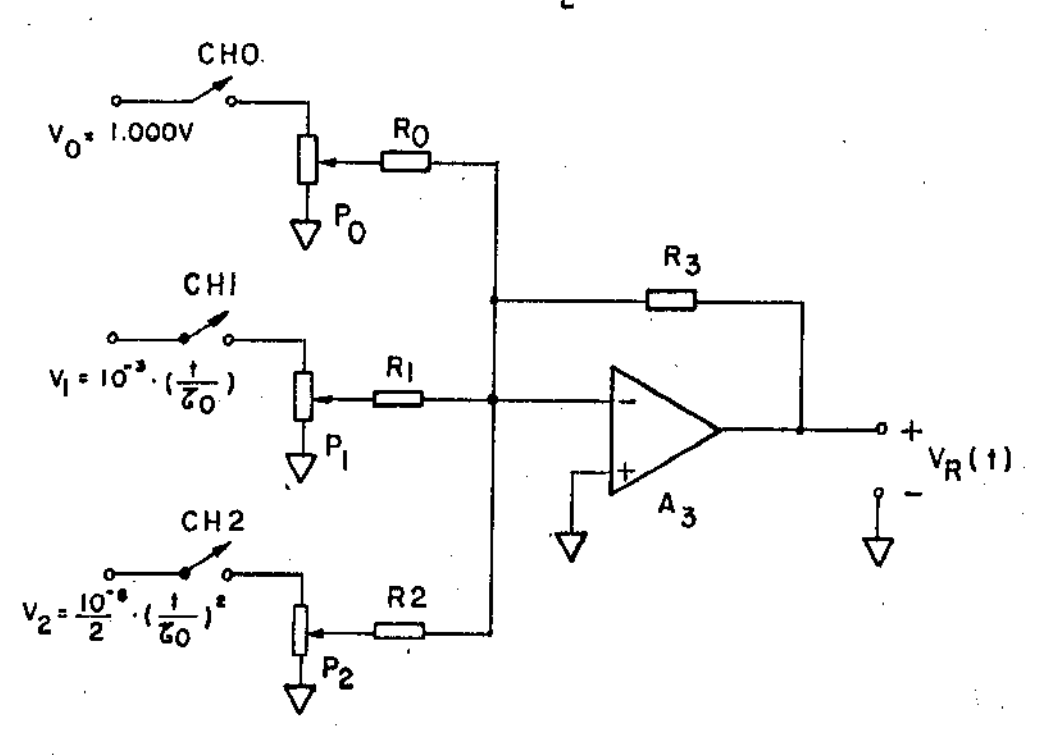
$$\frac{R_3}{R_2} = 1,2.10^{10}.A_3$$

Para observar com mais nitidez o efeito da conversão não linear, escolheremos A_1 , A_2 e A_3 de modo que as componentes em X, x^2 e x^3 da função a linearizar tenham pesos relativos da mesma ordem de grandeza. Assim, utilizaremos a seguinte função, cujo gráfico é mostrado na figura 4.1(a).

į



(a) Gráfico de $V_{E}(X)$.



(b) Circuito para ponderação de V_0 , V_1 e V_2 .

Figura 4.1.

$$V_{E}(X) = (\frac{X}{2000}) + 0.5 (\frac{X}{2000})^{2} + 0.4 (\frac{X}{2000})^{3}$$
, 4.11)

o que equivale a escolher:

$$A_1 = 5.10^{-4}$$
,
 $A_2 = 1,25.10^{-7}$,
 $A_3 = 5.10^{-11}$,
$$A_4 = 5.10^{-11}$$
,

que implica em ter $V_E(0) = 0$ e $V_E(2000) = 1,900$ Volts.

Substituindo os valores de A_1 , A_2 e A_3 nas relações (4.10) obtemos finalmente as relações entre os resistores R_0 a R_3 , que determinarão a ponderação das parcelas V_0 , V_1 e V_2 de V_R (t), a saber:

$$\frac{R_3}{R_0} = 1,000 \therefore R_0 = R_3$$

$$\frac{R_3}{R_1} = 0.5 \therefore R_1 = 2R_3$$

$$\frac{R_3}{R_2} = 0.6 \therefore R_2 = 1.666R_3$$
(4.13)

Utilizando o circuito mostrado na figura 4.1(b) pode remos testar o conversor para outras funções, além de possibilitar, como veremos a seguir, uma rotina de ajuste muito simples, que pode ser utilizada para qualquer função a ser convertida. Como a referência é composta de três componentes, o ajuste será realizado em três etapas.

a) Na figura 4.1(b), se apenas a chave CHO estiver ligada, pode mos realizar a conversão da função:

$$V_{E}(X) = \frac{X}{2000}$$
 : $V_{E}(2000) = 1,000V$

Depois de realizar os ajustes de zero, aplicamos $V_{\rm E}$ = 1,000V e ajustamos a componente $V_{\rm 0}$ para obter a leitura X = 2000 no "display" do conversor.

b) Com CHO e CH1 ligadas, ajustamos a componente em V₁ para obter a conversão correta de:

$$V_{E}(x) = (\frac{x}{2000}) + 0.5 (\frac{x}{2000})^{2}$$

o que pode ser feito aplicando $V_E = 1,500 \text{ V}$ e ajustando P_1 até obter X = 2000 como saída.

c) Finalmente, com as três chaves ligadas, fazemos o ajuste do conversor para a função completa:

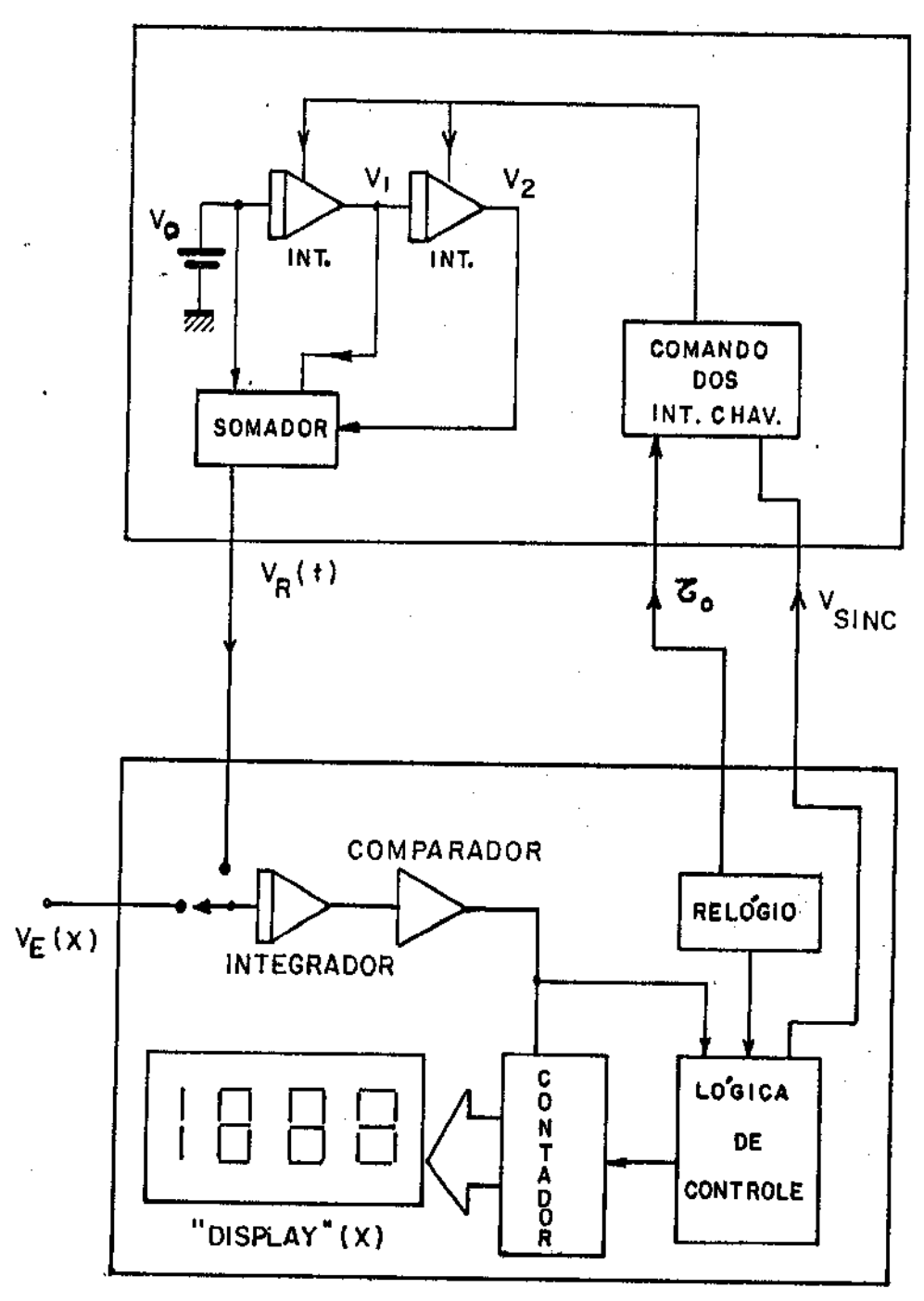
$$V_{E}(X) = (\frac{X}{2000}) + 0.5 (\frac{X}{2000})^{2} + 0.4 (\frac{X}{2000})^{3}$$

aplicando $V_E = 1,900 \text{ V}$ e ajustando desta vez P_2 até obter a le<u>i</u>tura X = 2000, correspondente ao fundo de escala.

Como pode ser observado, o tipo de montagem permite calibrar as componentes em x, x² e x³ independentemente, medir os erros e compará-los com a avaliação realizada no capítulo 3.

Feitas estas considerações iniciais sobre a escolha inicial de parâmetros e o método de calibração, examinaremos a seguir os circuitos que comporão as partes principais do conver sor não linear, que são o Conversor Dupla-Rampa e a Referência Variante no Tempo. Estas partes foram montadas em placas de circuito impresso separadas de modo que, substituindo a placa da referência, podemos realizar conversões não lineares de ou tros tipos de funções. Na figura 4.2 vemos um diagrama ilustra tivo da interconexão das duas placas, onde é mostrado também

REFERÊNCIA VARIANTE



CONVERSOR DUPLA-RAMPA

Figura 4.2 - Diagrama do conversor não linear.

o fluxo de sinais no interior de cada placa.

4.2. O Conversor Dupla-Rampa

Como elemento básico para construir o conversor não linear utilizamos um circuito comercial que reúne em um único "chip" as partes analógicas e digitais de um conversor duplarampa de 3 1/2 dígitos, em tecnologia CMOS.

Os dados de fabricante do conversor ICL7107 (Intersi1) estão mostrados no Apêndice B |18,19|, de modo que mencionaremos aqui apenas seu fucionamento básico e a forma não convencio nal como foi utilizado. Este conversor possui um ciclo de conversão composto de três fases, que podem ser descritas com aju da da figura 4.3, e que são as seguintes:

- 1. Fase de auto-zero (A/Z);
- 2. Fase de integração do sinal (INT);
- 3. Fase de integração da referência (DE).

As chaves analógicas mostradas na figura são considera das fechadas nas fases indicadas ao lado de cada chave. Os sinais (+) e (-) se referem à polaridade do sinal de entrada a ser convertido.

1. Fase de Auto-Zero (A/Z)

Esta fase é destinada a compensar efeitos de tensões residuais do integrador e do comparador. Para isto, as entradas são desconectadas dos pinos 30 a 31 ($V_E(+)$ e $V_E(-)$) e ligadas em curto, através das chaves (1) e (2), ao COMUM. A chave (5) estabelece uma realimentação para a entrada do integrador, de modo que a carga armazenada no capacitor $C_{\rm AZ}$ compensa as tensões residuais, preparando o conversor para as fases de conversão propriamente ditas.

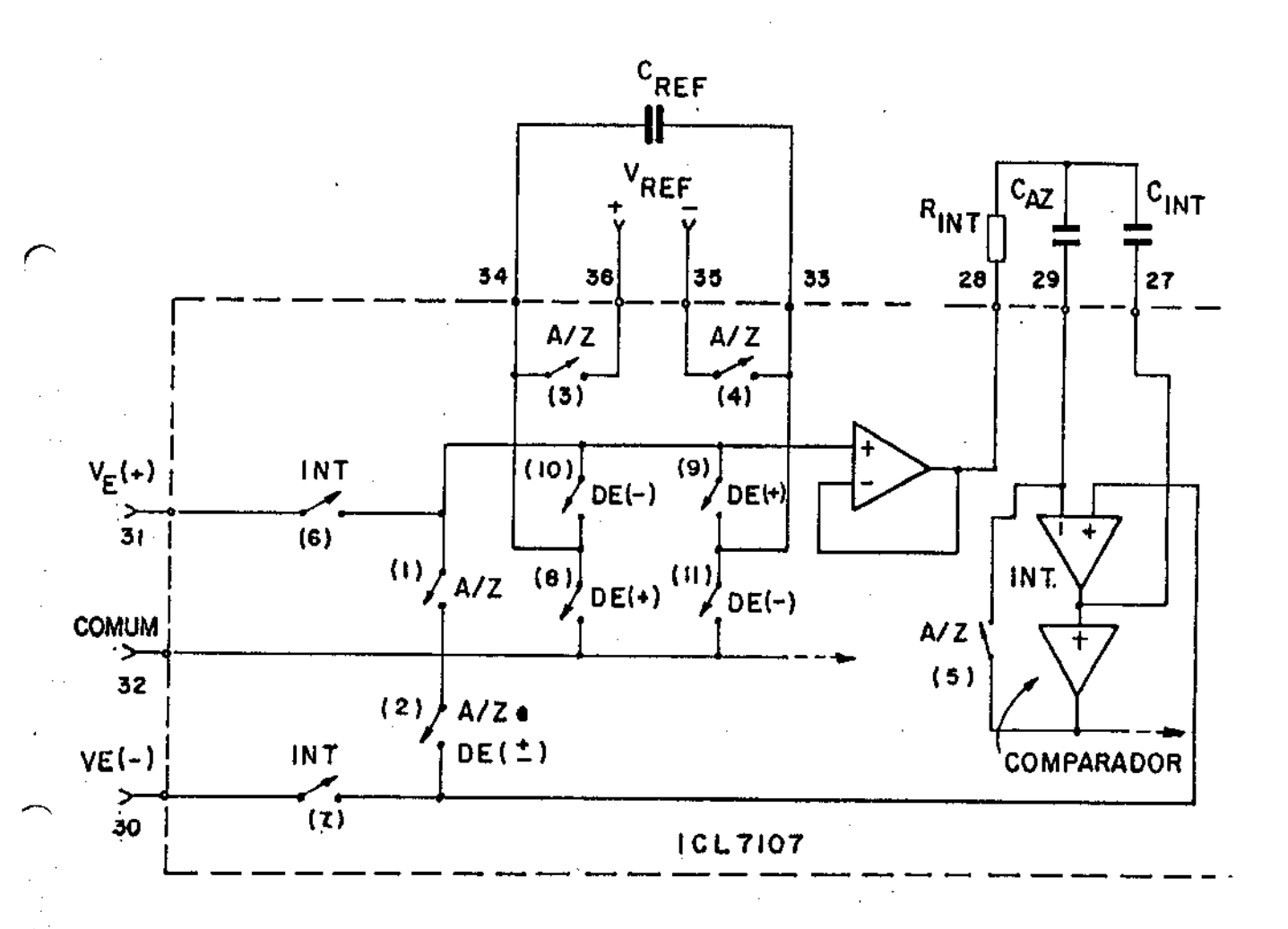


Figura 4.3 - Diagrama simplificado da entrada do conversor ICL7101.

Também durante a fase de Auto-Zero, as chaves (3) e (4) carregam um capacitor externo C_{REF} , com a tensão de referência V_{REF} , que na fase de integração da referência (DE) será ligada com a polaridade adequada à entrada do integrador. No caso do conversor não linear o capacitor C_{REF} não foi utilizado, e a referência variante V_{R} (t) foi aplicada diretamente ao pino (33), como veremos adiante.

2. Fase de Integração do Sinal (INT)

Durante a integração do sinal, a malha de auto-zero é desfeita e as entradas internas são ligadas aos pinos externos 30 e 31. O conversor integra então a tensão diferencial $\begin{bmatrix} V_{\rm E}(+) - V_{\rm E}(-) \end{bmatrix}$ por um tempo fixo, após o qual será ligada a referência. Nesta fase apenas as chaves (6) e (7) são fechadas.

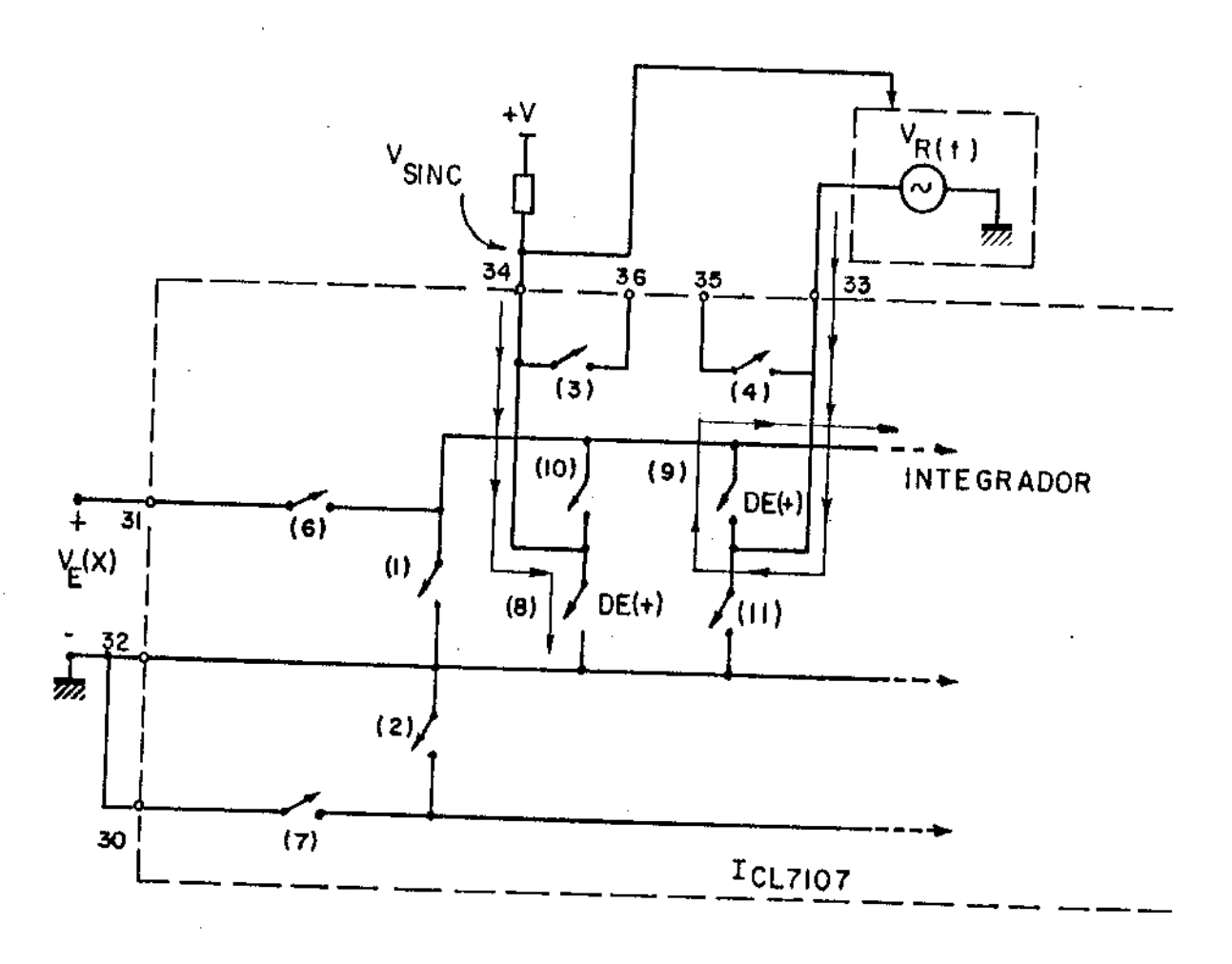
3. Fase de Integração da Referência (DE)

A polaridade da saída do comparador permite indentificar se o sinal integrado era positivo ou negativo. No primeiro caso as chaves indicadas com DE(+) (8 e 9) são fechadas, caso contrário a referência é conectada através das chaves assinaladas com DE(-) (chaves 10 e 11). Desta forma o integrador se "descarrega" na direção adequada e, no cruzamento de zero, o conteúdo de um contador será o resultado da conversão.

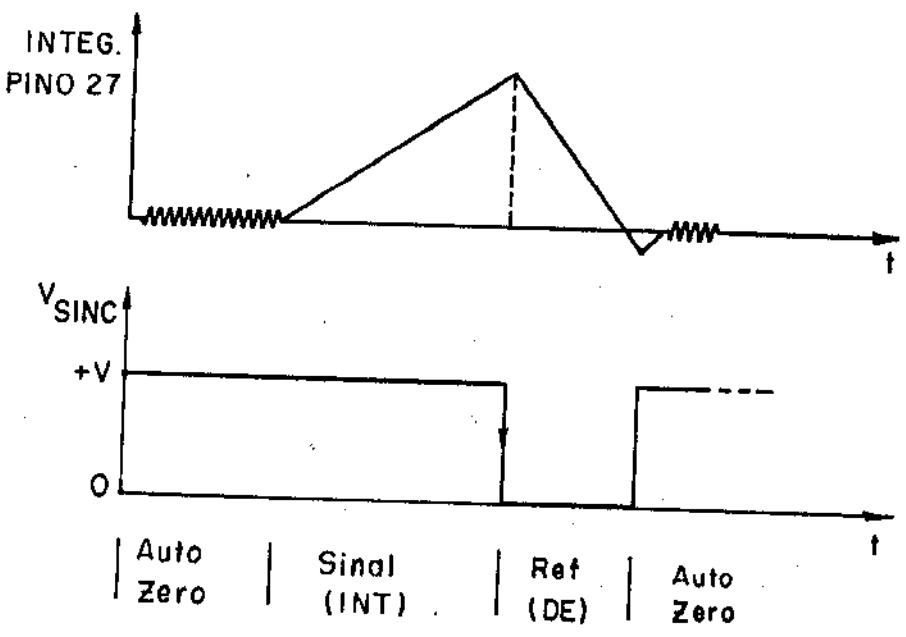
Utilização do 7107 no Conversor Não Linear

No nosso caso, além da referência de tensão ser varian te no tempo, o que impediria a carga prévia de $C_{\rm REF}$, esta referência precisa ser ligada exatamente no início da fase 3 descrita acima (neste momento, as chaves analógicas que mantém nulas as saídas dos integradores chaveados tem que ser abertas, permitindo a variação no tempo das componentes de $V_{\rm R}(t)$). Como utilizaremos sinais positivos na entrada do conversor, e como $C_{\rm REF}$ será retirado; as chaves analógicas "DE (-)" não serão ativadas, e as chaves "DE(+)" serão utilizadas de acordo com o arti

fício mostrado na figura 4.4(a). O sinal de referência $V_R(t)$ será aplicado diretamente ao terminal 33 e portanto, quando a chave (9) fechar, à entrada do integrador. A chave (8), acessa da através do terminal 34, fará com que a tensão neste pino caia a zero no início da fase 3, gerando o sinal $(V_{\rm SINC})$ de controle que necessitamos. O diagrama da figura 4.4(b) indica este funcionamento, mostrando que o sinal de sincronismo se mantém bai xo durante a fase em que a referência $V_R(t)$ deve ser ligada à entrado do integrador.



(a) Modificação na utilização do ICL7L07 para aplicação ao conversor não linear.



(b) Diagrama ilustrativo do sinal de sincronismo.

Figura 4.4 - Conversor 7207 utilizado no conversor não linear - modificação na entrada.

4.3. Circuitos do Conversor Não-Linear

Como descrevemos anteriormente, o conversor não-linear foi montado em duas placas impressas, uma para o conversor
dupla-rampa e outra para a referência variante no tempo, interligadas como mostra o diagrama da figura 4.2. Os circuitos uti
lizados para realizar estes dois blocos serão apresentados a
seguir, sendo que descreveremos o funcionamento apenas das par
tes essenciais ao entendimento do conversor como um todo.

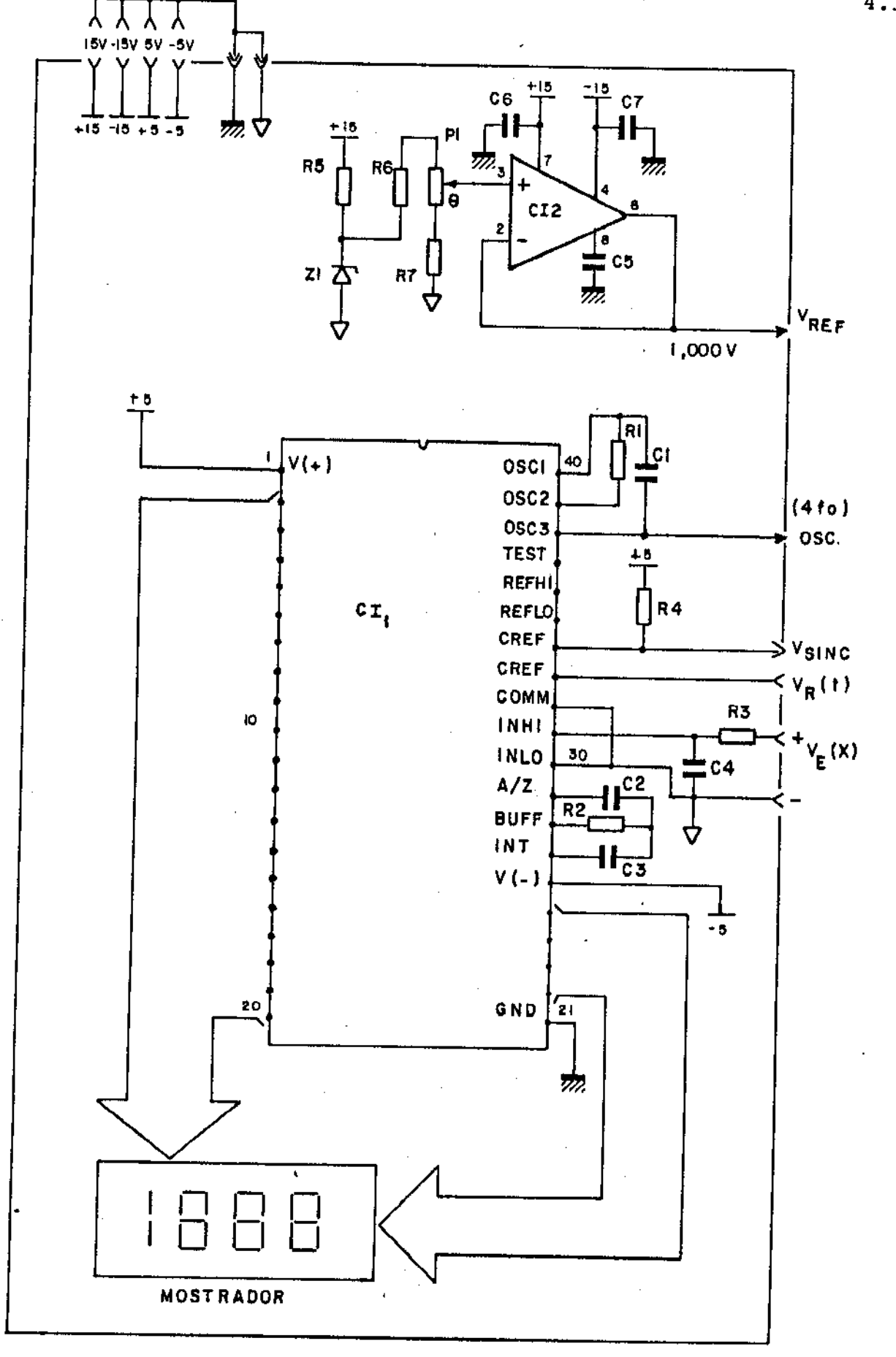
Conversor Dupla-Rampa

A figura 4.5 mostra o circuito completo utilizado, que fornece como sinais de saída uma tensão de referência constante (V_{REF}) igual a 1,000 volts, o sinal de sincronismo V_{SINC} descrito no ítem anterior, e o sinal de relógio (OSC) para comandar as chaves dos integradores chaveados. Este último sinal é gerado numa frequência quatro vezes maior que a do relógio principal, motivo pelo qual utilizamos a notação $4f_0$ para identificar sua frequência. Com os valores de R_1 e C_1 escolhidos teremos $4f_0$ = 48 KHz, o que equivale a f_0 = 12 KHz, ou ainda cerca de três conversões por segundo (ver apêncide B).

Como entradas vemos ainda na figura 4.5 o sinal a ser convertido $V_E(X)$ e a referência variante no tempo $V_R(t)$. O mos trador utiliza dígitos luminosos e indicará o resultado da conversão de $V_E(X)$ em X. O sinal de entrada é filtrado através de R_3 e C_4 e conectado às entradas INHI e INLO do conversor, es ta última ligada ao comum. Os componentes R_2 e C_3 determinam a constante de tempo do integrador interno, e o capacitor C_2 é usado na etapa de auto-zero já mencionada. Foram utilizados valores típicos, escolhidos de acordo com sugestão do fabricante (Apêndice B).

Referência Variante no Tempo

A geração de V_R (t) é feita através do circuito da figu



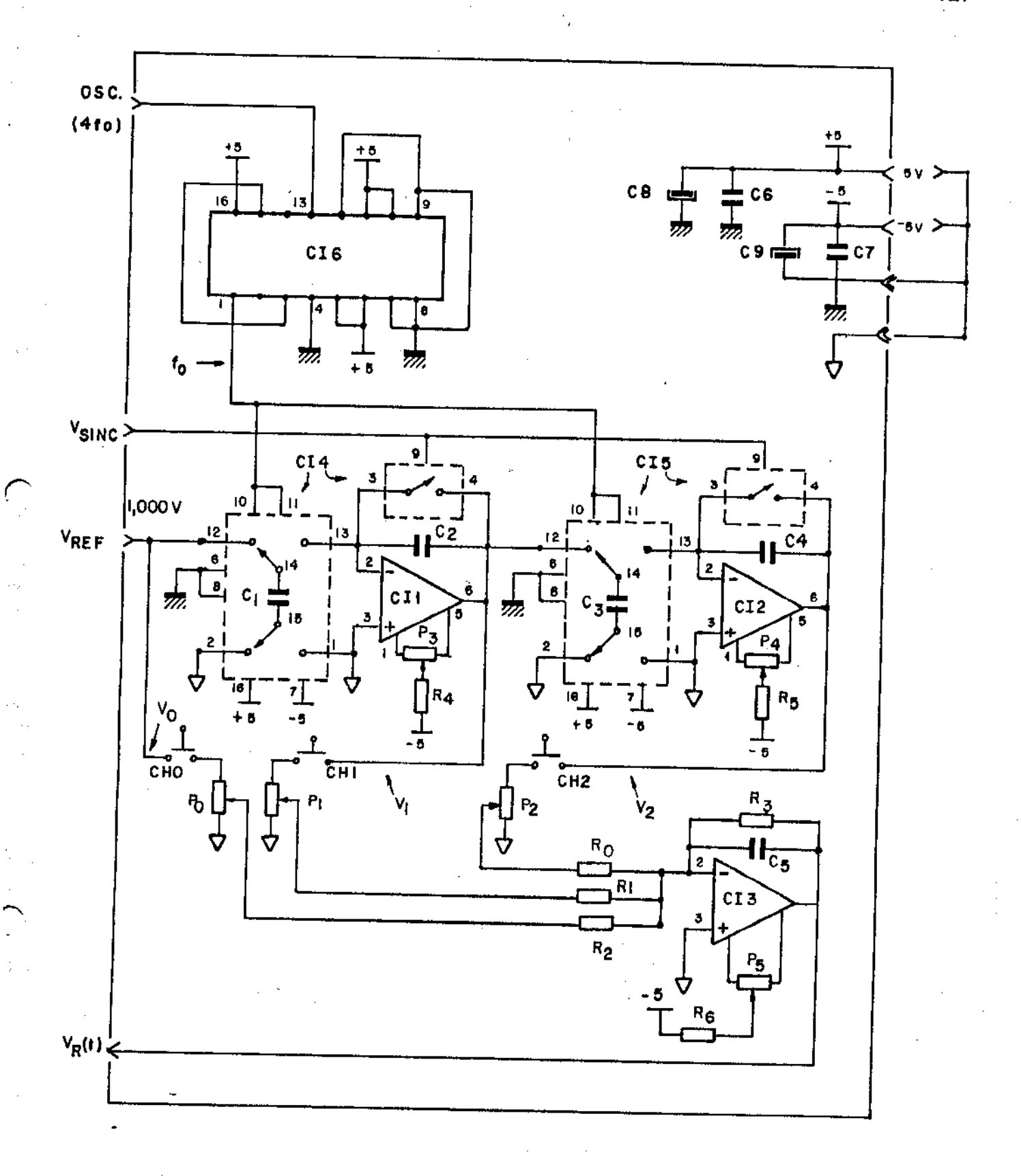
```
R_1 = 100K; 5%, R_2 = 470K, 5%; R_3 = 1M, 5%; R_4 = 100K, 5% R_5 = 1K2, 1%, M.F.; R_6 = 7K5, 1%, M.F; R_7 = 1K, 1%, M.F.; C_1 = 100 pF, 5%; C_2 = 470K, Pol.; C_3 = 100K, Pol.; C_4 = 100K, Pol; C_5 = 100 pF; C_6 = C_7 = 0, 1\mu, CER.; Z_1 = 1N825, 6V2; P_1 = 1K, 10V, CI1 = ICL7107; CI2 = LM308AH.
```

Figura 4.5 - Circuito do Conversor Dupla-Rampa

ra 4.6. Os integradores chaveados são sintetizados de acordo com o princípio descrito no ítem 3.2. O primeiro integrador é formado por CI1, C_1, C_2 e as chaves analógicas de CI4. As duas chaves de CI4 ligadas a C_1 realizam o chaveamento propriamente dito do integrador, sendo comandadas pelo sinal de relógio na frequência f_0 , obtido da divisão por quatro do sinal do oscila dor (OSC). A chave ligada aos terminais de C_2 (pinos 3 e 4 de CI4) é ativada pelo sinal de sincronismo $V_{\rm SINC}$ e, como já disse mos, curto-circuita C_2 até que se inicie a integração da refe rência, momento em que esta chave é aberta. A saída de CI1, que é um amplificador operacional construído com tecnologia BIMOS (CA3140), teremos o sinal $V_{\rm REF}$ integrado, gerando portan to a componente em rampa, ou ainda o sinal V_1 da figura 4.1.

Como podemos observar com facilidade, os circuitos as sociados a ${\rm CI}_2$ funcionam como integrador chaveado idêntico ao anterior, gerando a componente ${\rm V}_2$ (quadrática). Como já havía mos descrito com ajuda da figura 4.1, estes sinais ${\rm V}_0$, ${\rm V}_1$ e ${\rm V}_2$ são ligados através das chaves ${\rm CH}_0$, ${\rm CH}_1$, ${\rm CH}_2$ ao circuito soma dor formado por ${\rm CI}_3$ e resistores ${\rm R}_0$ a ${\rm R}_4$. Estas chaves (manu ais) permitem a ligação e o ajuste da ponderação de cada componente por vez, através do posicionamento adequado dos cursores de ${\rm P}_0$, ${\rm P}_1$ ou ${\rm P}_2$.

Uma das etapas de calibração do instrumento consiste em anular os efeitos das tensões residuais dos amplificadores o peracionais, o que é feito através dos potenciômetros de ajuste P_3 , P_4 e P_5 . Foram omitidos do desenho do circuito dois resistores que servem para injetar nas entradas inversoras de CI_1 e CI_2 (terras virtuais) pequenas correntes de compensação das correntes de fuga das chaves analógicas, que se apresenta ram mais elevadas que o esperado. O circuito de saída portanto, formado por CI_3 , soma de acordo com a ponderação desejada as componentes em t^0 , t^1 e t^2 , compondo assim a referência de tensão variante no tempo $V_R(t)$ (parabólica) que será utilizada na conversão. O capacitor C_5 que vemos em paralelo com o resistor de realimentação R_3 serve para filtrar as componentes de alta



 $R_0 = 47K$, 5%; $R_1 = 100K$, 5%; $R_2 = 100K$, 5%; $R_3 = 47K$, 5%; $R_4 = R_5 = R_6 = 4K7$, 5%; $P_0 = P_1 = P_2 = 10K$, 10 voltas; $P_3 = P_4 = P_5 = 10K$, 10 voltas; $C_1 = C_3 = 100$ pF, mica, 5%; $C_2 = C_4 = 100K$, pol.; $C_5 = 100K$, pol; $C_1 = C_2 = C_3 = C_3 = C_3 = C_4 = C_5 = C_4 = C_5 = C_5 = C_6 = C_$

- Figura 4.6 - Circuito da referência variante.

frequência presentes em $\mathbf{V_R}(\mathbf{t})$, assim como que "suavizando" o sinal de referência que é, na realidade, uma "escada" com degraus muito pequenos.

No próximo ítem, e encerrando este capítulo de aplicação prática do conversor não-linear desenvolvido, apresentamos as medidas realizadas com o equipamento construído.

to, modificamos em 20% o valor de R_1 , usando portanto um resistor de 120 $K\Omega$, durante as medidas realizadas para conversão do polinômio de grau 3. Não foi detetada nenhuma modificação nos resultados, com relação aos mostrados na tabela III.

Folha de Medidas - Conversão $V_E(X) \rightarrow X$

Função: $V_E(X) = \frac{X}{2000}$

Ponto de Calibração: $V_E = 900,0$; X = 1800

$V_{\underline{E}} \mid mV \mid$	X(teórico)	X(medido)	Desvio (%)	
0	0	0	0,0	
100,0	200	200	0,0	
200,0	400	400	0,0	
300,0	600	600	0,0	
400,0	800	799	-0,12	
500,0	1000	999	-0,10	
600,0	1200	1200	0,0	
700,0	1400	1400	0,0	
800,0	1600	1600	0,0	
900,0	1800	1800	0,0	
1000,0	2000	2000 (-)	0,0	

Folha de Medidas - Conversão $V_E(X) \rightarrow X$

Função:
$$V_E(X) = \frac{X}{2000} + 0.5 \left(\frac{X}{2000}\right)^2$$

Ponto de Calibração: $V_E(X) = 1305,0 \text{ mV}; X = 1800$

$V_{\rm E} \mid mV \mid$	X(teórico)	X(medido)	Desvio (%)		
0	0	0	0,0		
105,0	200	202	+1,0		
220,0	400	404	+1,0		
345,0	600	605	+0,83		
480,0	800	805	+0,62		
625,0	1000	1005	+0,50		
780,0	1200	1204	+0,33		
945,0	1400	1403	+0,21		
1120,0	1600	1602	+0,12		
1305,0	1800	1800	0,0		
1500,0	2000	2000 (-)	0,0		

TABELA II

Folha de Medidas - Conversão $V_E(X) \rightarrow X$

Função:
$$V_E(X) = \frac{X}{2000} + 0.5 \left(\frac{X}{2000}\right)^2 + 0.4 \left(\frac{X}{2000}\right)^3$$

Ponto de Calibração: $V_E(X) = 1596,6 \text{ mV}; X = 1800$

V _E mV	X(teórico)	X(medido)	Desvio (%)	
0	0	0	0,0	
105,4	200	202	+1,0	
223,2	400	406	+1,5	
355,8	600	608	+1,3	
505,6	800	809	+1,1	
675,0	1000	1009	+0,90	
866,4	1200	1207	+0,58	
1082,2	1400	1405	+0,35	
1324,8	1600	1603	+1,18	
1596,6	1800	1800	0,0	

ȚABELA III

Avaliação dos Resultados

As tabelas de medidas apresentadas comprovam o funcio namento do conversor não-linear desenvolvido, indicando sua aplicação para a confecção de equipamentos e circuitos de medida onde seja necessária a conversão A/D acompanhada de linearização do sinal de entrada. O exame dos valores obtidos permitem ainda algumas observações:

- a) Na tabela I, como era de se esperar, obtivemos os menores desvios entre os valores medidos e os esperados, já que neste caso realizamos uma conversão linear. Podemos verificar que em torno do centro da faixa ($V_E = 500 \text{ mV}$) o próprio conversor utilizado apresenta pequenos desvios com relação ao caso ideal. Em conversores com maior resolução, com 4 1/2 dígitos ou mais, estes desvios são em geral mais críticos, em muitos casos compromentendo a linearidade do conversor.
- b) Na tabela II, que mostra os resultados da linearização de um polinômio de grau 2, aparecem os desvios causados por erros da conversão não-linear propriamente dita, que atingiram 1% no in $\underline{\mathbf{i}}$ cio da faixa. Convém observar que o erro para $V_E=0$ é nulo, bem como para X=1800, evidenciando os pontos de ajuste do conversor.
- c) Os resultados mostrados na tabela III, para a conversão/line arização da função polinomial de grau 3, cujo gráfico á apresentado na figura 4.1(a), apresentam desvios um pouco maiores, atingindo 1,5% para X em torno de 400. Cabe aqui uma observação, que vale também para os resultados mostrados na tabela II: como os testes realizados visavam apenas testar o funcionamento do conversor não linear, e até evidenciar os erros de conversão, fo ram realizados ajustes para X = 1800 em todos os casos. Este procedimento levou a desvios maiores que valores pequenos de X, decrescendo continuamente até zero para X = 1800. Numa aplicação prática, podemos evidentemente realizar a calibração em ou tro ponto, como X = 1000 por exemplo, e distribuir melhor os desvios.
- d) Como última observação, e para ressaltar o funcionamento do

conversor como linearizador, nesta aplicação, convém comparar os dados da tabela I (conversão linear) com o da tabela III ($V_E(X)$ de grau 3). Tomenos por exemplo o ponto central X=1000 em cada uma das tabelas. Pela tabela I, X=1000 corresponde a um sinal de entrada de 500,0 mV, ao passo que na tabela III vemos que é necessário ter $V_E=675,0$ mV para obter X=1000 como saída. Isto significa que os termos em X^2 e X^3 são responsá veis por um deslocamento de 175 mV (35%) na curva de $V_E(X)$ com relação ao caso linear. Como resultado da conversão não linear foi obtido, para $V_E=675,0$ mV, o valor X=1009, indicando um desvio residual de 0,9% com relação ao valor ideal X=1000. Es te desvio, como observamos no ítem c acima, pode ainda ser minimizado, ã custa de desvio não nulo no final da escala.

Concluindo este capítulo, verificamos a possibilidade de utilizar a técnica de conversão não-linear proposta para realizar uma função de extrema importância no processamento de sinais, que é a linearização. No caso de funções polinomiais, como foi visto, a síntese do sinal de referência $V_{\rm R}(t)$ pode ser realizada através de um circuito bastante simples, com componentes de uso geral, preservando uma das principais características dos conversores dupla rampa, que é a imunidade a variações na frequência do relógio.

No próximo capítulo, como conclusão deste trabalho, in dicamos algumas outras aplicações possíveis da técnica desenvol vida, além de analisar alguns aspectos da viabilidade de sua utilização em circuitos integrados monolíticos com tecnologia MOS.

CAPÍTULO V

CONCLUSÕES

Neste trabalho apresentamos uma nova técnica de con versão A/D não-linear, através da generalização do princípio de conversão denominado dupla-rampa. Obtivemos relações gerais que permitem projetar conversores que transformem um sinal ana lógico f(X), onde X é um parâmetro qualquer, em um sinal digital g(X), com f(X) e g(X) biunívocas e passando pela origem. Um caso particular deste tipo de conversão, e de grande aplicação, é a conversão de f(X) em X, ou ainda a linearização de f(X) a-companhada de conversão A/D.

Para dar maior conteúdo prático e confirmar a valida de da técnica proposta, dedicamos um capítulo à análise e estabe lecimento de equações de projeto para conversão/linearização de funções polinomiais. A partir destes resultados foi projetado e construido um conversor para funções polinomiais de terceiro grau, cujos circuitos completos e medidas realizadas constam do capítulo IV.

Para concluir esta dissertação, analisaremos brevemente alguns aspectos relativos a vantagense limitações da técnica desenvolvida, indicando ainda algumas perspectivas para novas pesquisas neste campo.

Comparação com Outras Técnicas

O conversor/linearizador descrito no capítulo IV, para polinomiais de grau 3, foi construido a partir de um conversor A/D comercial (ICL7107), com a utilização adicional de três amplificadores operacionais, dois flip-flops e algumas chaves analógicas, que constituem a referência variante. Comparado com qualquer sistema que envolva consulta a tabelas armazenadas em memórias ou multiplicadores de taxa |15,22|, nosso conversor apresenta maior simplicidade e muito menor custo, além da vanta

gem de não utilizar métodos de interpolação, permitindo, em princípio, aproximações mais exatas.

Os sistemas que utilizam microprocessadores para $1\underline{i}$ nearizar o sinal já na forma digital podem conduzir, sem $d\underline{u}v\underline{i}$ da, a melhores resultados do ponto de vista de precisão, porém com muito maior complexidade e custo elevado.

Aplicações do Conversor

Algumas técnicas encontradas na literatura para sínte se de conversores não-lineares, de relativa simplicidade [11, 14], possuem a desvantagem de limitar-se a poucos tipos de relações, como logarítmicas, exponenciais ou polinomiais. A técnica aqui apresentada consiste em um método geral, aplicavel a qualquer função biunívoca, envolvendo apenas a síntese de sinais no domínio do tempo.

Como aplicação imediata dos conversores não-lineares, e de grande interesse comercial, aparecem os equipamentos de medida digitais, como termômetros, fotômetros, balanças digitais e outros. Outras aplicações são possívies, como processamento não-linear de sinais biológicos e outros, desde que as limitações de baixa taxa de conversão, próprias dos conversores dupla-rampa, não comprometam o desempenho. Conversores com até cem conversões por segundo são facilmente realizáveis e compatíveis com a técnica não-linear desenvolvida.

Integração do Conversor Não-Linear

As técnicas e circuitos utilizados para síntese dos blocos funcionais do conversor não-linear são, em princípio, pas síveis de reprodução em circuitos integrados monolíticos. Este fato merece ser destacado, uma vez que vem se acentuando a ten dência de reunir, em circuitos monolíticos, sistemas com partes analógicas e digitais. Neste sentido, vêm crescendo o interes se e as pesquisas em circuitos analógicos com tecnologias MOS,

que tornaram viáveis a nível comercial os circuitos a capacito res chaveados |24,31,32|. Por este motivo utilizamos no proje to do conversor não-linear componentes construidos com tecnologia CMOS, como é o caso do conversor dupla-rampa e das chaves analógicas. Os amplificadores operacionais utilizados possuem nas entradas transistores MOS, sendo confeccionados com tecnologia BIMOS. Diversos autores têm divulgado a utilização de amplificadores com transistores MOS, especialmente CMOS |9,16,20,27,35,36|, com desempenho bastante satisfatório. Além disso, técnicas de cancelamento de tensões residuais por chaveamento ("chopper") ou auto-zero têm sido utilizadas com frequência, e liminando, como no caso do próprio conversor ICL7107, as principais fontes de erro nos amplificadores MOS, quando comparados a seus equivalentes bipolares.

Outro dado importante para este tipo de aplicação é a possibilidade de se obter capacitores de alta precisão e boa es tabilidade térmica. No caso de integradores a capacitores cha veados, onde se necessita precisão na razão entre dois capacitores, a literatura fornece dados típicos de 20 ppm/oc para coeficientes de temperatura, que superam em muito as necessidades para a maioria das aplicações |25-28,32,33,37,38|.

Perspectivas

Uma aplicação dos resultados aqui obtidos, que parece imediata, e que merece ser pesquisada, é a introdução de um ajuste de linearidade em conversores dupla-rampa monolíticos, além dos tradicionais ajustes de zero e fundo de escala. Como mencionamos anteriormente, em conversores de alta precisão e alta resolução, as não linearidades podem ser um fator importan té a comprometer o desempenho. Utilizando um único integrador chaveado, para adicionar à referência de tensão dos conversores uma pequena parcela em rampa ajustável externamente, podemos corrigir com facilidade os desvios de linearidade de 1ª ordem.

Além de trabalhos futuros que visem a conversão não-

linear de outros tipos de funções, e portanto a síntese de fun ções com circuitos a capacitores chaveados, novas aplicações como multiplicação e divisão merecem também ser investigadas. É importante ressaltar, concluindo, que as pesquisas sobre proces samento envolvendo controle no tempo (timing) |29|, como é o caso dos filtros a capacitores chaveados, deverão conduzir no funtar a sistemas processadores de sinais completamente integrá veis.

APÊNDICE A

REFERÊNCIAS BIBLIOGRÁFICAS

- B.M. Gordon, "Linear Electronic Analog/Digital Conversion Architectures, Their Origin, Parameters, Limitations and Applications", IEEE Trans. Circ. Syst., vol. CAS-25, pp. 391-418, jul. 1978;
- |2| S.K. Twksbury et al., "Terminology Related to the Performance of S/H, A/D and D/A Circuits", IEEE Trans. Circ. Syst., vol. CAS-25, no 7, pp. 419-426, jul. 1978;
- Analog Devices, "Analog-Digital Conversion Handbook", Analog Devices Inc., Norwood, 1972;
- |4| M.C.W. Coln, "Chopper Stabilization of MOS Operational Amplifiers Using Feed-Foward Techniques", IEEE Journal of Solid State Circ., vol. SC-16, no 6, pp. 745, dec. 1981;
- |5| H. Amemya, T. Yoneyama, "Integrating Analog-to-Digital Converter With Digital Self Calibration", IEEE Trans. Inst. Meas., Vol. IM-25, no 2, pp. 132-138, jun. 1976;
- |6| E.W. Owen, "The Elimination of Offset Errors in Dual-Slope Analog-to-Digital Converters", IEEE Trans. Circ. Syst., vol. CAS-27, no 2, pp. 137-141 feb. 1980;
- |7| H.Amemya, "Dual-Slope Integrating Analog-to-Digital Converter With Digital Self Calibration", IEEE Trans. Inst. Meas., vol. IM-28, no 1, pp. 84-86, mar. 1979.
- |8| R.Poujois, J. Borel, "A Low Drift Fully Integrated MOSFET Operational Amplifier", IEEE Journal of Solid State Circ., vol. SC-13, no 4, pp. 499, ago. 1978;
- R.C. Yen, P.R. Gray, "A MOS Switched-Capacitor Instrumentation Amplifier", IEEE Journal of Solid State Circ. vol. SC-17, no 6, pp. 1008, dec. 1982;
- |10 | P.W. Fry, "A MOST Integrated Differential Amplifier", IEEE Journal of Solid State Circ., pp. 166, jun. 1969;

- | 11 | C.H. Burton, K.G. Weir, G.J. Bowden, "Linear and Nonlinear A/D, D/A, A/A Conversion Using the Dual-Slope Principle", IEEE Trans. Inst. Meas., vol. IM-24, no 3, pp. 201-205, sept. 1975;
- | 12 | W.E. Owen, "The Double Dual-Slope Multiplier: Elimination of Offset", IEEE Trans. Inst. Meas. vol. IM-30, no 2, pp. 106-113, jun. 1981;
- |13| Analog Devices, "Analog-Digital Conversion Handbook",
 Analog Devices Inc. Norwood, 1972;
- |14| S. Ben-Yaakov, J. Chen, "An RC Logarithmic Converter-Digitizer", IEEE Trans. Inst. Meas., vol. IM-27, no 1, pp. 24-26, mar. 1978;
- |15| Fluke, "Manual do Termômetro Digital 2100A", seção 3, Washington, jul. 1975;
- |16| B.J. Hosticka, R.W. Brodersen, P.R. Gray, "MOS Sampled Data Recursive Filters Using Switched-Capacitor Integrators", IEEE Journal of Solid State Circ. vol. SC-12, no 6, pp. 600-608, dec. 1977;
- | 17 | R.P. Benedict, "Generating Thermocouple Reference Tables", Instruments and Control Systems, jan. 1974, pp. 53;
- |18| Intersil, "ICL 7106, 7107 3 1/2 Digit Single Chip A/D Converter", Folha de Dados.
- |19| Intersil, "Low Cost Digital Panel Meter Designs", Intersil Application Bulletin A023.
- |20| R.H. McCharles, D.A. Hodges, "Charge Circuits for Analog LSI", IEEE Trans. Cyrc. Sys. vol. CAS-25, no 7, Jul. 1978, pp. 490-497.
- |21| Yannis Tsivides, "Principles of Operation and Analysis of Switched-Capacitor Circuits", Proceedings of the IEEE, vol. 71, no 8, Aug. 1983, pp. 926.
- |22| J.M. Hulley, J.L. Glen, D.N. Rao, "Power Law Function Generation Using BRM's and BRD's", Control and Instrumentation, Feb. 1972, pp. 51-53.

- |23| J.T. Caves et al., "Sampled Analog Filtering Using Switched Capacitor as Resistor Equivalents", IEEE Journal of Solid State Circuits, vol. SC-12, no 6, pp. 592-599, Dec. 1977.
- |24| D.G. Marsh et al., "A Single-Chip CMOS PCM Codec With Filters", IEEE Journal of Solid State Circuits, vol. CS-16, no 4, pp. 308-314, Aug. 1981.
- [25] J.L. McCreary, P.R. Gray, "All-MOS Charge-Redistribution A-D Conversion Techniques, Part I", IEEE Journal of Solid State Circuits, vol. SC-10, pp. 371-379, Dec. 1975.
- |26| R.E. Suarez, P.R. Gray, D.A. Hodges, "All-MOS Charge Redistribution A-D Conversion Techniques, Part II", IEEE Journal of Solid State Circuits, vol. SC-10, pp. 379, Dec. 1975.
- |27 | A. Iwata et al., "Single-Chip Codec With Switched-Capacitor Filters", IEEE Journal of Solid State Circuits, vol. SC-16, no 4, pp. 315-321, Aug. 1981.
- | 28 | J. McCreary, "Matching Properties, and Voltage and Temperature Dependence of MOS Capacitors", IEEE Journal of Solid State Circuits, vol. SC-16, no 6, pp. 608-616, Dec. 1981.
- |29| Y. Tsividis, "Signal Processors with Transfer Function Coefficients Determined by Timing", IEEE Transactions on Circuits and Systems, vol. CAS-29, no 12, Dec. 1982.
- |30 | P.E. Allon, H.A. Rafat, S.F. Bily, "A Switched-Capacitor Waveform Generator", IEEE Transactions on Circuits and Systems, vol. CAS-32, vol. 32, no 1, Jan. 1985.
- 31 R. Gregorian, "Filtering Techniques With Switched-Capacitor Circuits", Microeletronics Journal, vol. 11, no 2, pp. 13, 1980.
- 32 R. Gregorian, K. W. Martin, G.C. Temes, "Switched-Capacitor Circuit Design", Procedings of the IEEE, vol. 71, no 8, pp. 941, Aug. 1983.
- 33 D.A. Hodges, P.R. Gray, R. Brodersen, "Potential of MOS Technologies for Analog Integrated Circuits", IEEE Journal

- of Solid State Circuits, vol. SC-13, no 3, pp. 285, Jun. 1978.
- |34| K. Martin, "New Clock Feedthrough Cancellation Technique for Analog MOS Switched-Capacitor Circuits", Electronic Letters, vol. 18, no 1, pp. 39, Jan. 1982.
- |35| P.R. Gray, R.G. Meyer, "MOS Operational Amplifier Design-A Tutorial Overview", IEEE Journal of Solid State Circuits, vol. SC-17, no 6, pp. 969, Dec. 1982.
- |36| V.R. Saari, "Low-Power High-Drive CMOS Operational Amplifier", IEEE Journal of Solid State Circuits, vol. SC-18, no 1, pp. 121, Feb. 1983.
- [37] J. Shyu, G.C. Temes, K. Yao, "Random Erros in MOS Capacitors", IEEE Journal of Solid State Circuits, vol. SC-17, no 6, pp. 1070, Dec. 1982.
- |38| D. Binghan, "CMOS: Higher Speeds, More Drive and Analog Capability Expand Its Horizons", Electronic Design, vol. 23, pp. 74, Nov. 1978.

APÊNDICE B

DADOS DO CONVERSOR ICL 7107

ICL7106, 7107 3½ Digit Single Chip A/D Converter

FEATURES

- Guaranteed zero reading for 0 volts input on all scales.
- True polarity at zero for precise null detection.
- 1 pA Input current typical.
- True differential input and reference.
- Direct display drive no external components required. — LCD ICL7106
 - LED ICL7107
- Low noise less than 15μV pk-pk.
- On-chip clock and reference.
- Low power dissipation typically less than 10mW.
- No additional active circuits required.
- Evaluation Kit available.

Part

7106

7106

7107

7107

7106 Kit

7107 Kit

Package

40 pln ceramic DIP

40 pin ceramic DIP

40 pin plastic DIP

40 pin plastic DIP

See page 10.

GENERAL DESCRIPTION

The Intersil ICL7106 and 7107 are high performance, low power 3-1/2 digit A/D converters. All the necessary active devices are contained on a single CMOS I.C., including seven segment decoders, display drivers, reference, and a clock. The 7106 is designed to Interface with a liquid crystal display (LCD) and includes a backplane drive; the 7107 will directly drive an instrument-size light emitting diode (LED) display.

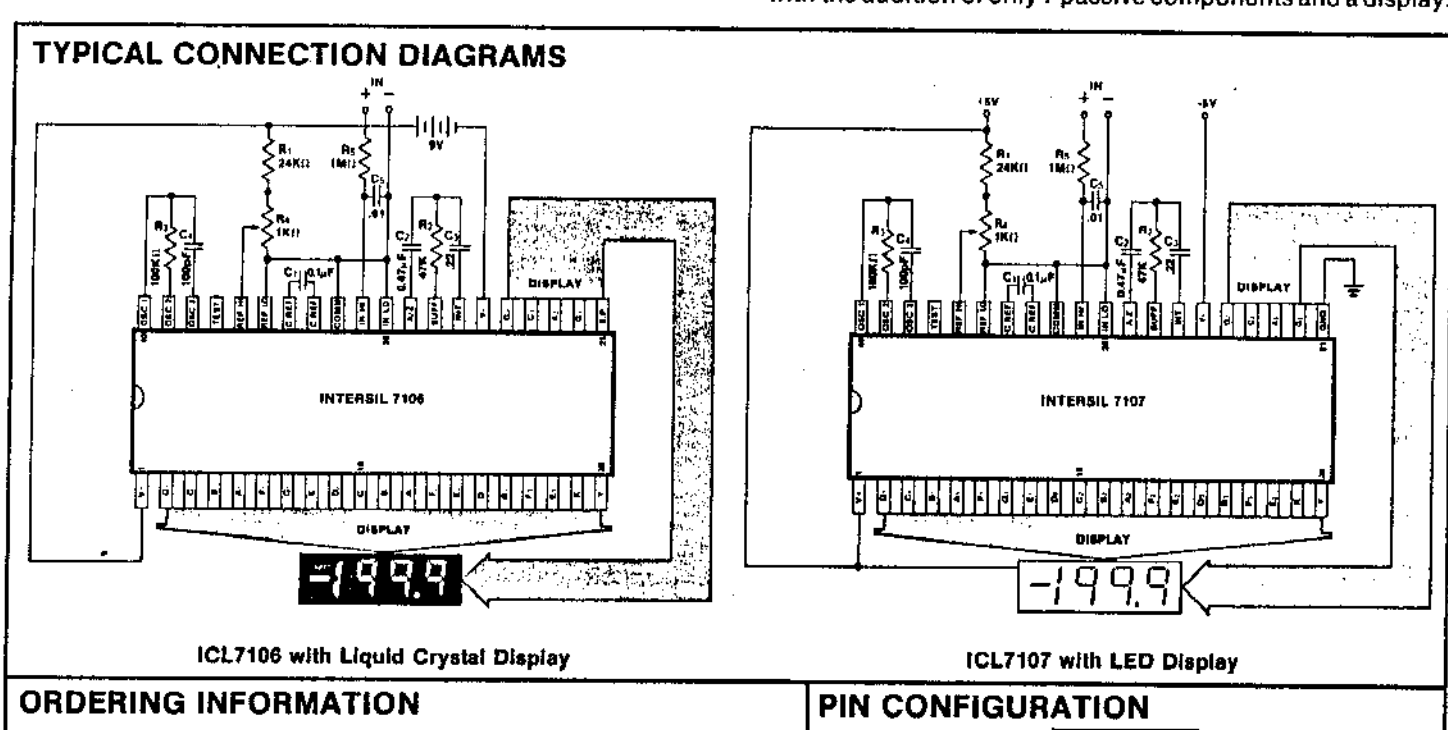
The 7106 and 7107 bring together an unprecedented combination of high accuracy, versatility, and true economy. High accuracy like auto-zero to less than 10μ V, zero drift of less than 1μ V/° C, input bias current of 10 pA max., and rollover error of less than one count. The versatility of true differential input and reference is useful in all systems, but gives the designer an uncommon advantage when measuring load cells, strain gauges and other bridge-type transducers. And finally the true economy of single power supply operation (7106), enabling a high performance panel meter to be built with the addition of only 7 passive components and a display.

D (UNITS)
C (UNITS)
E (UNITS)
A (UNITS)
E (UNITS)
E (UNITS)
E (UNITS)
C (TENS)
D (TENS)
A (TENS)
E (TENS)
E (TENS)
E (TOO's)
E (100's)
E (100's)
B (1000)

REF LO FREF, CAP - REF, GAP,

7106 LCD

7107 LED



Order Part #

ICL7106CDL

ICL7106CPL

ICL7107CDL

ICL7107CPL

ICL7106EV/Kit

ICL7107EV/Kit

Temp. Range

0°C to +70°C

0°C to +70°C

0°C to +70°C

0°C to +70°C

Evaluation kits contain IC, display, circuit

board, passive components and hardware.

ABSOLUTE MAXIMUM RATINGS

ICL 7106

Supply Voltage (V+ to V-)	
Analog Input Voltage (either input) (Note	
Reference input Voltage (either input)	V+ to V-
Clock Input	Test to V+
Power Dissipation (Note 2)	
Ceramic Package	1000 mW
Plastic Package	800 mW
Operating Temperature	0° C to +70° C
Storage Temperature	
Lead Temperature (Soldering, 60 sec)	

ICL 7107

O	Levi
Supply Voltage V+	
V	9V
Analog Input Voltage (either input) (Note	1) V+ to V-
Reference Input Voltage (either input)	V+ to V-
Clock Input	Gnd to V+
Power Dissipation (Note 1)	
Ceramic Package	1000 mW
Plastic Package	800 mW
Operating Temperature	0°C to +70°C
Storage Temperature	-65°C to +160°C
Lead Temperature (Soldering, 60 sec)	

Note 1: Input voltages may exceed the supply voltages provided the input current is limited to $\pm 100 \mu A$.

Note 2: Dissipation rating assumes device is mounted with all leads soldered to printed circuit board.

ELECTRICAL CHARACTERISTICS (Note 3)

CHARACTERISTICS	CONDITIONS	MIN	TYP	MAX	UNITS
Zero Input Reading	Vin = 0.0V Full Scale = 200.0 mV	-000.0	±000.0	+000.0	Digital Reading
Ratiometric Reading	Vin = Vref Vref = 100 mV	999	999/1000	1000	Digital Reading
Rollover Error (Difference in reading for equal positive and negative reading near Full Scale)	-Vin = +Vin ≃ 200.0mV	-1	±.2	+1	Counts
Linearity (Max. deviation from best straight line fit)	Full scale = 200mV or full scale = 2.000V	-1	±.2	+1	Counts
Common Mode Rejection Ratio (Note 4)	Vcm = ± 1 V, Vin = 0V. Full Scale = 200.0mV.		50		μV/V
Noise (Pk - Pk value not exceeded 95% of time)	Vin = 0V Full Scale = 200.0mV		15		μ۷
Leakage Current @ Input	Vin = 0V		1	10	pΑ
Zero Reading Drift	Vin = 0 0° < T _A < 70° C		0.2	1 ′	μV/° C
Scale Factor Temperature Coefficient	Vin = 199.0mV 0< T _A < 70° C (Ext.Ref.0ppm/° C)		1	5	ppm/°C
Supply Current (Does not include LED current for 7107)	Vin = 0		0.8	1.8	mA
Analog Common Voltage (With respect to pos. supply)	25KΩ between Common & pos. Supply	2.4	2.8	3.2	Volts
Temp. Coeff. of Analog Common (with respect to pos. Supply)	25K() between Common & pos. Supply		80		ppm/°C
7106 ONLY Pk-Pk Segment Drive Voltage (Note 5)	V Supply = 9V	4	5	['] 6	Volts
7106 ONLY - Pk-Pk Backplane Drive Voltage (Note 5)	V Supply = 9V	4	5	6	Volts
7107 ONLY Segment Sinking Current (Except Pin 19)	+Supply = 5.0V Segment voltage = 3V	5	8.0		mA
7107 ONLY Segment Sinking Current (Pin 19 only)	+Supply = 5.0V Segment voltage = 3V	10	16		mA

Note 3: Unless otherwise noted, specifications apply to both the 7106 and 7107 at T_A = 25° C, f_{clock} = 48kHz. 7106 is tested in the circuit of Figure 1. 7107 is tested in the circuit of Figure 2.

Note 4: Refer to "Differential Input" discussion on page 4.

Note 5: Back plane drive is in phase with segment drive for 'off' segment, 180° out of phase for 'on' segment. Frequency is 20 times conversion rate. Average DC component is less than 50mV.

TEST CIRCUITS

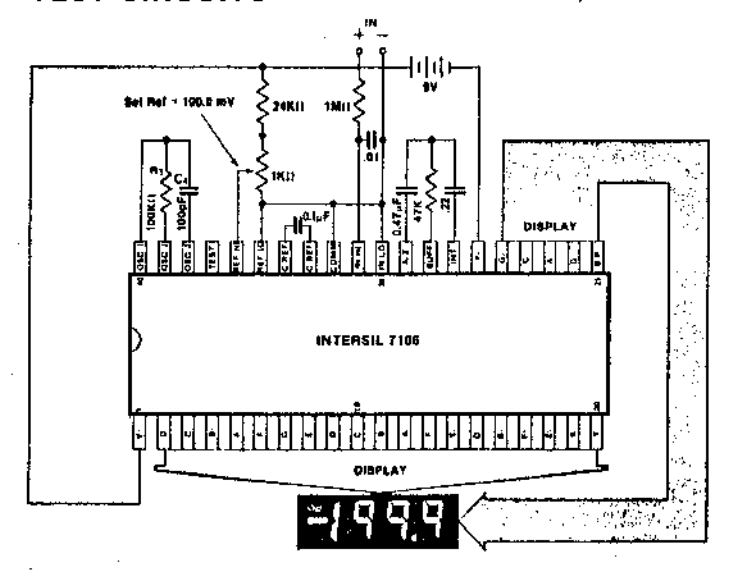


Figure 1: 7106

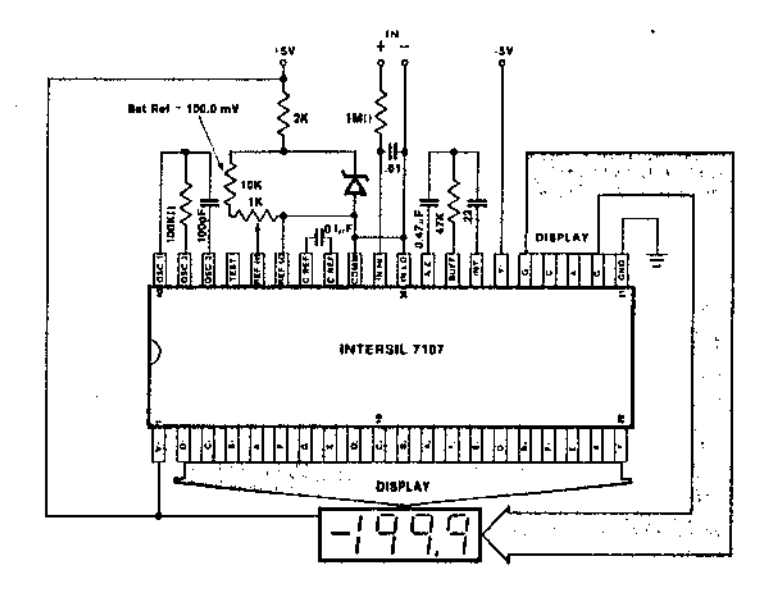


Figure 2: 7107

DETAILED DESCRIPTION ANALOG SECTION

Figure 3 shows the Block Diagram of the Analog Section for the ICL 7106 and 7107. Each measurement cycle is divided into three phases. They are (1) auto-zero (A-Z), (2) signal integrate (INT) and (3) deintegrate (DE).

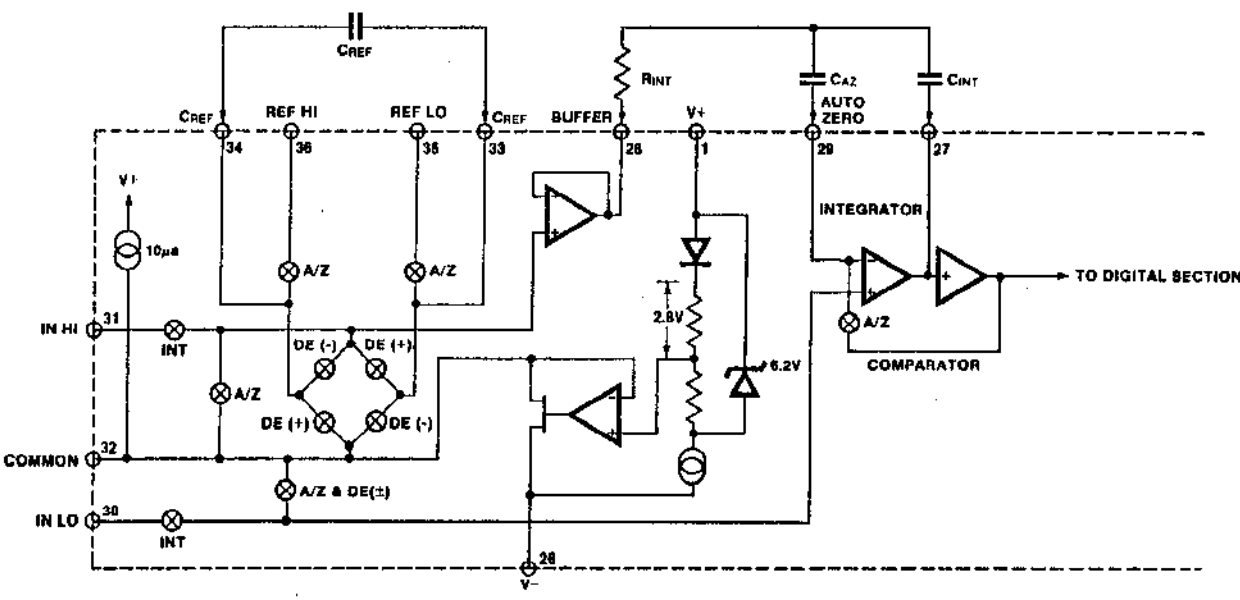


Figure 3: Analog Section of 7106/7107

1. Auto-zero phase

During auto-zero three things happen. First, input high and low are disconnected from the pins and internally shorted to analog common. Second, the reference capacitor is charged to the reference voltage. Third, a feedback loop is closed around the system to charge the auto-zero capacitor C_{AZ} to compensate for offset voltages in the buffer amplifier, integrator, and comparator. Since the comparator is included in the loop, the A-Z accuracy is limited only by the noise of the system. In any case, the offset referred to the input is less than $10\mu V$.

2. Signal integrate phase

During signal integrate, the auto-zero loop is opened, the internal short is removed, and the internal input high and low are connected to the external pins. The converter then integrates the differential voltage between input

high and input low for a fixed time. This differential voltage can be within a wide common mode range; within one volt of either supply. If, on the other hand, the input signal has no return with respect to the converter power supply, input low can be tied to analog common to establish the correct common-mode voltage. At the end of this phase, the polarity of the integrated signal is determined.

3. De-Integrale phase

The final phase is de-integrate, or reference integrate. Input low is internally connected to analog common and input high is connected across the previously charged reference capacitor. Circuitry within the chip ensures that the capacitor will be connected with the correct polarity to cause the integrator output to return to zero. The time required for the output to return to zero is proportional to the input signal. Specifically the digital reading displayed is $1000 \, (\frac{\text{Vin}}{\text{Vref}})$.

%L7106/ICL7107

Iferential Input

e input can accept differential voltages anywhere within e common mode range of the input amplifier; or ecifically from 0.5 volts below the positive supply to 1.0 It above the negative supply. In this range the system has a MRR of 86 dB typical, However, since the Integrator also ings with the common mode voltage, care must be ercised to assure the integrator output does not saturate. worse case condition would be a large positive commonode voltage with a near full-scale negative differential input Itage. The negative input signal drives the integrator sitive when most of its swing has been used up by the sitive common mode voltage. For these critical applicains the integrator swing can be reduced to less than the commended 2V full scale swing with little loss of accuracy. ie integrator output can swing within 0.3 volts of either pply without loss of linearity.

Iferential Reference

e reference voltage can be generated anywhere within the wer supply voltage of the converter. The main source of mmon mode error is a roll-over voltage caused by the ierence capacitor losing or gaining charge to stray pacity on its nodes. If there is a large common mode Itage, the reference capacitor can gain charge (increase Itage) when called up to de-integrate a positive signal but se charge (decrease voltage) when called up to deintegrate regative input signal. This difference in reference for (+) or input voltage will give a roll-over error. However, by lecting the reference capacitor large enough in mparison to the stray capacitance, this error can be held to is than 0.5 count for the worse case condition. (See imponent Values Selection below).

nalog Common

is pin is included primarily to set the common mode itage for battery operation (7106) or for any system where a input signals are floating with respect to the power ipply. The common pin sets a voltage that is approximately 3 volts more negative than the positive supply. This is lected to give a minimum end-of-life battery voltage of jout 6V. However, the analog common has some of the tributes of a reference voltage. When the total supply itage is large enough to cause the zener to regulate (>7V), a common voltage will have a low voltage coefficient 01%/%), low output impedance (≈15Ω), and a temperature refficient typically less than 80ppm/° C.

ie limitations of the on-chip reference should also be cognized, however. With the 7107, the internal heating nich results from the LED drivers can cause some gradation in performance. Due to their higher thermal sistance, plastic parts are poorer in this respect than ramic. The combination of reference Temperature pefficient (TC), internal chip dissipation, and package ermal resistance can increase noise near full scale from 25 / to 80 μVpk-pk. Also the linearity In going from a high ssipation count such as 1000 (20 segments on) to a low ssipation count such as 1111 (8 segments on) can suffer by count or more. Devices with a positive TC reference may. quire several counts to pull out of an overload condition. nis is because overload is a low dissipation mode, with the ree least significant digits blanked. Similarly, units with a egative TC may cycle between overload and a nonrerload count as the die alternately heats and cools. All

these problems are of course eliminated if an external reference is used.

The 7106, with its negligible dissipation, suffers from none of these problems. In either case, an external reference can easily be added, as shown in Fig. 4.

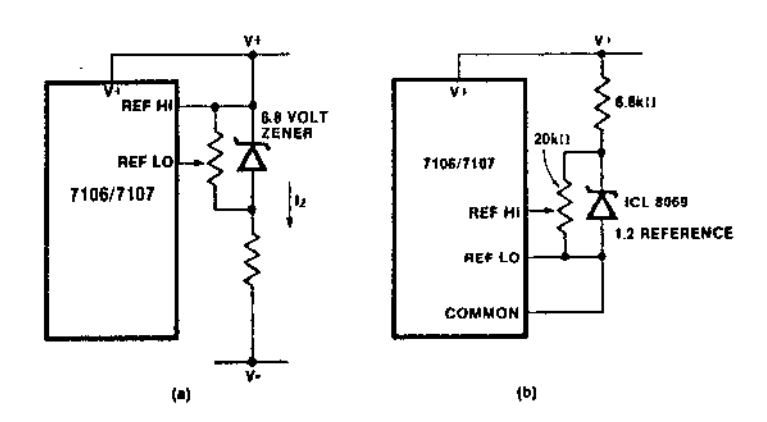


Figure 4: Using an External Reference

Analog common is also the voltage the input returns to during auto-zero and de-integrate. If signal low is different from analog common, a common mode voltage exists in the system and is taken care of by the excellent CMRR of the converter. However, in some applications input low will be set at a fixed known voltage (power supply common for instance). In this application, analog common should be tied to the same point, thus removing the common mode voltage from the converter. The same holds true for the reference voltage. If reference can be conveniently referenced to analog common, it should be since this removes the common mode voltage from the reference system.

Within the IC, analog common is tied to an N channel FET that can sink 30mA or more of current to hold the voltage 2.8 volts below the positive supply (when a load is trying to pull the common line positive). However, there is only $10\mu A$ of source current, so common may easily be tied to a more negative voltage thus over-riding the internal reference.

Test

The test pin serves two functions. On the 7106 it is coupled to the internally generated digital supply through a 500Ω resistor. Thus it can be used as the negative supply for externally generated segment drivers such as decimal points or any other presentation the user may want to include on the LCD display. Figures 5 and 6 show such an application.

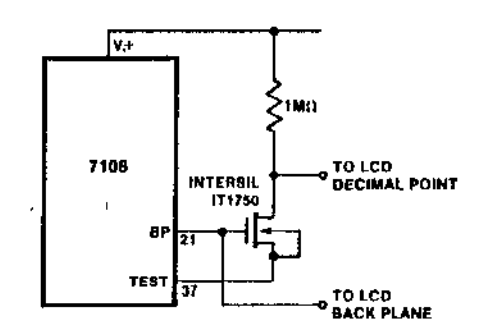


Figure 5: Simple Inverter for Fixed Decimal Point

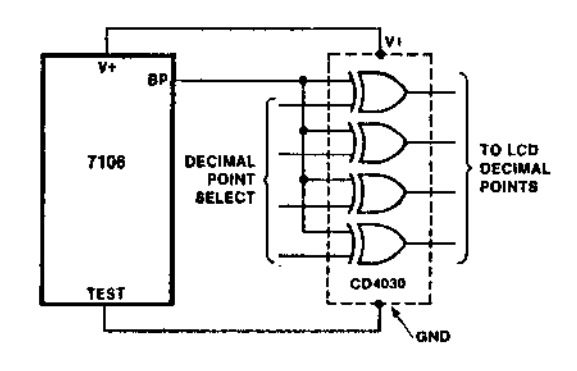


Figure 6: Exclusive 'OR' Gate for Decimal Point Drive

The second function is a "lamp test". When Test is pulled high (to + supply) all segments will be turned on and the display should read - 1888. Caution: on the 7106, in the lamp test mode, the segments have a constant d-c voltage (no square-wave) and will burn the LCD display if left in this mode for several minutes.

DIGITAL SECTION

Figures 7 and 8 show the digital section for the 7106 and 7107, respectively. In the 7106, an internal digital ground is generated from a 6 volt Zener diode and a large P channel source follower. This supply is made stiff to absorb the relative large capacitive currents when the back plane (BP) voltage is switched. The BP frequency is the clock frequency divided by 800. For three readings/second this is a 60 Hz square wave with a nominal amplitude of 5 volts. The segments are driven at the same frequency and amplitude and are in phase with BP when OFF, but out of phase when ON. In all cases neglible d-c voltage exists across the segments.

Figure 8 is the Digital Section of the 7107. It is identical except the regulated supply and back plane drive have been eliminated and the segment drive has been increased from 2 to 8 mA, typical for instrument size common anode LED displays. Since the 1000 output (pin 19) must sink current from two LED segments, it has twice the drive capability or 16 mA.

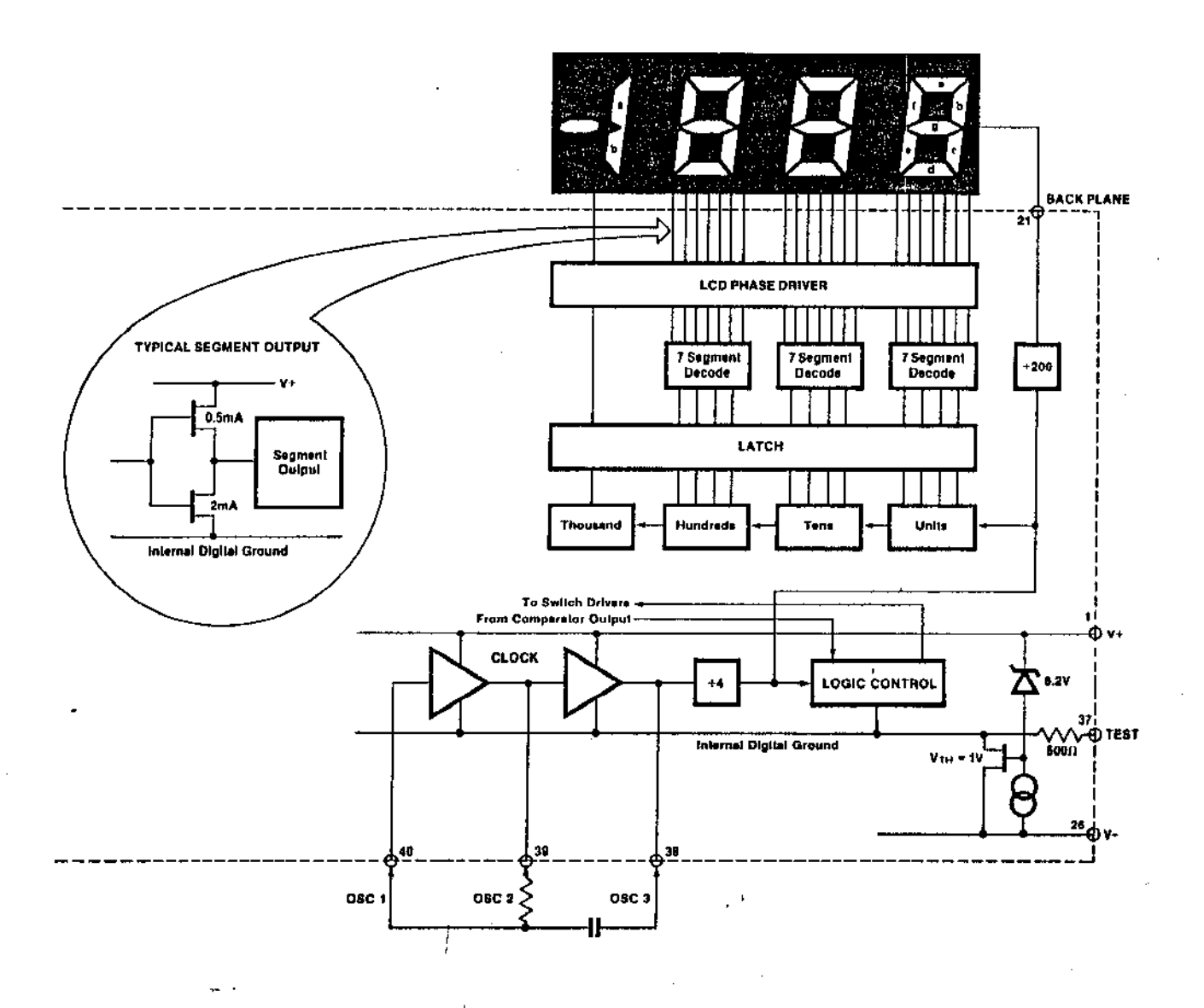


Figure 7: Digital Section 7106

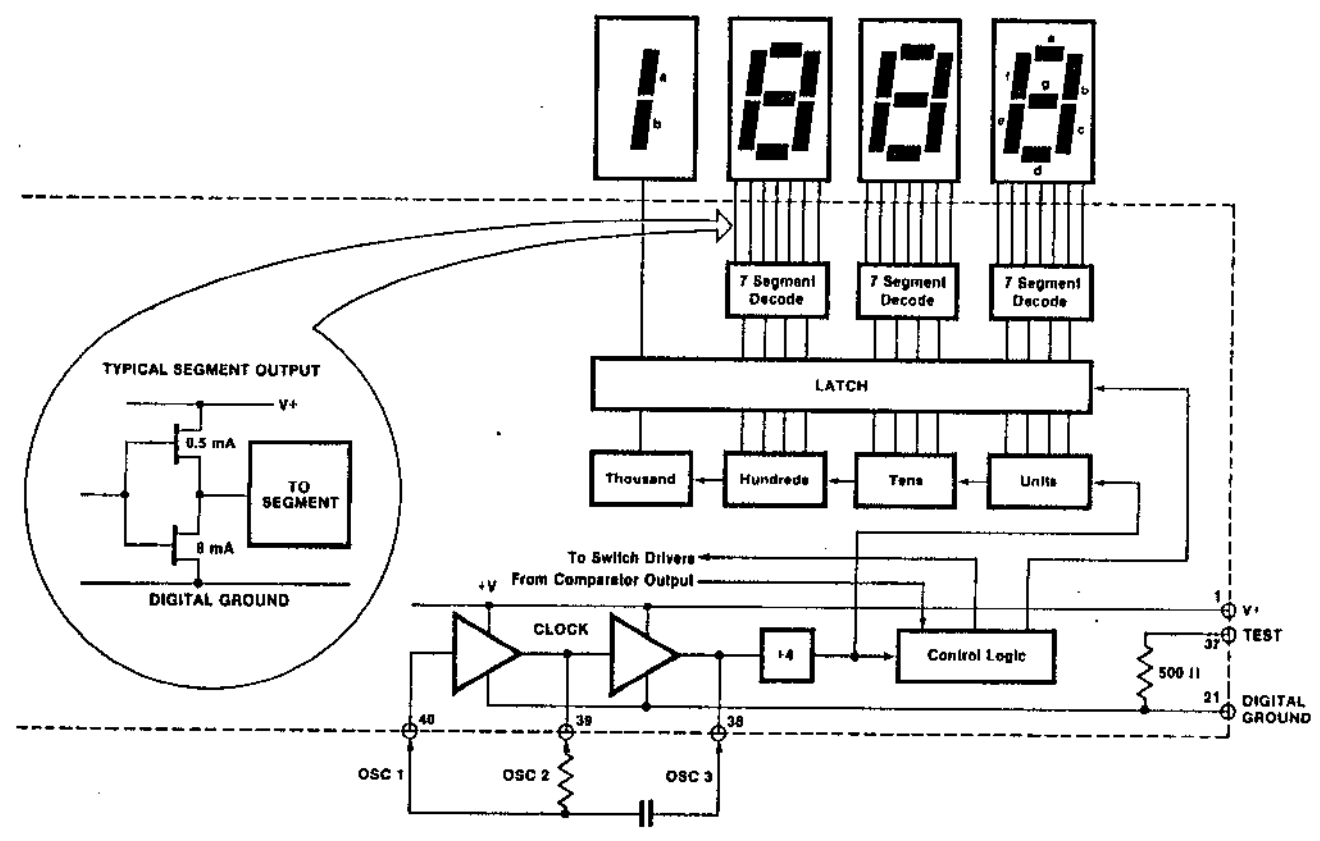


Figure 8: Digital Section 7107

System Timing

Figure 9 shows the clocking arrangement used in the 7106 and 7107. Three basic clocking arrangements can be used:

- 1. An external oscillator connected to pin 40.
- 2. A crystal between pins 39 and 40.
- 3. An R-C oscillator using all three pins.

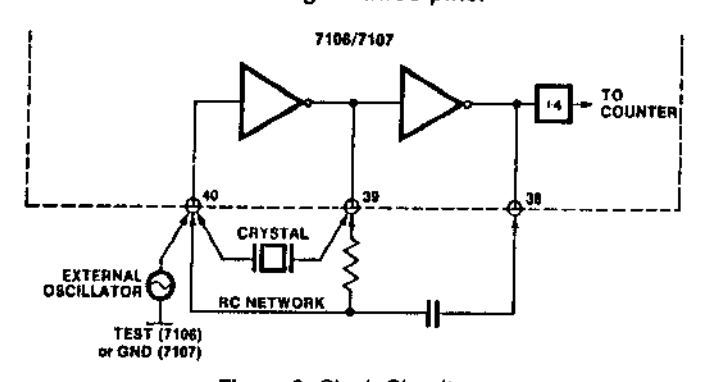


Figure 9: Clock Circuits

The oscillator frequency is divided by four before it clocks the decade counters. It is then further divided to form the three convert-cycle phases. These are signal integrate (1000 counts), reference de-integrate (0 to 2000 counts) and autozero (1000 to 3000 counts). For signals less than full scale, auto-zero gets the unused portion of reference deintegrate. This makes a complete measure cycle of 4,000 (16,000 clock pulses) independent of input voltage. For three readings/second, an oscillator frequency of 48kHz would be used.

To achieve maximum rejection of 60 Hz pickup, the signal integrate cycle should be a multiple of 60 Hz. Oscillator frequencies of 240kHz, 120kHz, 80kHz, 60kHz, 48kHz, 40kHz, 33 ½ kHz, etc. should be selected. For 50Hz rejection, Oscillator frequencies of 200kHz, 100kHz, 66 ½ kHz, 50kHz, 40kHz, etc. would be suitable. Note that

40kHz (2.5 readings/second) will reject both 50 and 60 Hz (also 400 and 440 Hz).

COMPONENT VALUE SELECTION

1. Integrating Resistor

Both the buffer amplifier and the integrator have a class A output stage with $100\mu\text{A}$ of quiescent current. They can supply $20\mu\text{A}$ of drive current with negligible non-linearity. The integrating resistor should be large enough to remain in this very linear region over the input voltage range, but small enough that undue leakage requirements are not placed on the PC board. For 2 volt full scale, $470\text{K}\Omega$ is near optimum and similarly a $47\text{K}\Omega$ for a 200.0 mV scale.

2. Integrating Capacitor

The Integrating capacitor should be selected to give the maximum voltage swing that ensures tolerance build-up will not saturate the integrator swing (approx. 0.3 volt from either supply). In the 7106 or the 7107, when the analog common is used as a reference, a nominal ± 2 volt full scale integrator swing is fine. For the 7107 with ± 5 volt supplies and analog common tied to supply ground, a ± 3.5 to ± 4 volt swing is nominal. For three readings/second (48kHz clock), nominal values for Cint are .22 and .10 μ F, respectively. Of course, if different oscillator frequencies are used, these values should be changed in inverse proportion to maintain the same output swing.

An additional requirement of the integrating capacitor is it have low dielectric absorption to prevent roll-over errors. While other types of capacitors are adequate for this application, polypropylene capacitors give undetectable errors at reasonable cost.

3. Auto-Zero Capacitor

The size of the auto-zero capacitor has some influence on the noise of the system. For 200 mV full scale where noise

is very important, a $0.47\mu F$ capacitor is recommended. On the 2 volt scale, a $0.047\mu F$ capacitor increases the speed of recovery from overload and is adequate for noise on this scale.

4. Reference Capacitor

A $0.1\mu F$ capacitor gives good results in most applications. However, where a large common mode voltage exists (i.e. the reference low is not at analog common) and a 200 mV scale is used, a larger value is required to prevent roll-over error. Generally $1.0\,\mu F$ will hold the roll-over error to 0.5 count in this instance.

5. Oscillator Components

For all ranges of frequency a 100K Ω resistor is recommended and the capacitor is selected from the equation f = $\frac{45}{HC}$. For 48kHz clock (3 readings/second), C = 100pF.

6. Reference Voltage

The analog input required to generate full-scale output (2000 counts) is: Vin = 2Vref. Thus, for the 200.0 mV and 2.000 volt scale, Vref should equal 100.0 mV and 1.000 volt, respectively. However, in many applications where the A/D is connected to a transducer, there will exist a scale factor other than unity between the input voltage and the digital reading. For instance, in a weighing system, the designer might like to have a full scale reading when the voltage from the transducer is 0.682V. Instead of dividing the input down to 200.0 mV, the designer should use the input voltage directly and select Vref = .341V. Suitable values for integrating resistor and capacitor would be 120K Ω and .22 μ F. This makes the system slightly quieter and also avoids a divider network on the input. The 7107 with ±5 volts supplies can accept input signals up to ±4 volts. Another advantage of this system occurs when a digital reading of zero is desired for Vin ≠ 0. Temperature

and weighing systems with a variable tare are examples. This offset reading can be conveniently generated by connecting the voltage transducer between analog high and common and the variable (or fixed) offset voltage between common and analog low.

7. 7107 Power Supplies

The 7107 is designed to work from ± 5 volt supplies. However, if a negative supply is not available, it can be generated from the clock output with 2 diodes, 2 capacitors, and an inexpensive I.C. Figure 10 shows this application.

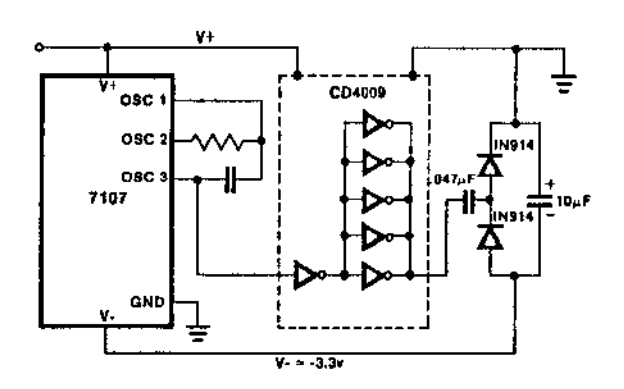


Figure 10: Generating Negative Supply from +5v

In fact, in selected applications no negative supply is required. The conditions to use a single +5V supply are:

- The input signal can be referenced to the center of the common mode range of the converter.
- 2. The signal is less than ±1.5 volts.
- 3. An external reference is used.

TYPICAL APPLICATIONS

The 7106 and 7107 may be used in a wide variety of configurations. The circuits which follow show some of the

possibilities, and serve to illustrate the exceptional versatility of these A/D converters.

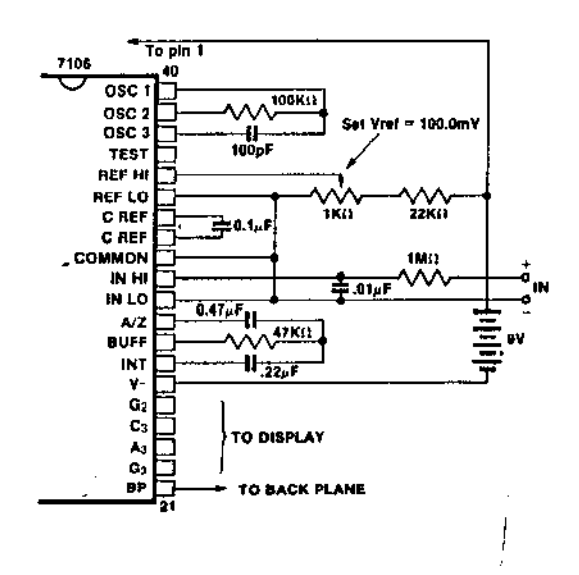


Figure 11: 7106 using the internal reference. Values shown are for 200.0 mV full scale, 3 readings per second, floating supply voltage (9V battery).

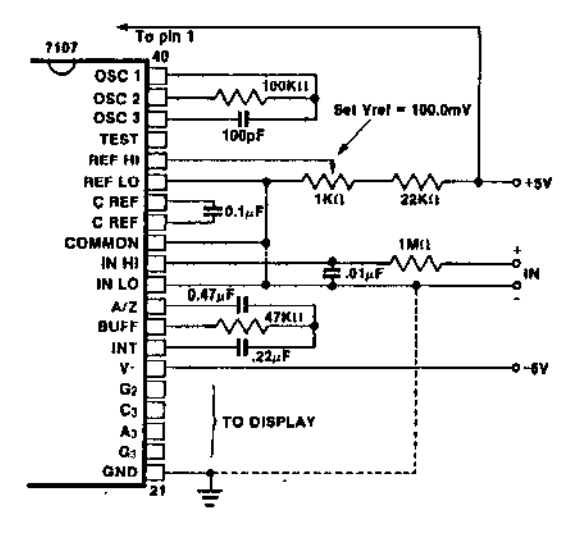


Figure 12: 7107 using the internal reference. Values shown are for 200.0 mV full scale, 3 readings per second. IN LO may be tied to either COMMON for inputs floating with respect to supplies, or GND for single ended inputs. (See discussion under Analog Common on page 4).